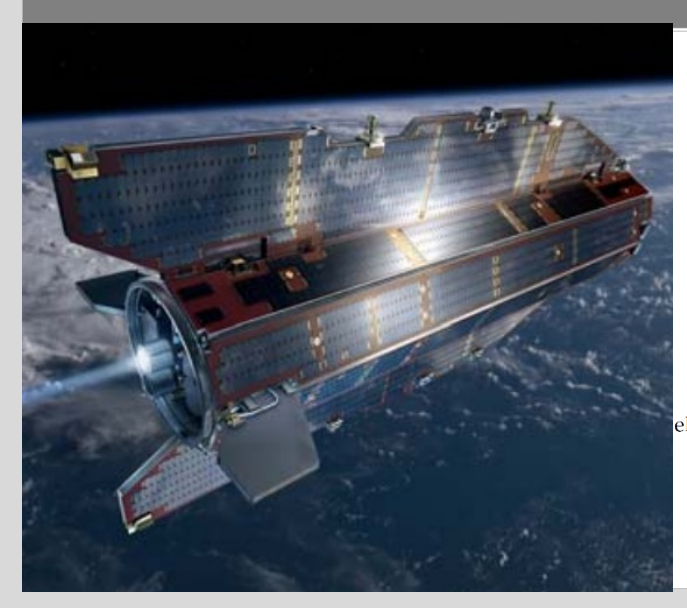
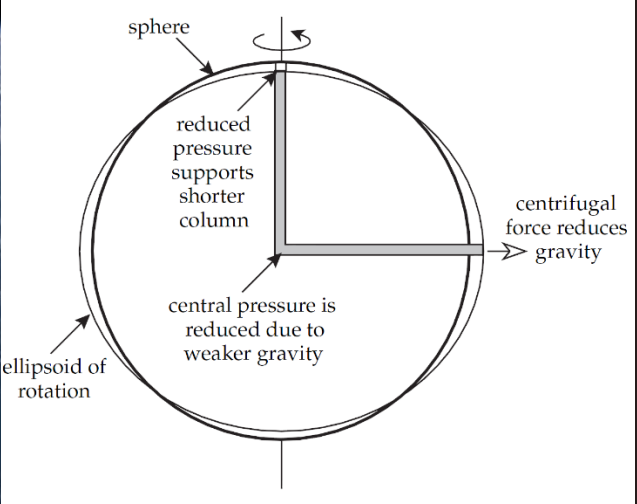


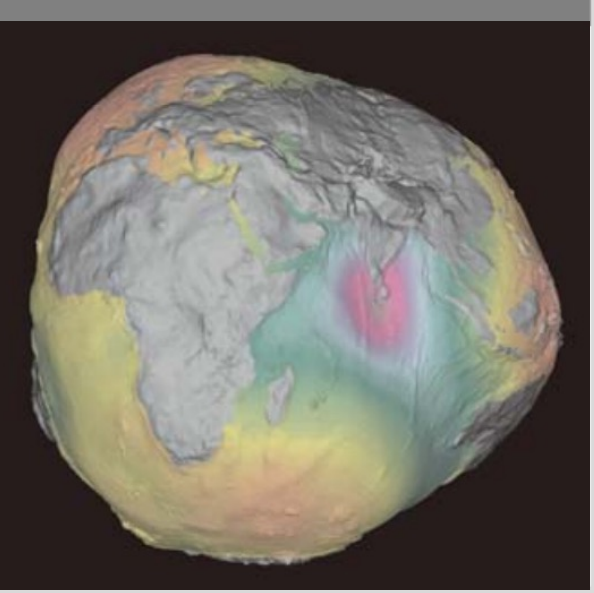
# Einführung in die Geophysik II

#### Schwere und Gravimetrie

Geophysikalisches Institut, Fakultät für Physik









		The state of the s	Übungsblatt	Übung: Mo., 11:30-13:00, HS B		
		Vorlesung: Mi., 11:30-13:00, HS B	online	Besprechung der Übungsblätter		
	19.04	keine Vorlesung		17.04		
		Aufbau der Erde &		24.04		
VL1	26.04	Plattentektonik		24.04		
VL2	03.05	Radiometrische Altersbestimmung	Ü1	01.05		
	40.05	Seismische Wellen und ihre Wechselwirkungen,		00.05	04. B-#	
VL3	10.05	elastische Eigenschaften von Gesteinen		08.05	Ü1: Radiometrische Altersbestimmung	
		Erdbeben: Bruchprozesse, Messung &				
VL4	17.05	Lokalisierung von Erdbeben	Ü2	15.05		
124	27.00	Londarding von Eraboben		10.00		
		Ausbreitung von Erdbebenwellen,				
VL5	24.05	Strukturerkundung		22.05	Ü2: Seismische Wellen, elst. Eigen.	
	1000					
	31.05	keine Vorlesung, Pfingswoche		29.05		
VL6	07.06	Eigenschwingungen	Ü3	05.06		
VLO	07.00	Ligenscriwingungen	03	03.00		
VL7	14.06	Seismizität, Gefährdung, Magnituden		12.06		
	1 280 200			10000000		
VL8	21.06	Schwere und Gravimetrie	Ü4	19.06	Ü3: Eigenschwingungen, Seismizität	
VL9	28.06	Magnetismus	Ü5	26.06	Ü4: Schwere und Gravimetrie	
V L S	20.00	Magnetismas	03	20.00	04. Schweie und Gravilliettie	
VL10	05.07	Temperatur	Ü6	03.07		
		Aufbau und Dynamik des Erdinneren:				
VL11	12.07	Mantel		10.07	Ü5: Magnetismus	
		Author and Danomik des Endinesses				
VL12	19.07	Aufbau und Dynamik des Erdinneren: Erdkern		17.07	Ü6: Temperatur	
VLIZ	19.07	Liukeiii		17.07	Too. Temperatur	

Vorlesung: Die Vorlesung findet mittwochs um 11:30 - 13:00h im Hörsaal B (Geb. 30.22) statt und beginnt am 26.4.2023.

Übungen: Die Übungen finden nach obrigen Zeitplan montags um 11:30 - 13:00h im Hörsaal B (Geb. 30.22) statt. Die Termine finden sich in der oben stehenden Tabelle. Übungsblätter werden nach den jeweiligen Vorlesungen online gestellt. Durch Vorrechnen von Übungsaufgaben können Punkte (max. 3) erworben werden, die auf die Klausur als Bonuspunkte\* angerechnet werden. Die Punktzahl, die für das Vorrechnen der einzelnen Aufgaben vergeben wird, wird in der jeweiligen Übung bekannt gegeben.

\*d.h. das Bestehen der Prüfung durch diese Punkte ist nicht möglich; bei bestandener Klausur lässt sich dadurch jedoch die Note verbessern.

Klausur: Erster Termin am 26.07.2022, 14:00 - 15:30h, zweiter Termin am 20.09.2022, 09:00 - 10:30h. Die der Ort der Klausuren ist der Otto-Lehmann-Hörsaal.

27.01.11

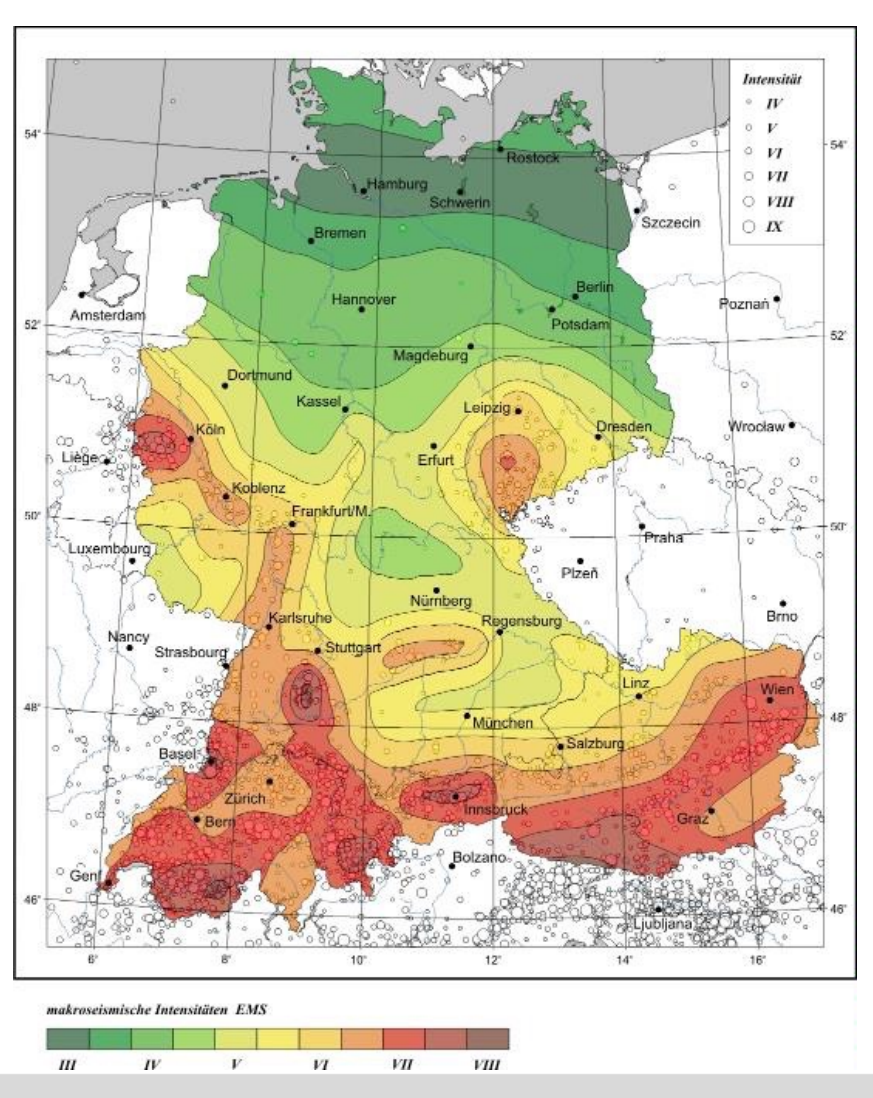


# Einführung in die Geophysik II

Seismizität, seismische Gefährdung, Magnituden, Intensitäten

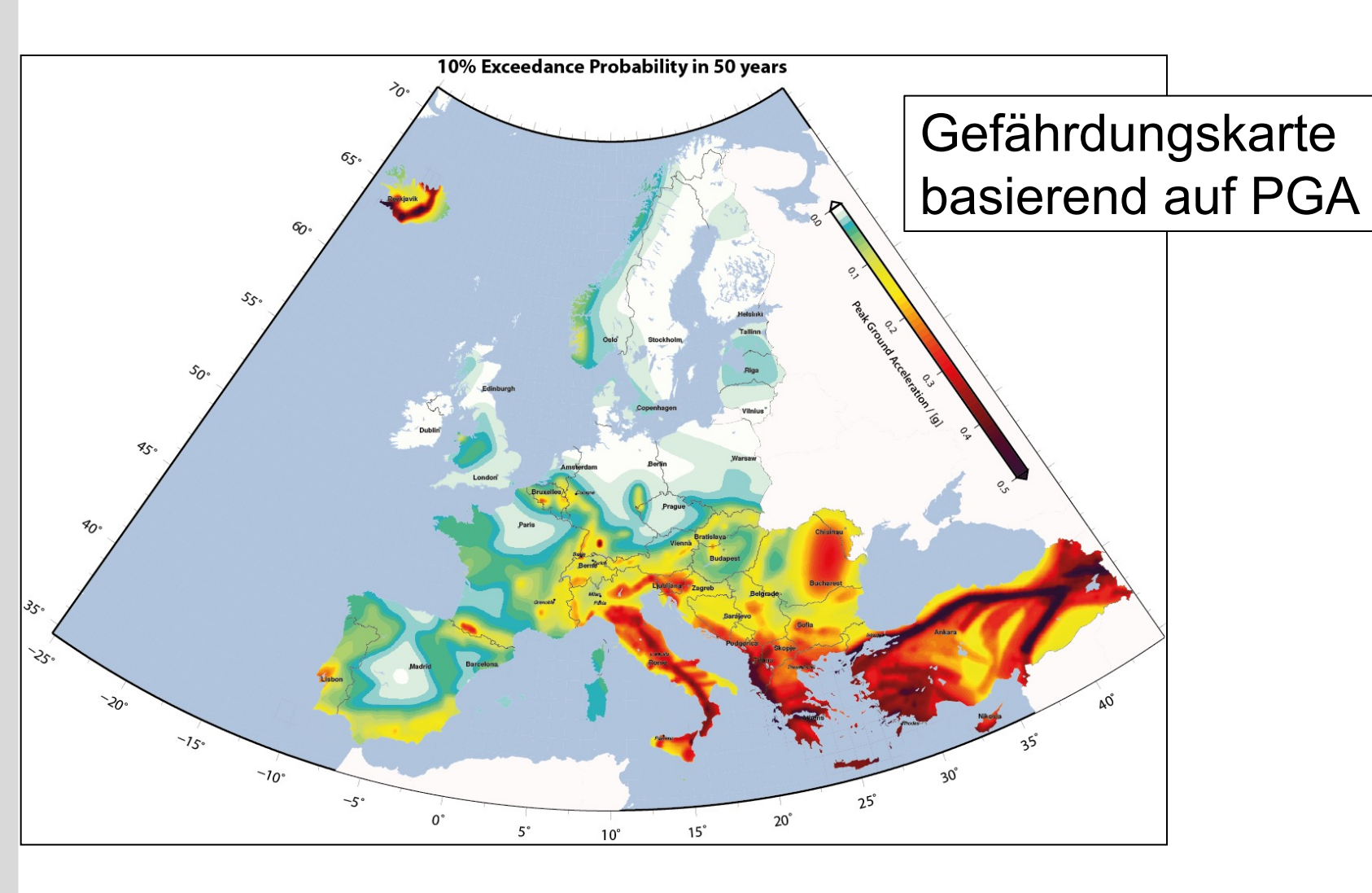
- Wie ist die weltweite und regionale Seismizität charakterisiert?
- Gibt es Möglichkeiten, die Verteilung von Erdbeben quantitativ zu erfassen?
- Wie wird die Magnitude bestimmt?
- Welche unterschiedlichen Magnituden gibt es und warum gibt es diese Vielfalt?
- Worin unterscheidet sich Magnitude und Intensität?
- Welche Gefährdung tritt durch Erdbeben auf?
- Wie lässt sie sich quantifizieren?
- Wie lässt sich das Risiko minimieren?



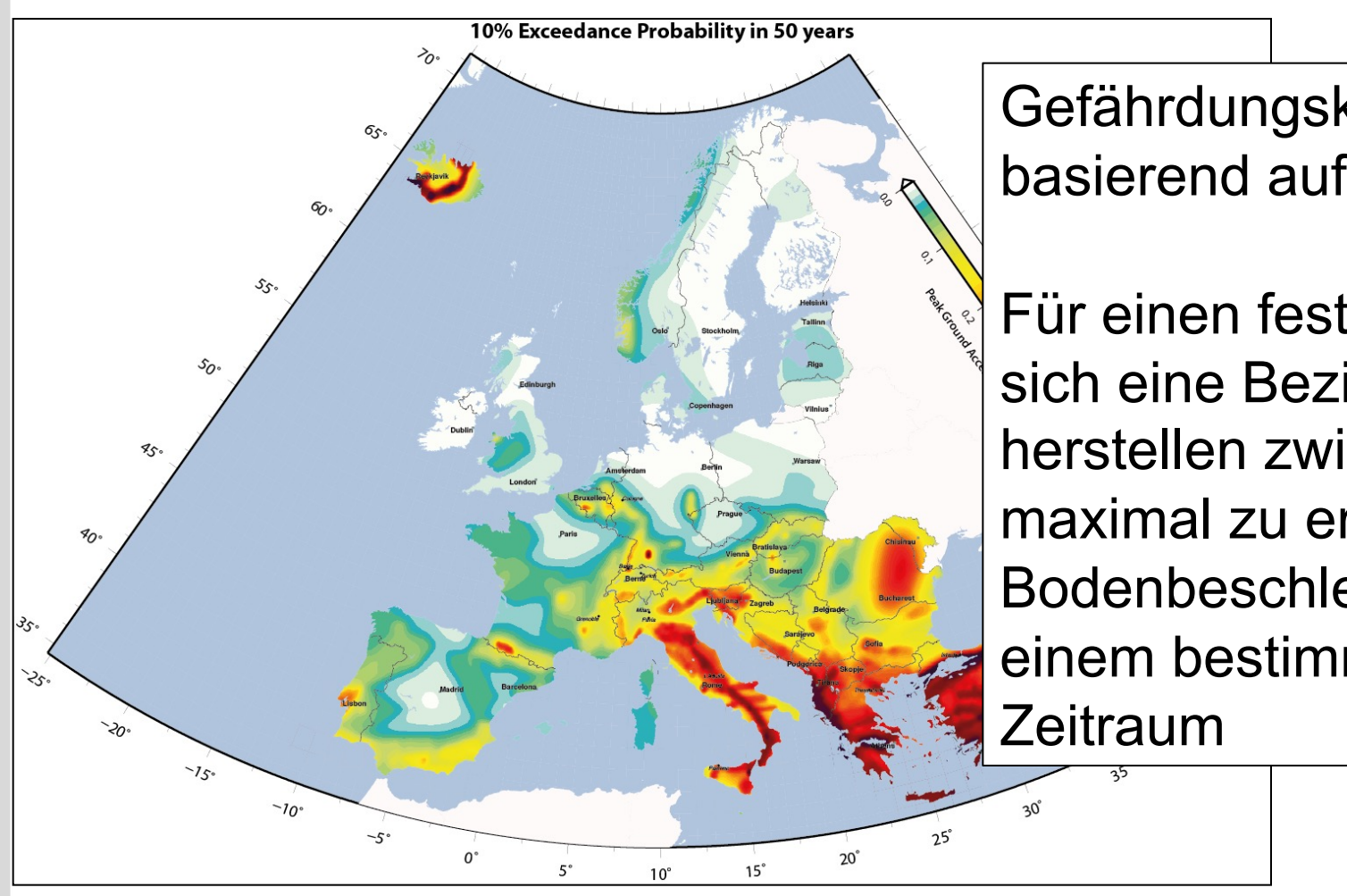


# Gefährdungskarte basierend auf maximaler Intensität





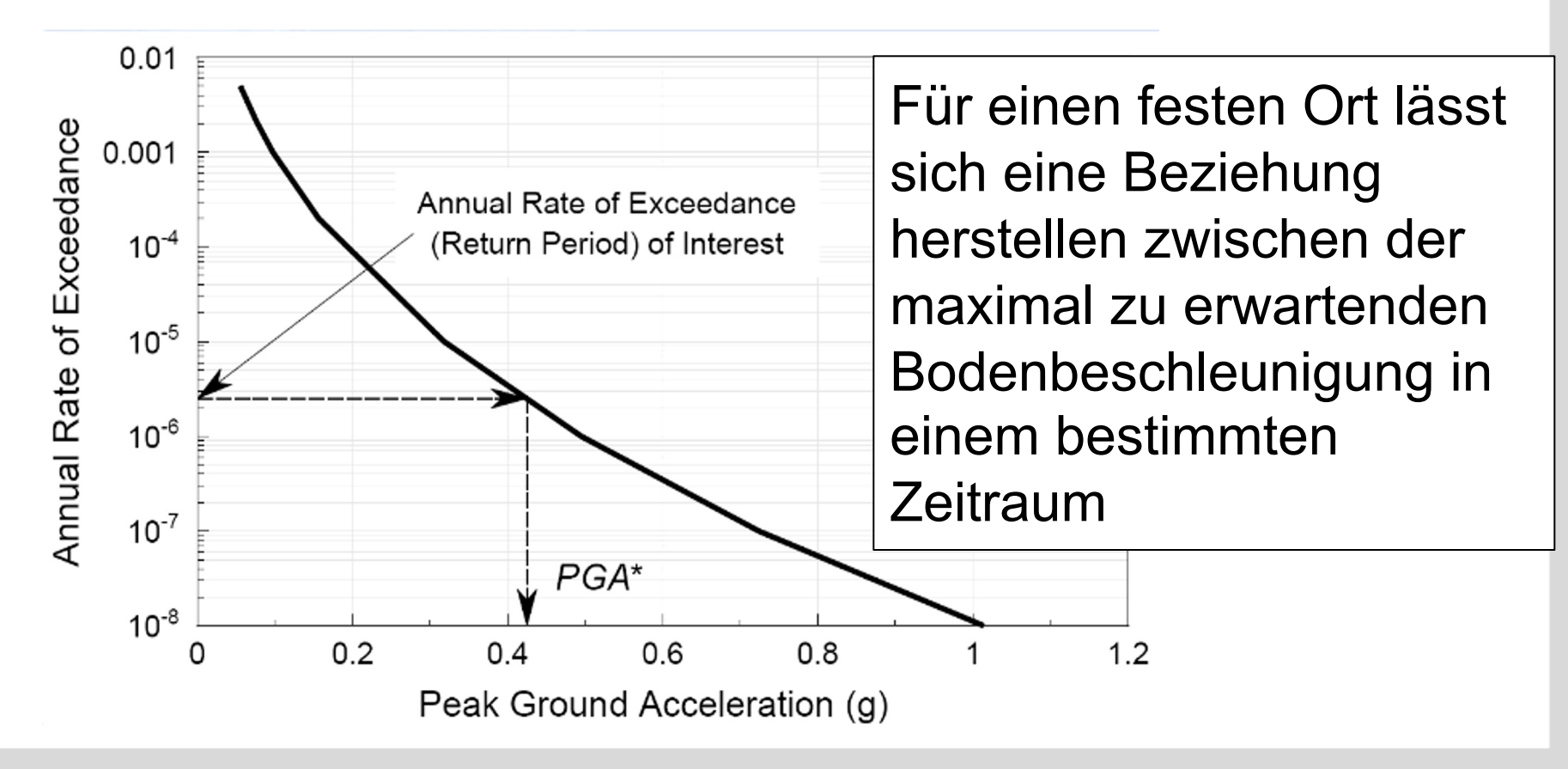




Gefährdungskarte basierend auf PGA

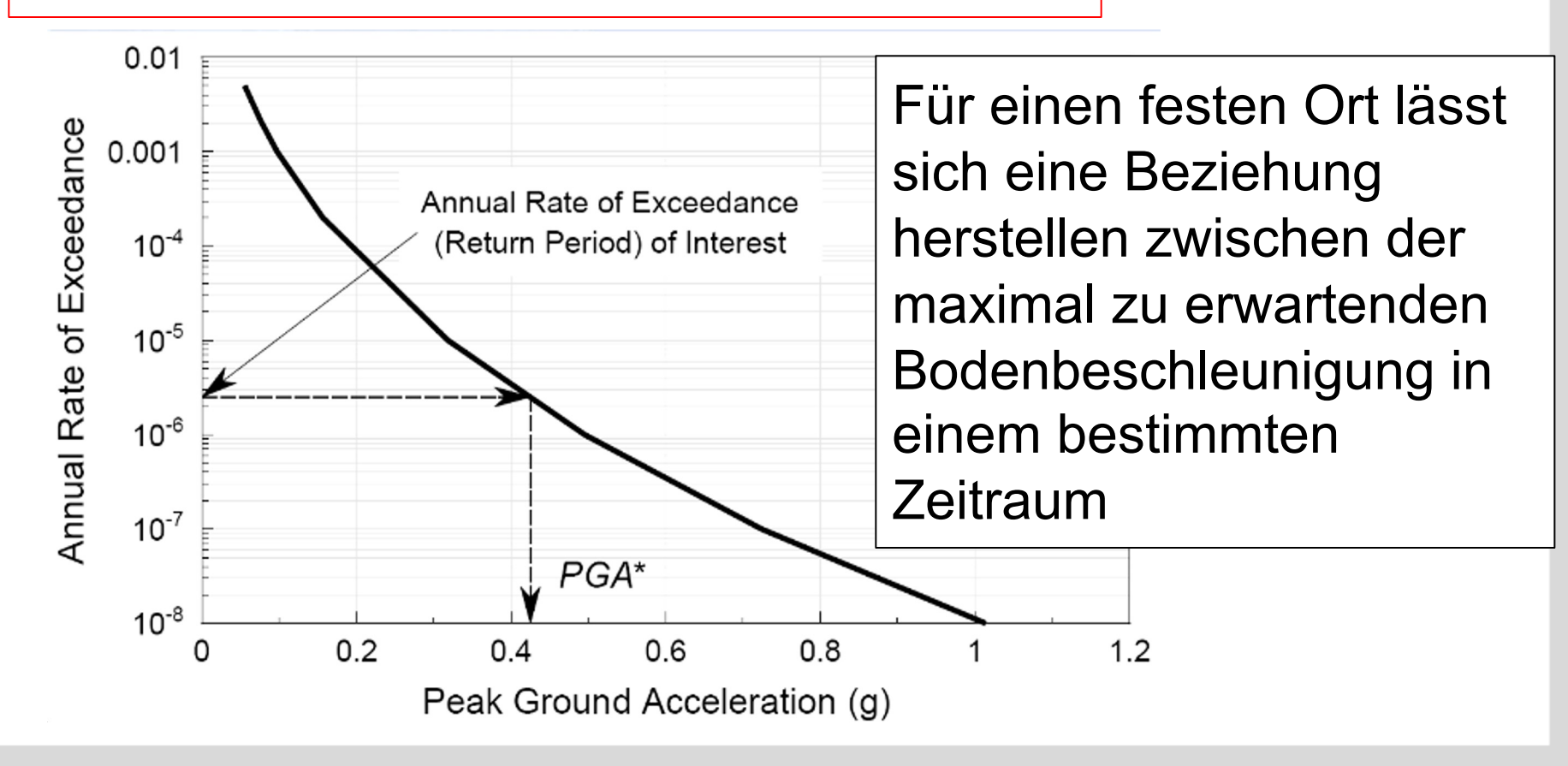
Für einen festen Ort lässt sich eine Beziehung herstellen zwischen der maximal zu erwartenden Bodenbeschleunigung in einem bestimmten



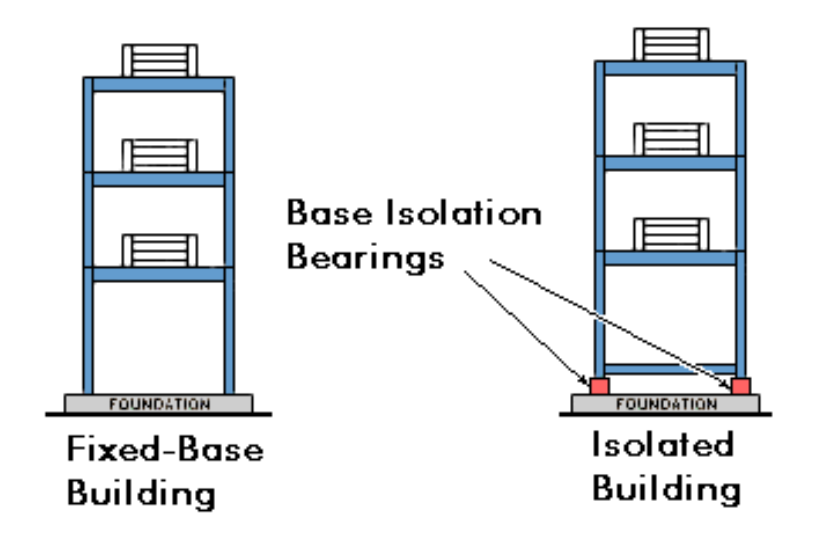




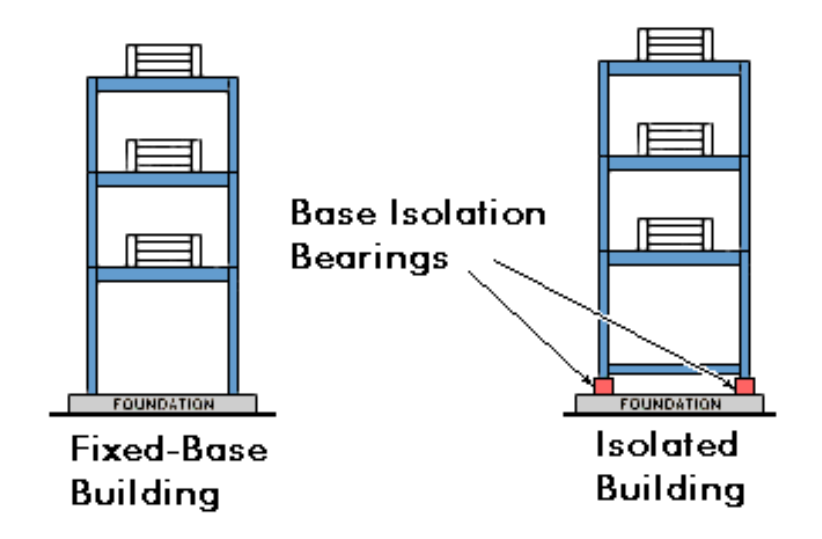
Gefährdungsanalyse erlaubt Aussage, welche Gefährdung zu erwarten ist: Bauvorschriften

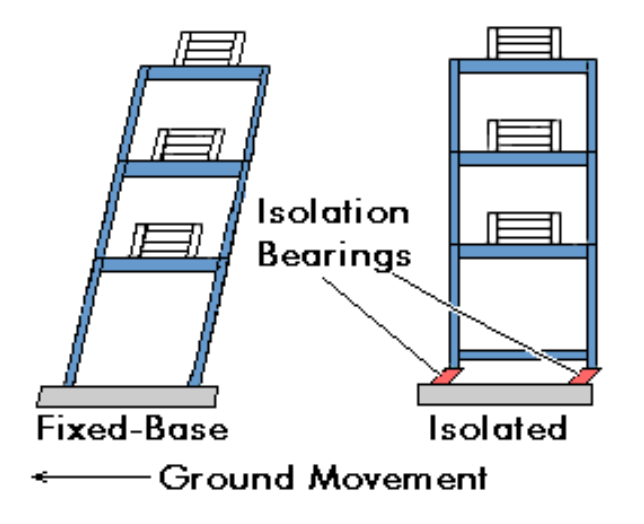






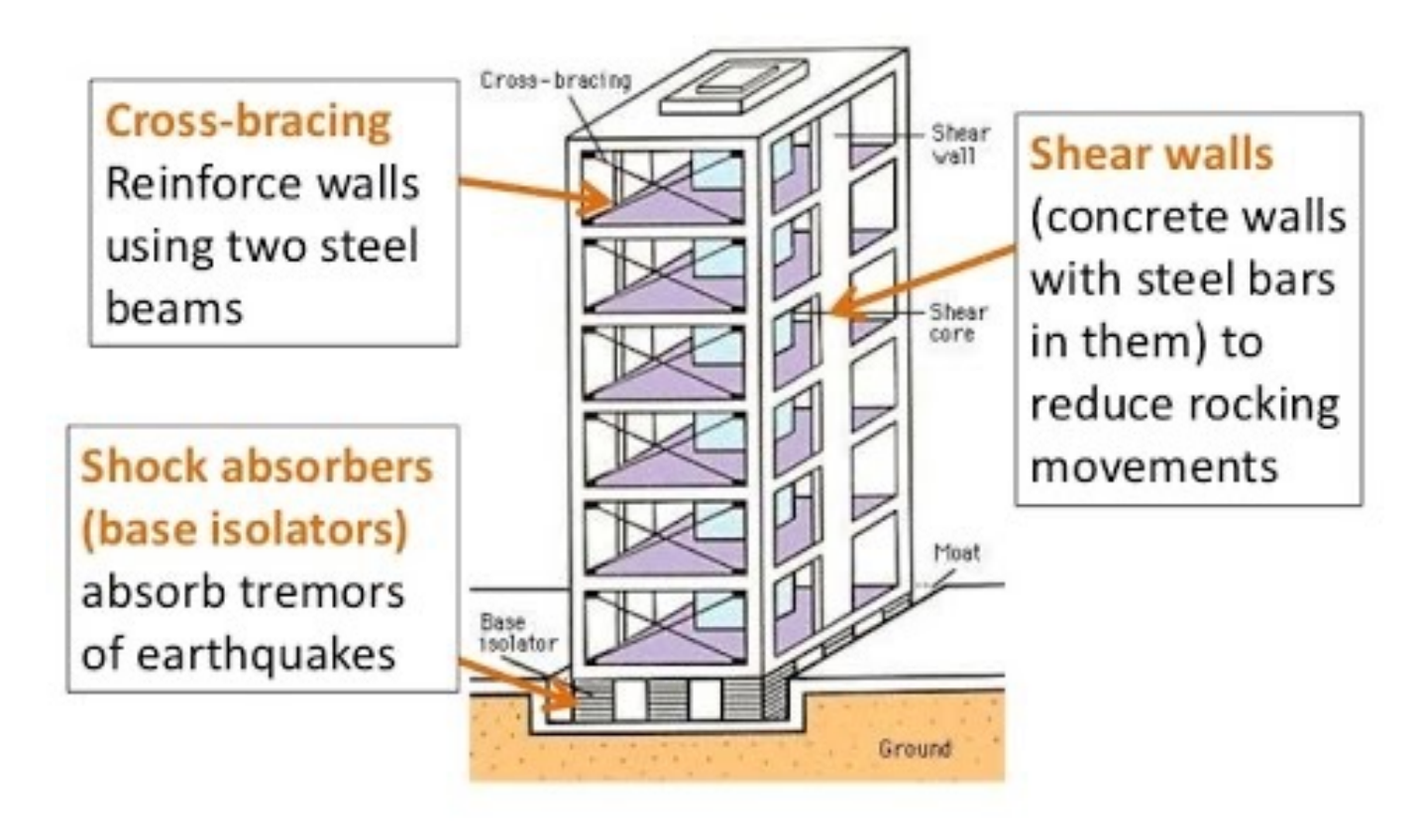




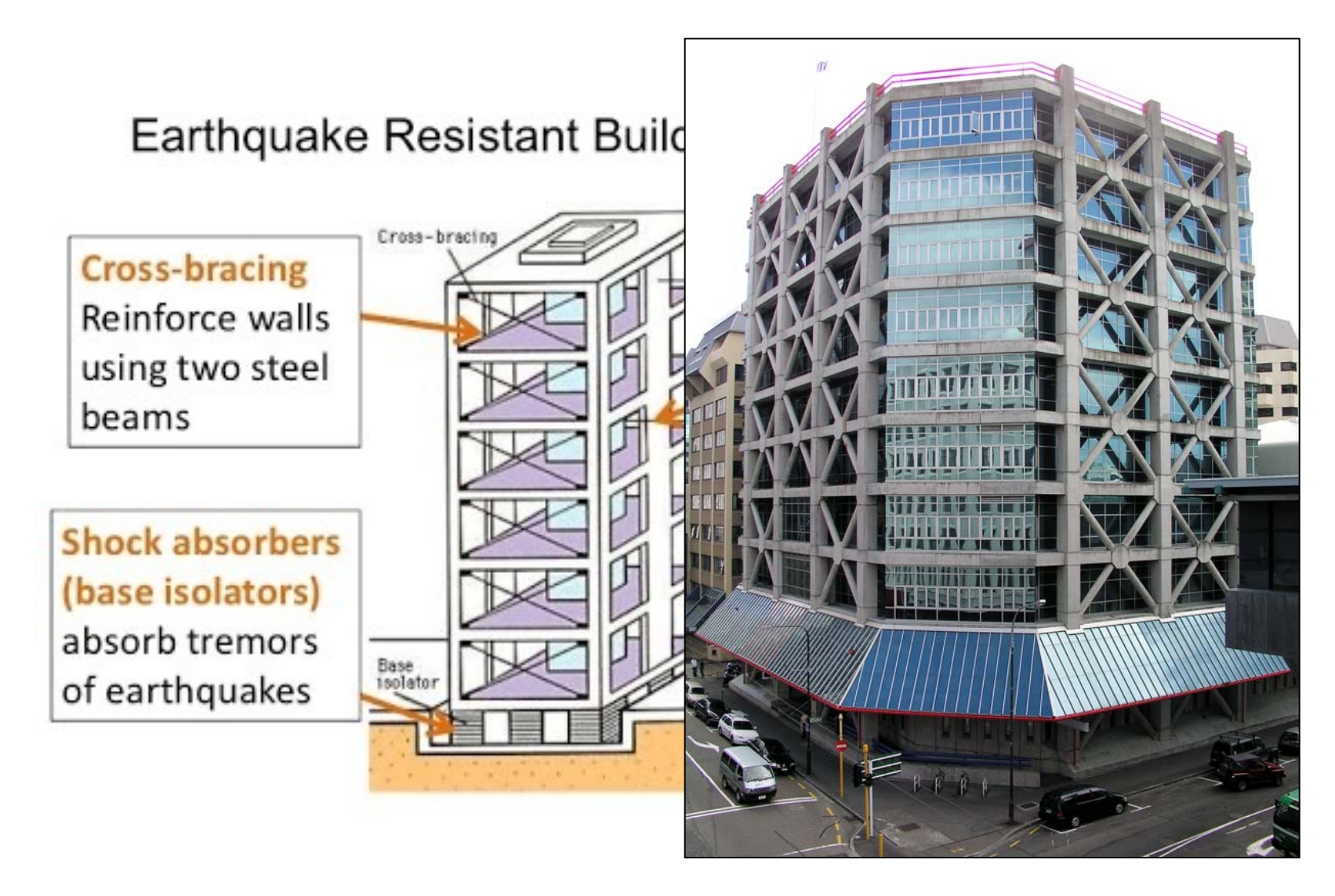




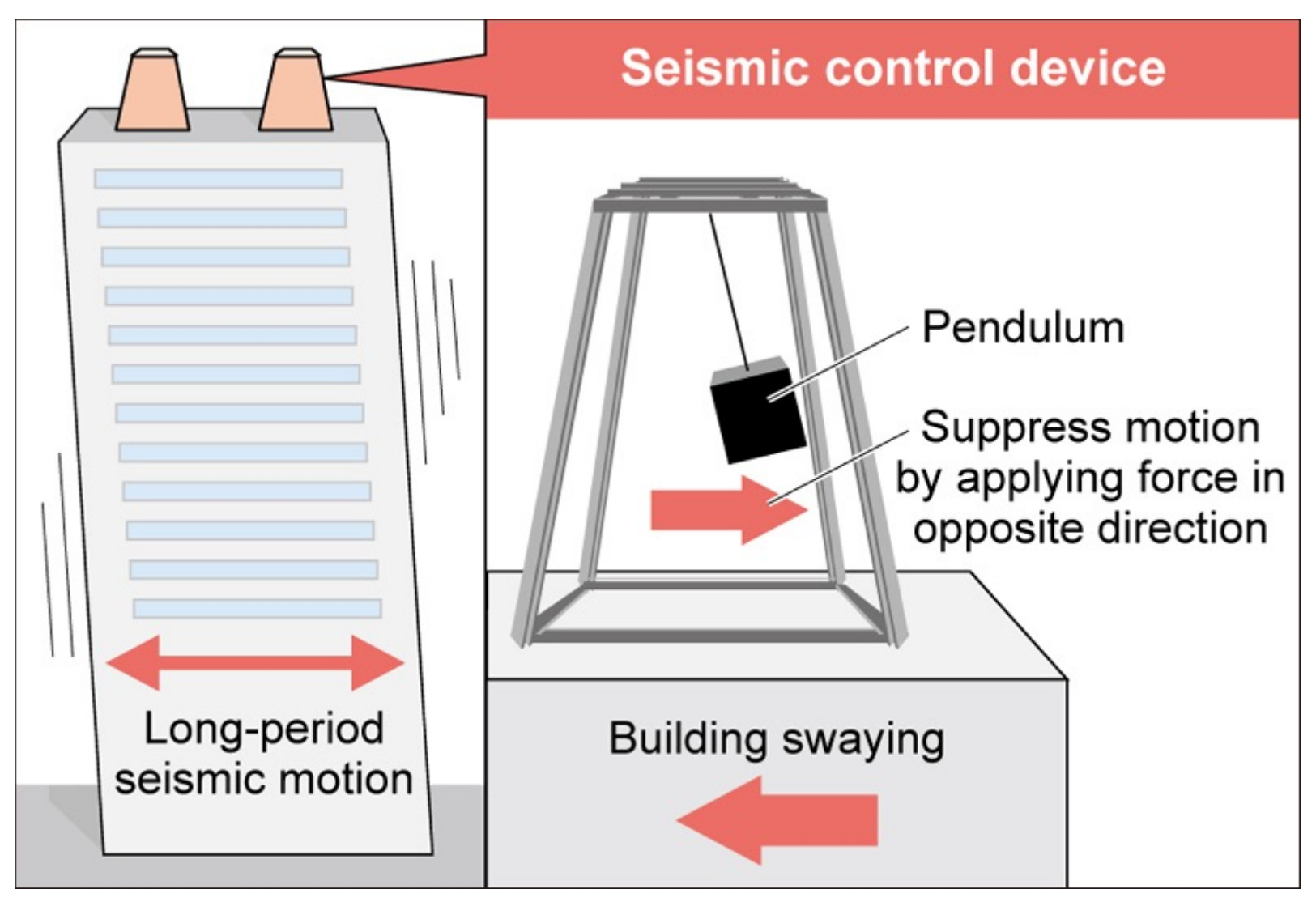
#### Earthquake Resistant Building



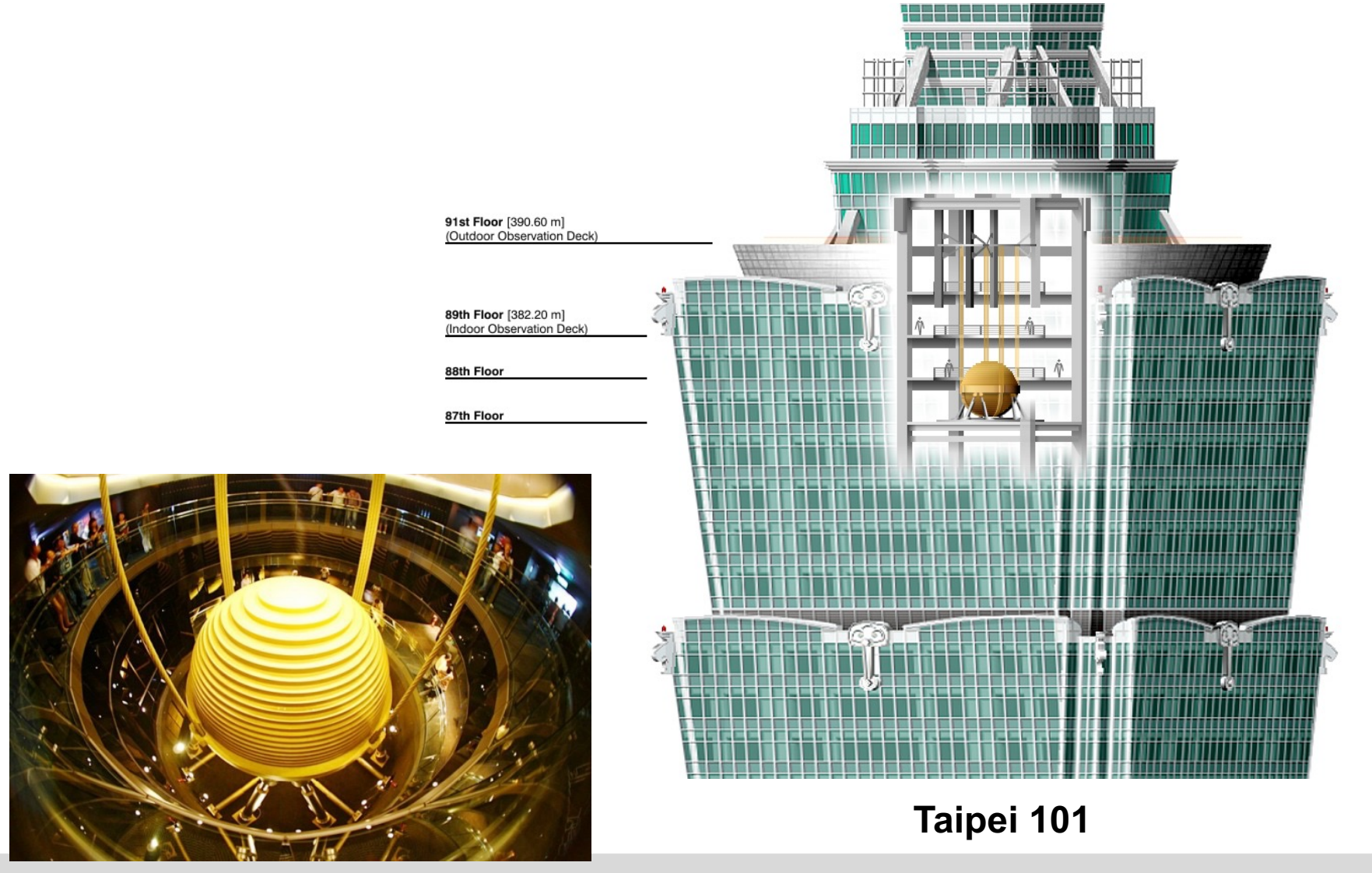














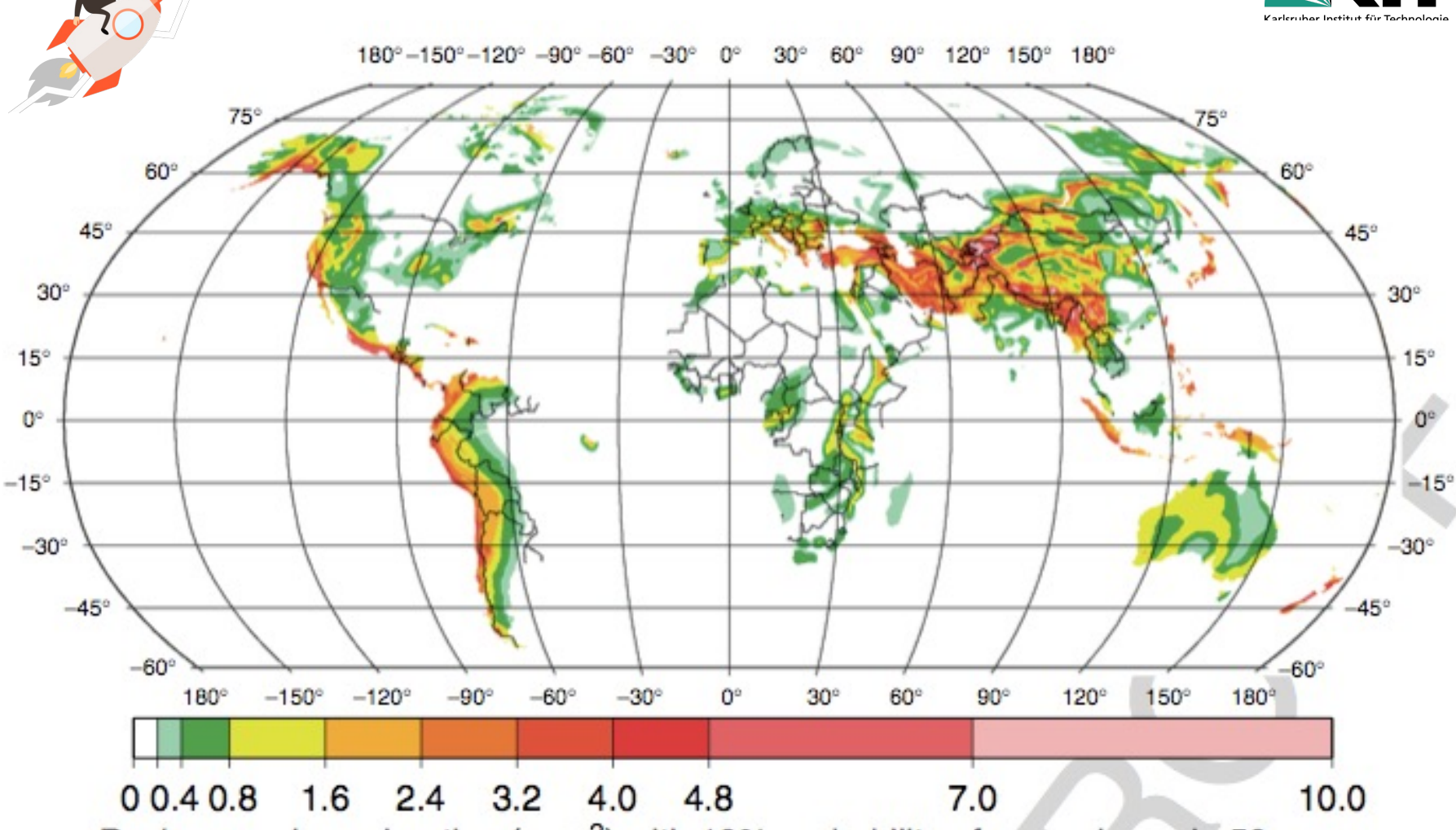


# **Zusammenfassung – Take-home-message**

- Wie ist die weltweite und regionale Seismizität charakterisiert?
- Gibt es Möglichkeiten, die Verteilung von Erdbeben quantitativ zu erfassen?
- Wie wird die Magnitude bestimmt?
- Welche unterschiedlichen Magnituden gibt es und warum gibt es diese Vielfalt?
- Worin unterscheidet sich Magnitude und Intensität?
- Welche Gefährdung tritt durch Erdbeben auf?
- Wie lässt sie sich quantifizieren?
- Wie lässt sich das Risiko minimieren?

#### Global seismic hazard





Peak ground acceleration (m s<sup>-2</sup>) with 10% probability of exceedance in 50 years

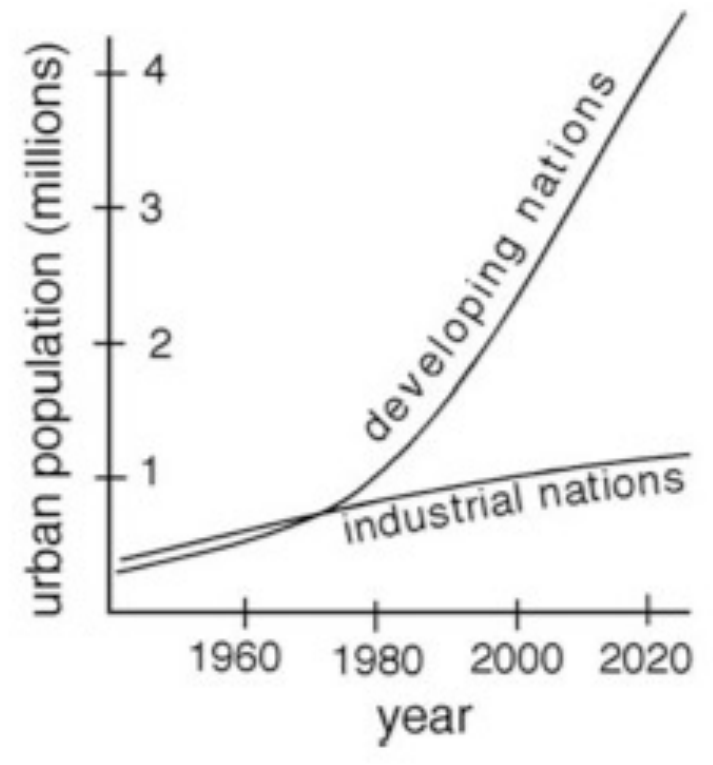
(Figure from Allen, 2007)

Map prepared by the Global Seismic Hazard Assessment Program (Giardini, 1999).





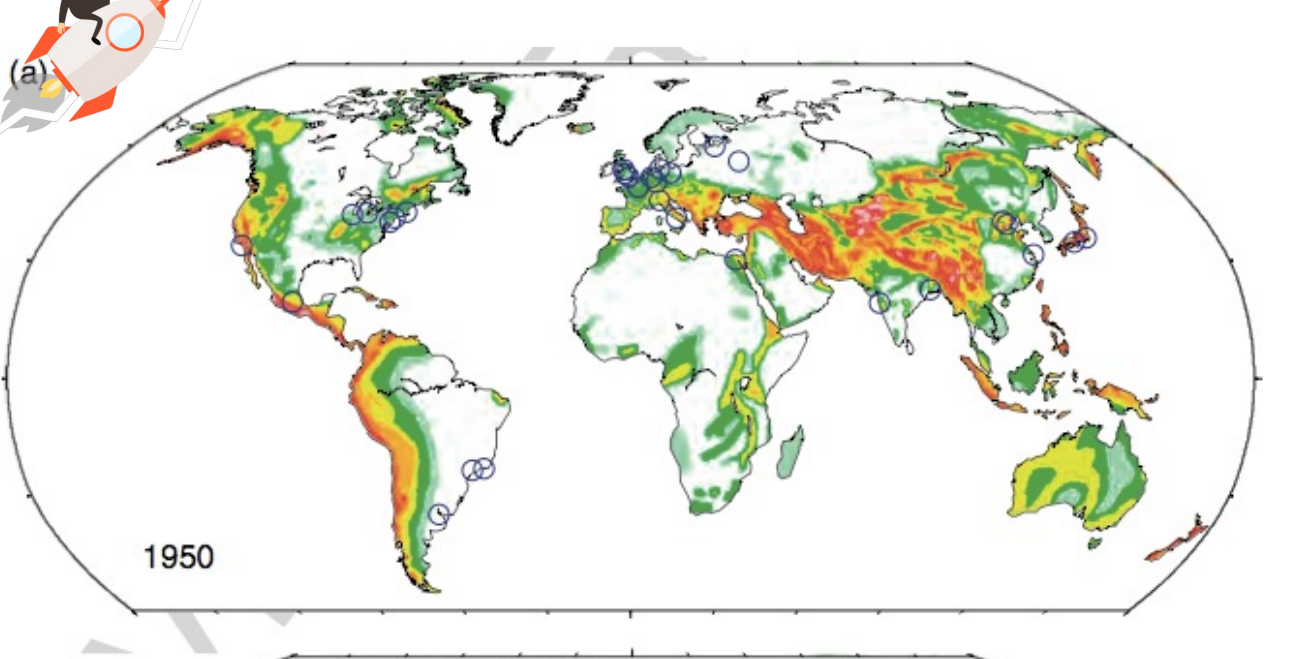
Urbanization in developing nations is rapid, but is flat in industrial nations.



(Figure from Bilham, 2004)

"By the year 2025 more than 5500 million people will live in cities - more than our entire 1990 combined rural and urban population." (from Roger Bilham's web-page)

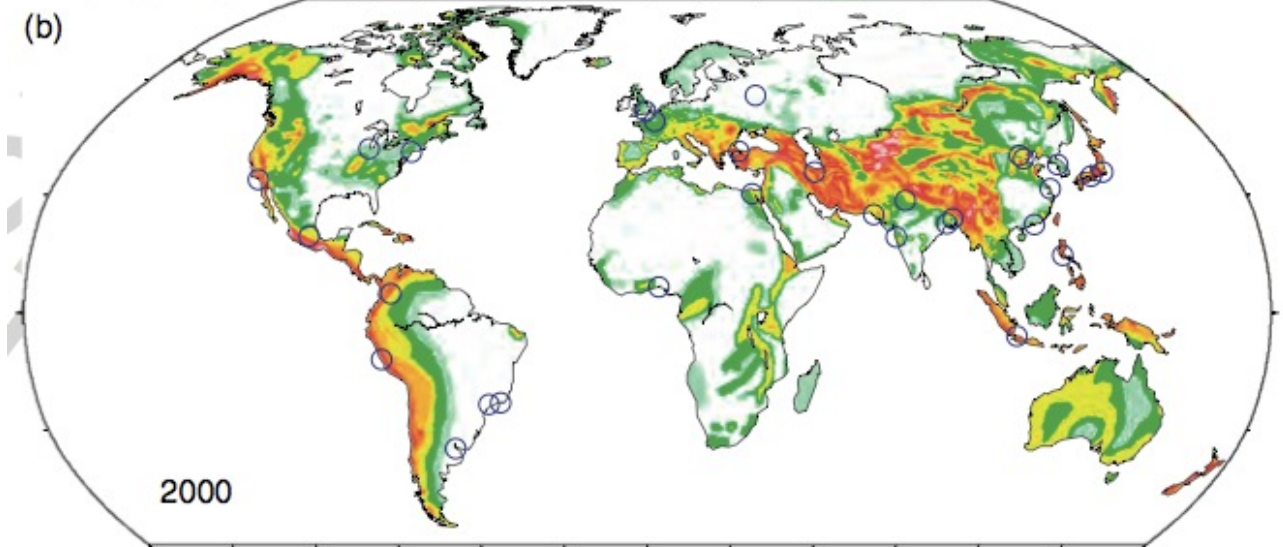




Note the slower growth of cities in N. America and W. Euro. with respect to cities throughout Asia and S. America.

Thus, the poor are at greater risk than the rich.

The location of the largest cities in 1950 and 2000 superimposed on the hazard map.



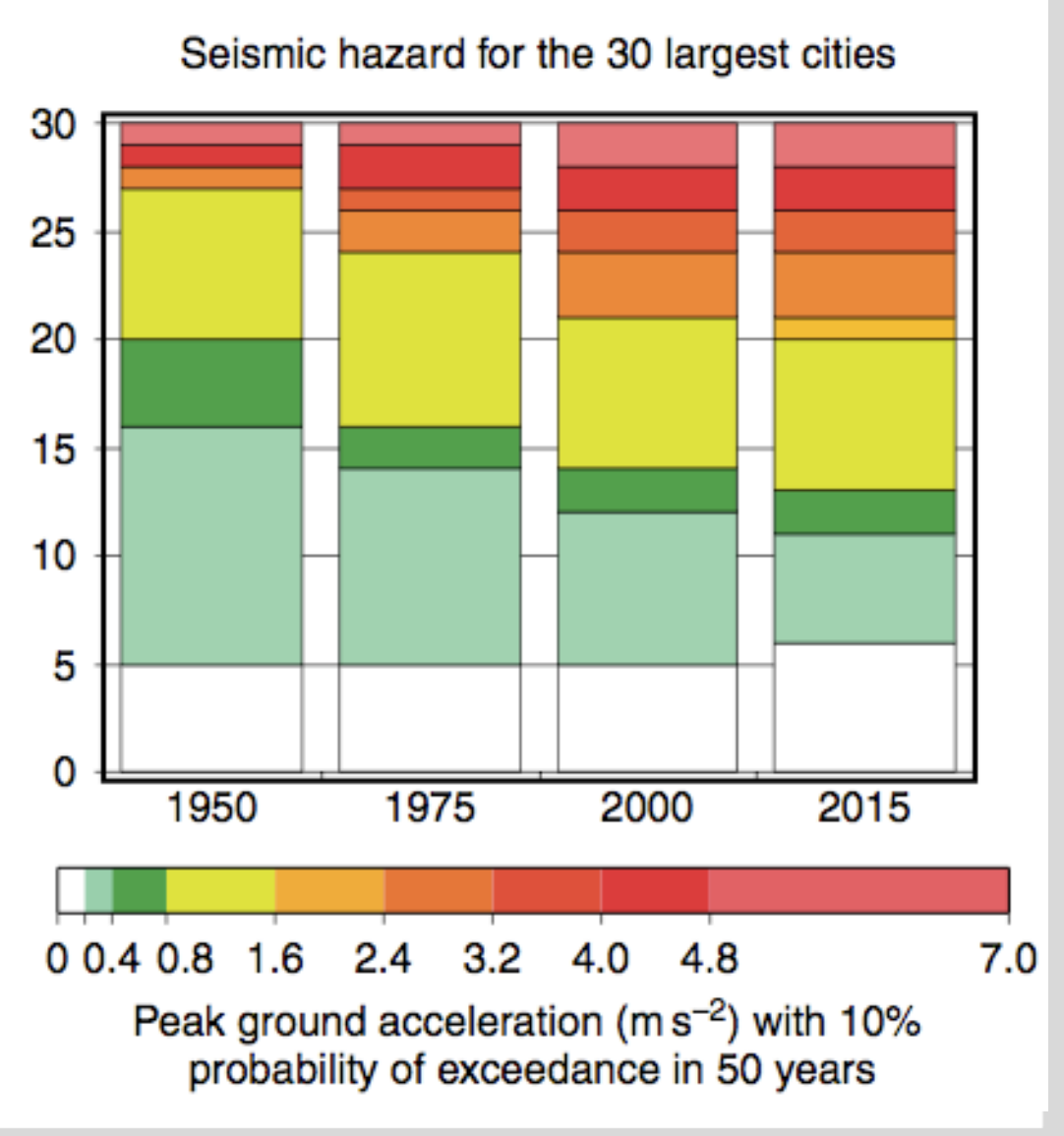




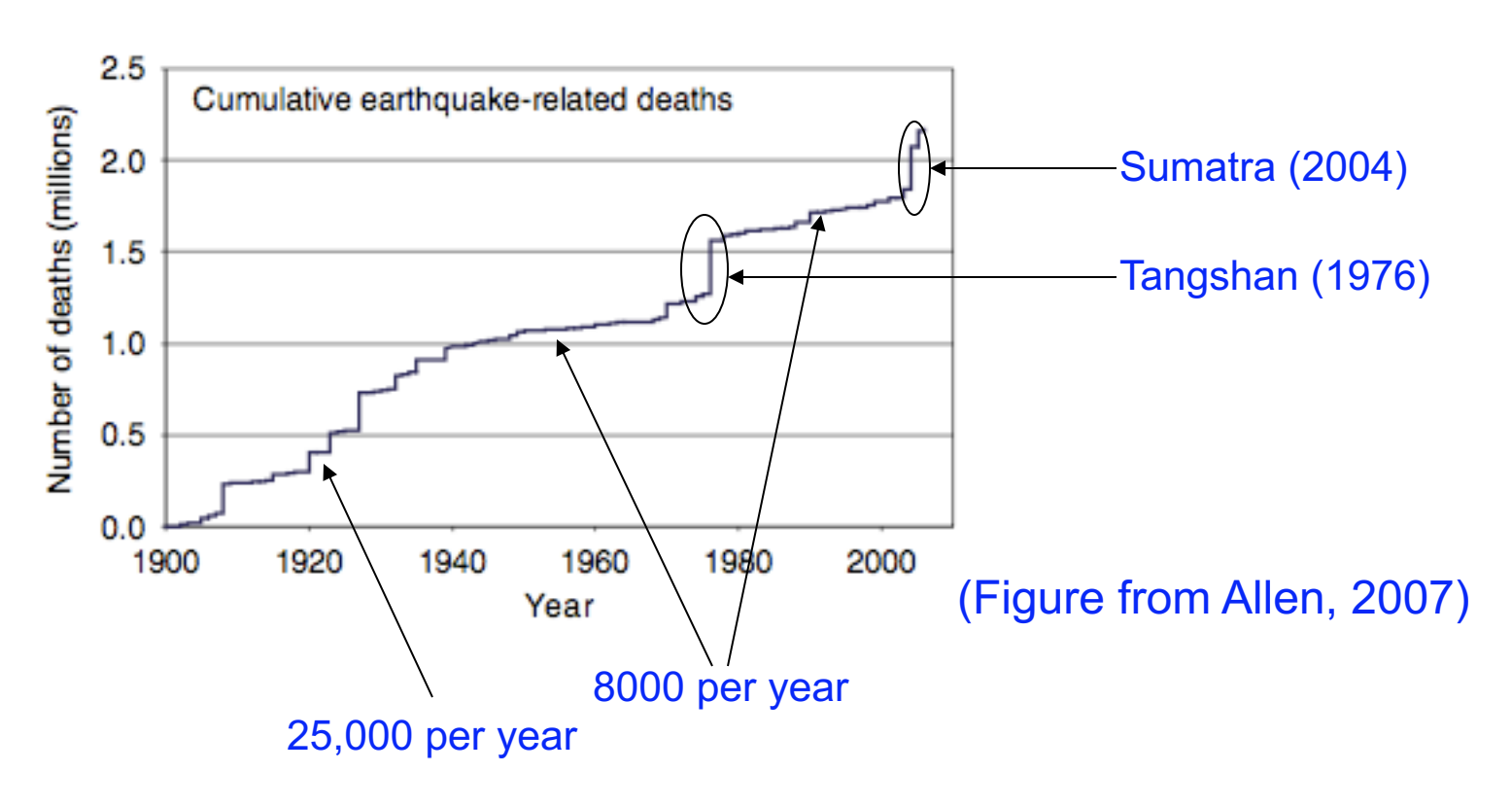
While cities in seismically safe regions are removed from the top 30 list, cities in hazardous regions grow more rapidly.

Question: why are big cities built in areas of high seismic risk?

(Figure from Allen, 2007)







#### Note that:

- 1. The change in character pre- and post- 1940.
- 2. The two largest quakes did not cause many fatalities.
- 3. The new millennium started really bad...

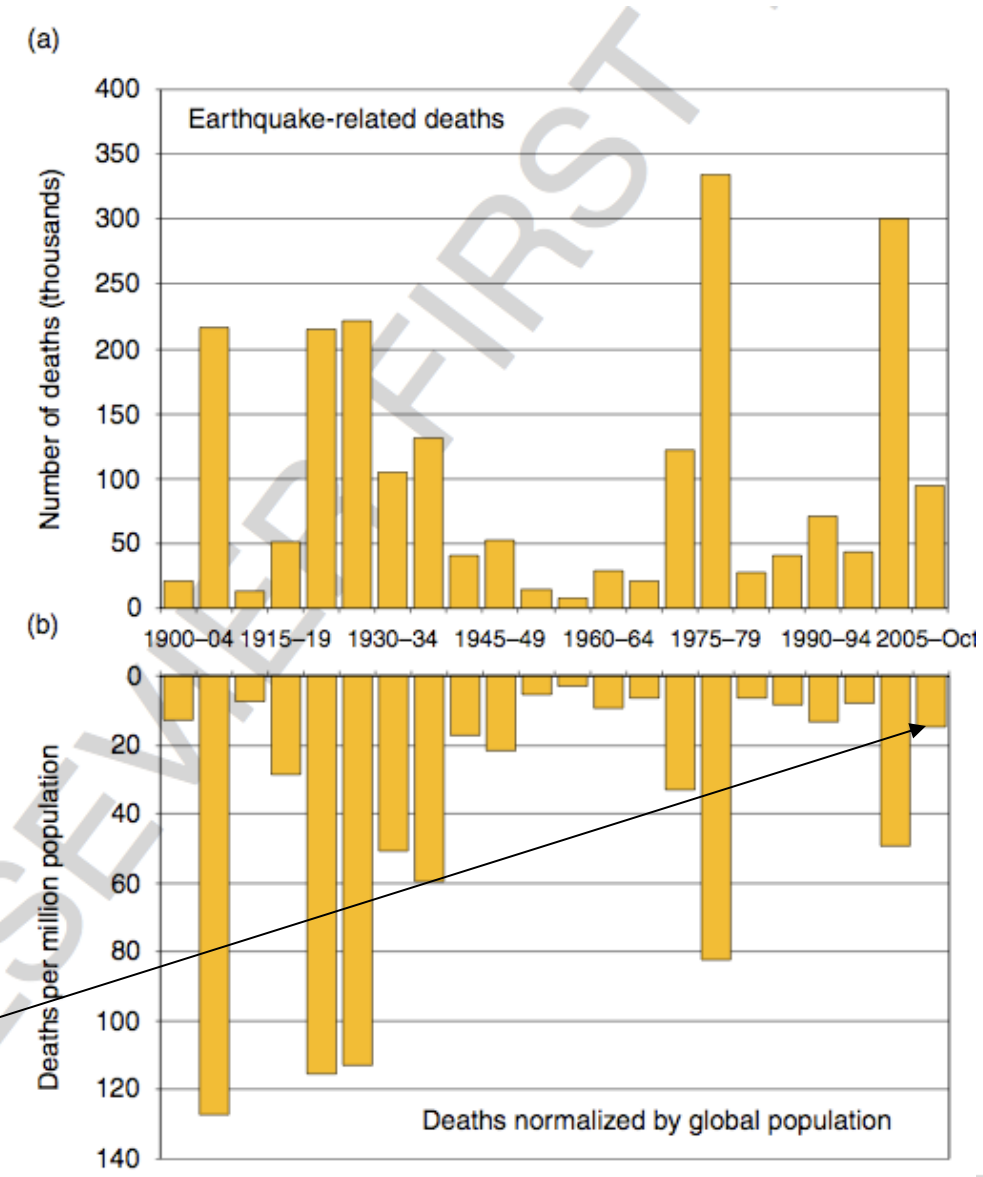






- While the number of fatalities is increasing, it is not increasing as global population.
- Thus, an individual risk of dying has decreased by a factor of 2 since 1950.

The chances of dying of an earthquake are very small. Only 1 out of 200,000 people per year!

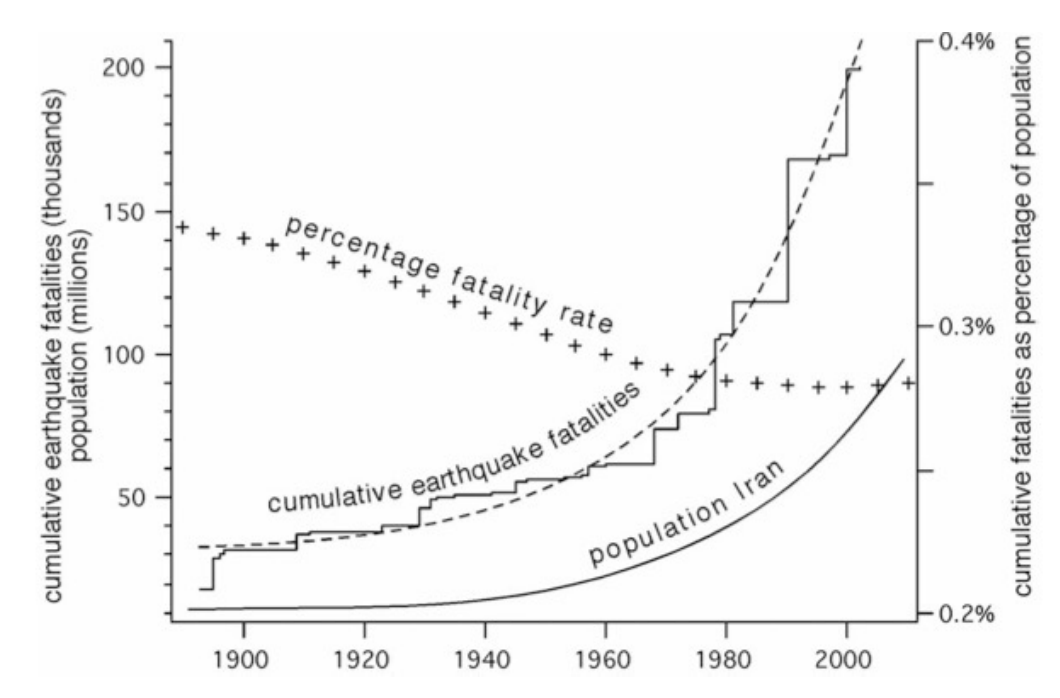


#### Fatalities rate vs. growth rate



The conclusion that fatalities rate increase slower than population growth is not true for Iran (and some other

developing nations).



(Figure from Bilham, 2004)

- Earthquake fatalities rate in Iran is in pace with the population growth.
- Fatalities rate in Iran is rising at an increasing rate.

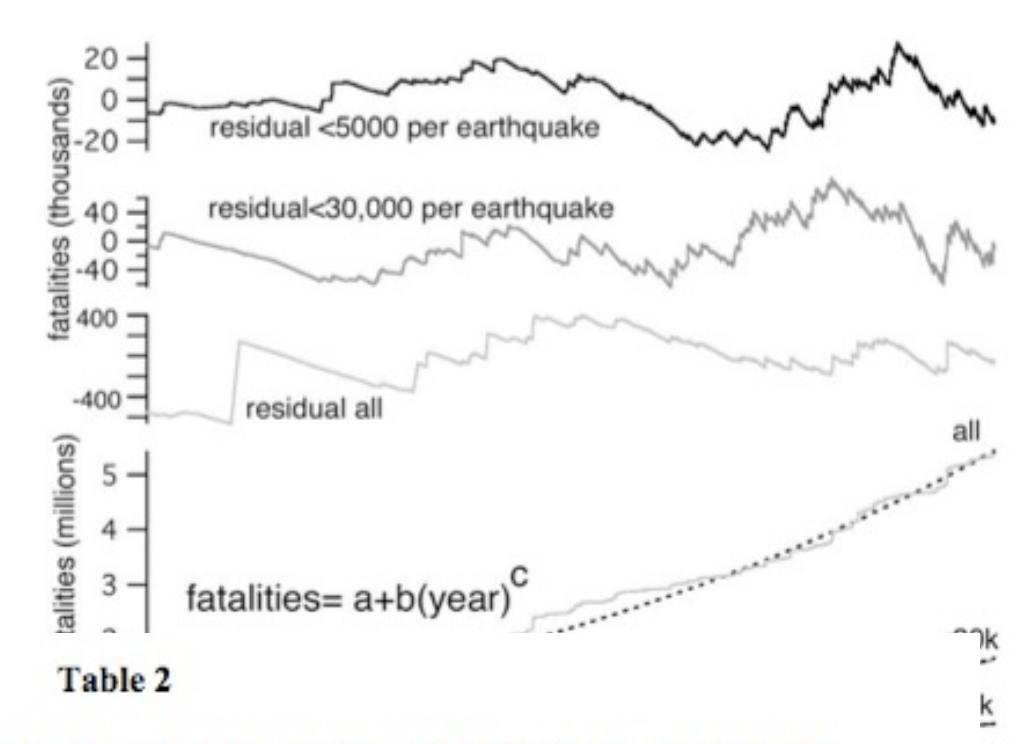


# Does fatalities rate rises at an increasing rate?



500 years of historical and modern record suggest that the fatalities rate rises at an increasing rate (Bilham, 2004).

(Figure from Bilham, 2004)



Decade-interval forecasts (1900-2030) of annual fatality rate (deaths/year) based on power law fits to 5 centuries of data. Numbers on parenthesis in the first row represent the observed fatality rate 1900-2004, all lower than predicted. The constants a, b and c correspond to the power law variables in figure 3.

	1900-1999	2000-09	2010-19	2020-29	a	b	c
all	16703(10991)	17094	17492	17897	-(6.4±0.7)e+05	(1.63±1.3)e-12	5.62±0.1
<30k	8609 (5991)	9015	9439	9881	-(8.4±1.6)e+03	(2.9±1.7)e-28	10.23±0.1
<5k	2702 (788)	2849	3004	3166	-(10.5±2)e+03	(2.2+1.6)e-33	11.6±0.1

#### What to do?



### Much of the risk may be mitigated by:

- Education
- Improvement and implementation of building codes.
- Implementation of Early Warning Systems.
- Fault mapping.



# Zu Hause: Folien noch einmal durchgehen und ein Foto/ eine Formel/ eine Grafik heraussuchen, die ich mir merken will





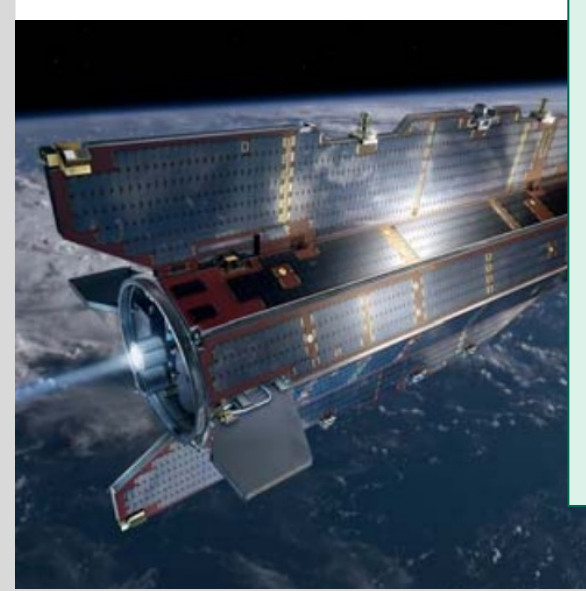
# Zusammenfassung – Take-home-message

- Wie ist die weltweite und regionale Seismizität charakterisiert?
- Gibt es Möglichkeiten, die Verteilung von Erdbeben quantitativ zu erfassen?
- Wie wird die Magnitude bestimmt?
- Welche unterschiedlichen Magnituden gibt es und warum gibt es diese Vielfalt?
- Worin unterscheidet sich Magnitude und Intensität?
- Welche Gefährdung tritt durch Erdbeben auf?
- Wie lässt sie sich quantifizieren?
- Wie lässt sich das Risiko minimieren?



# Einführung in die Geophysik II

#### Schwere und Gravimetrie

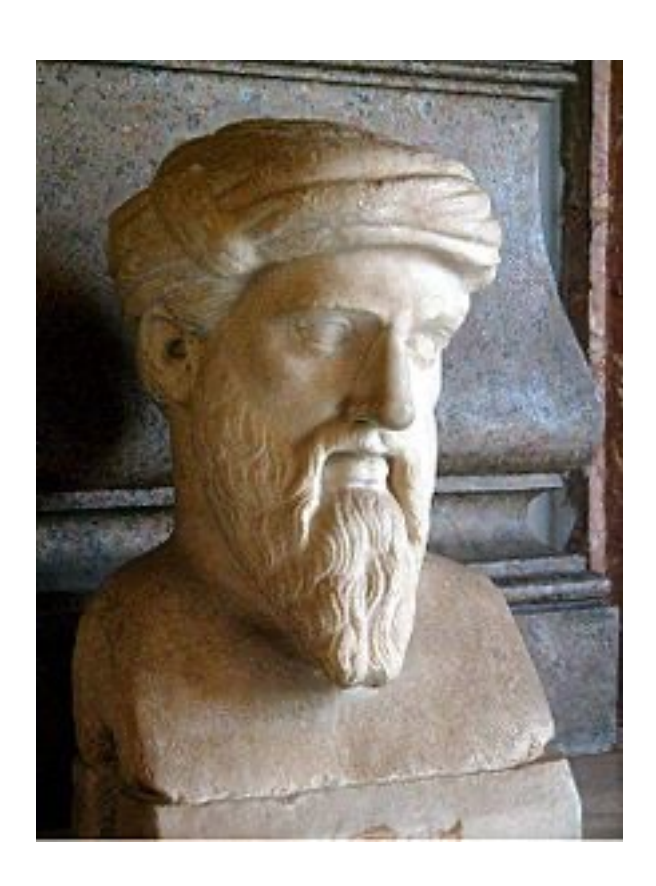


- Wie lässt sich die Gestalt der Erde (Größe, Form) beschreiben und messen?
- Wie lässt sich die Schwere physikalisch erklären und mathematisch beschreiben? (Gravitationsund Zentrifugalbeschleunigung)
- Wie lässt sich die Schwere messen (= Gravimetrie)?
- Welchen Einfluss haben die Gezeiten auf die Schweremessungen?





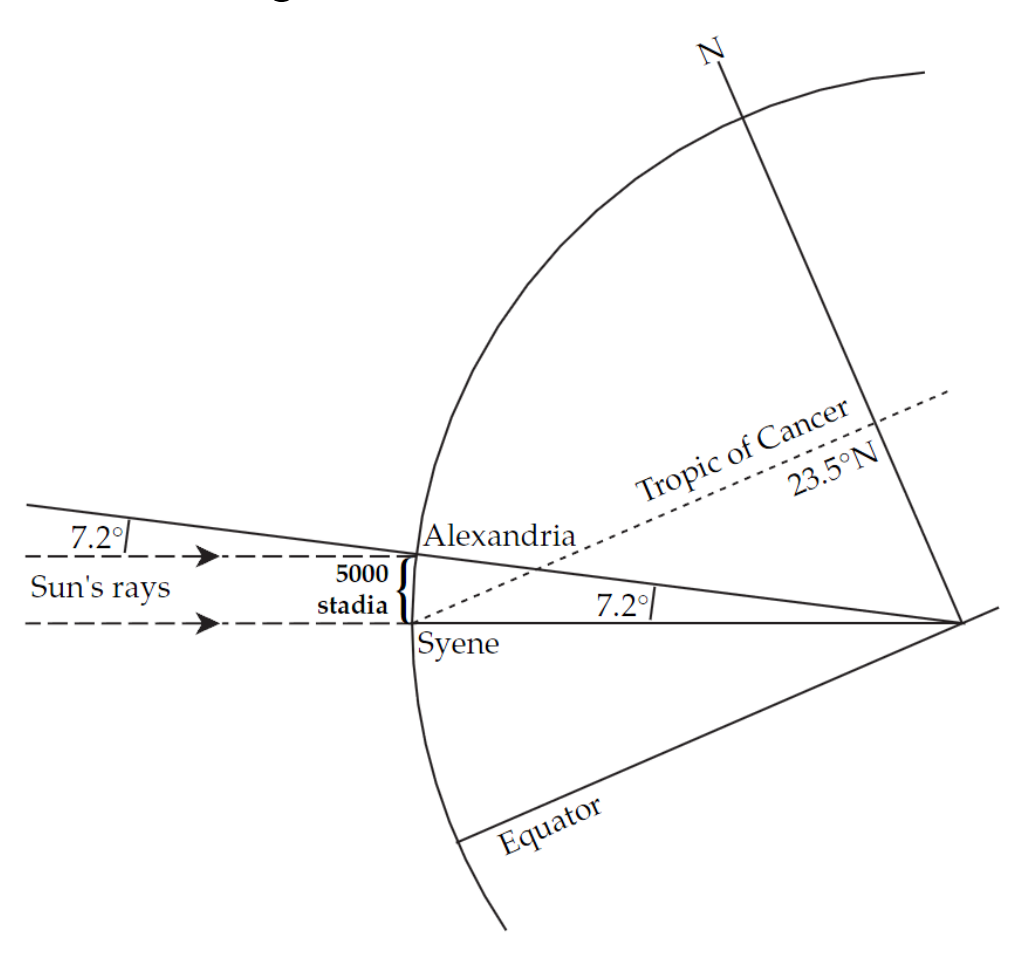
"Nullte" Näherung: Figur der Erde ist eine Kugel (Pythagoras, 582–507 v. Chr.)



### Größe und Figur der Erde



Bestimmung der Größe der Erde: Eratosthenes (275 – 195 v. Chr.)



Beobachtung der Einstrahlung der Sonne in zwei Brunnen, deren Entfernung bekannt war.

Annahme: Beide Städte liegen auf gleichem Meridian.

Bestimmung des Erdumfangs zu 46250 km (moderner Wert: 40030 km)

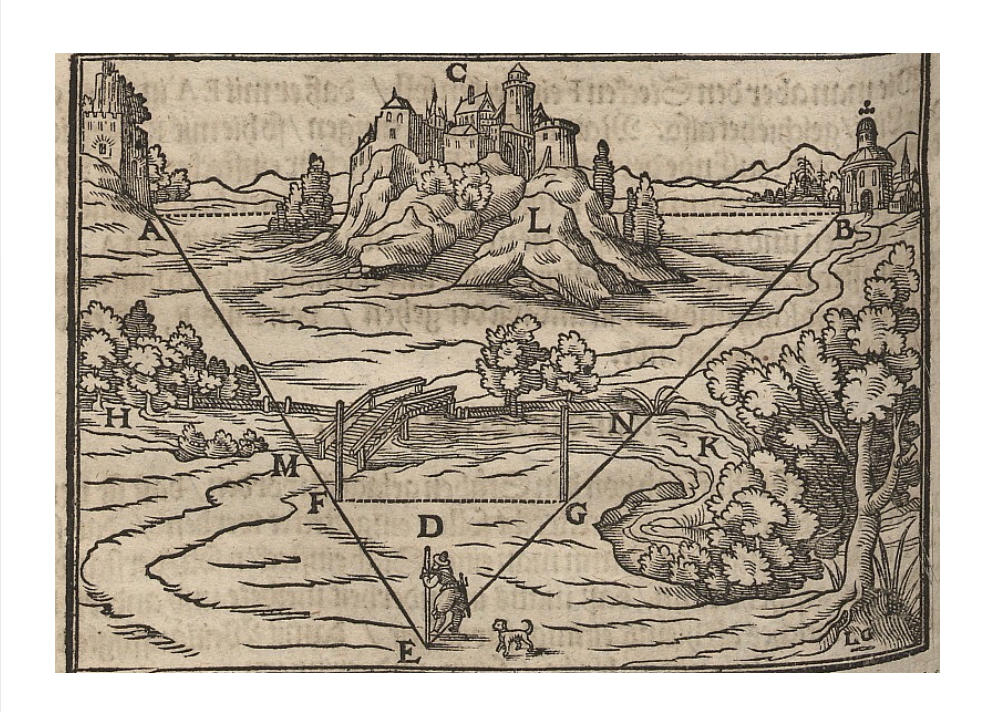
Quelle: Lowrie, 2007





Jean Picard (1620 – 1682): Vermessung der Erde mit der Methode der Triangulation

Bestimmung des Erdradius zu 6372 km (moderner Wert: 6371 km)



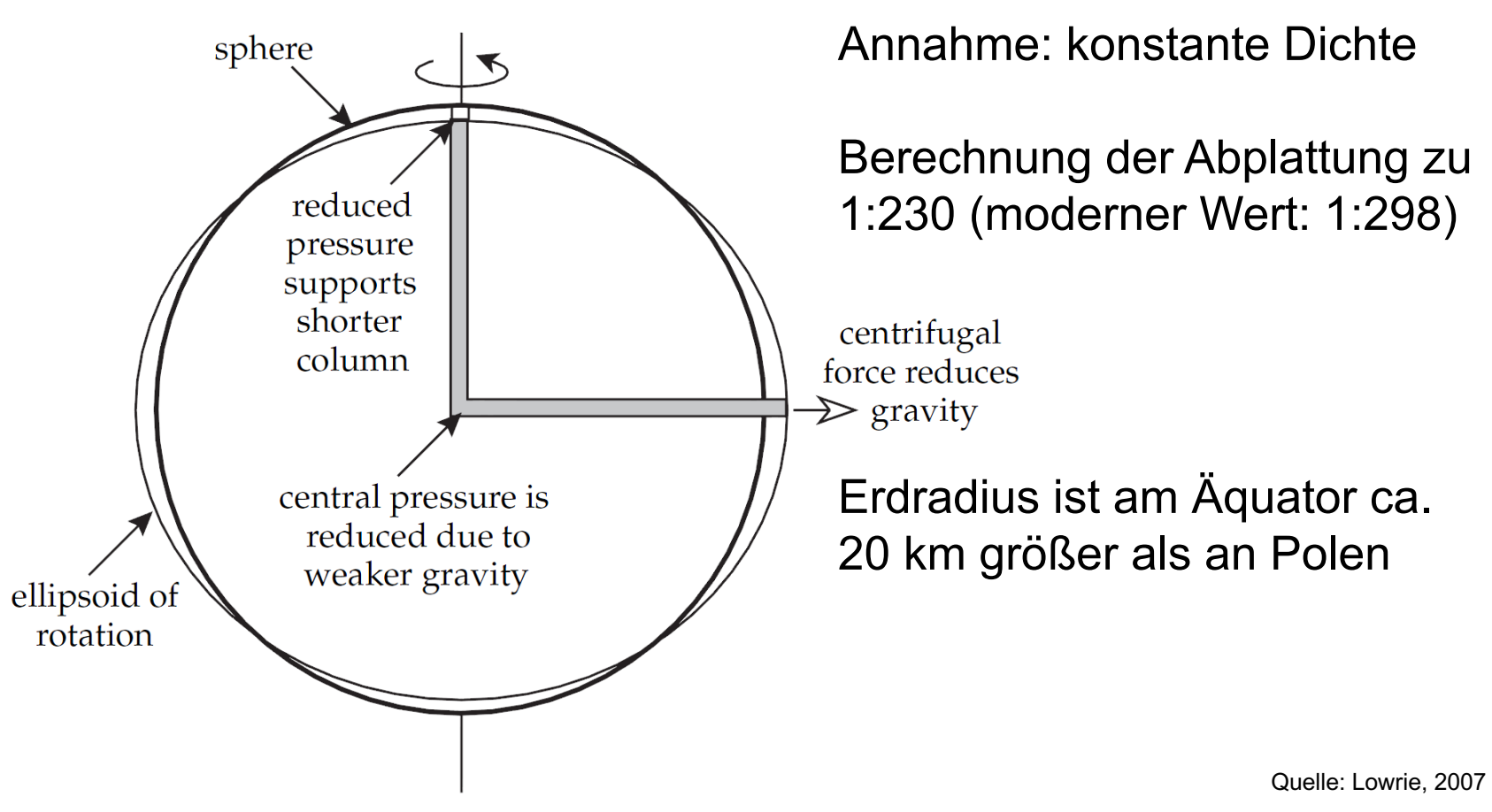


Quelle: Deutsche Fotothek





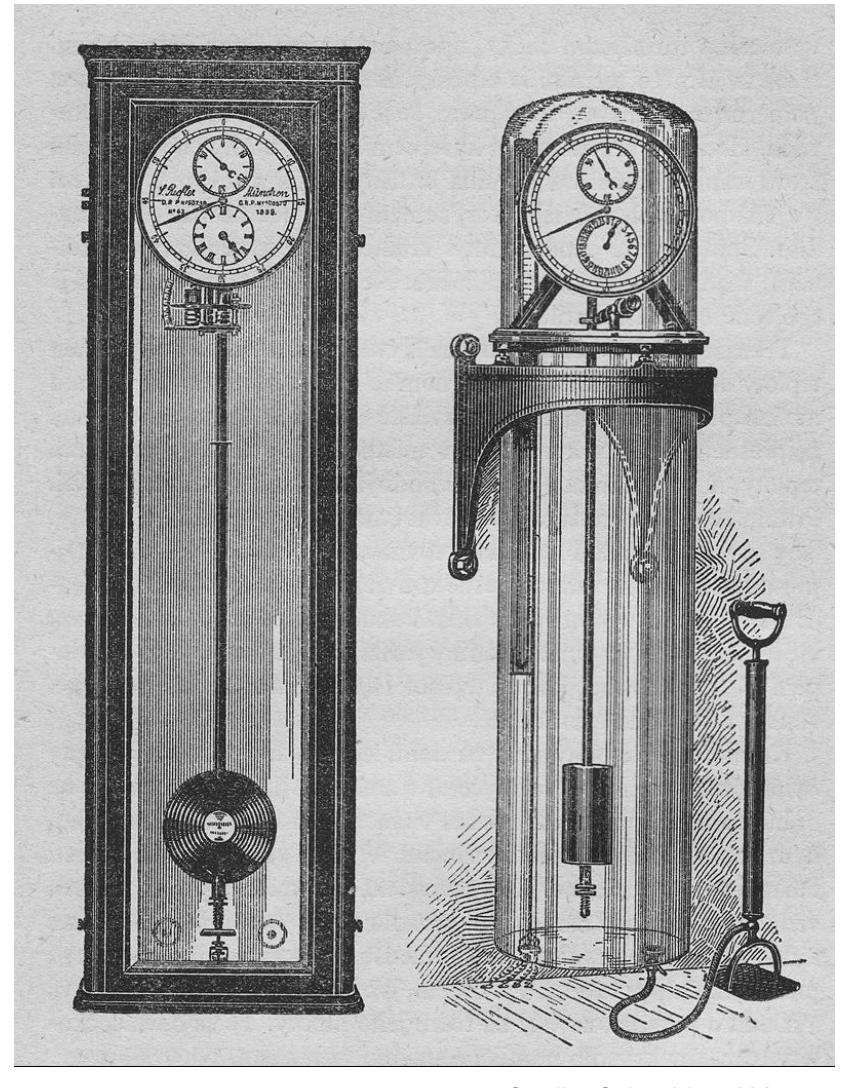
Sir Isaac Newton (1643 – 1727): Erste Näherung: Erde ist Rotationsellipsoid



# Größe und Figur der Erde

Karlsruher Institut für Technologie

Jean Richer (1630 – 1696):
Ungenauigkeit eines in Paris
geeichten Sekundenpendels am
Äquator, Abweichung um 2,5 Minuten
pro Tag aufgrund größerem Abstand
zum Erdmittelpunkt und stärkerer
Zentrifugalkraft



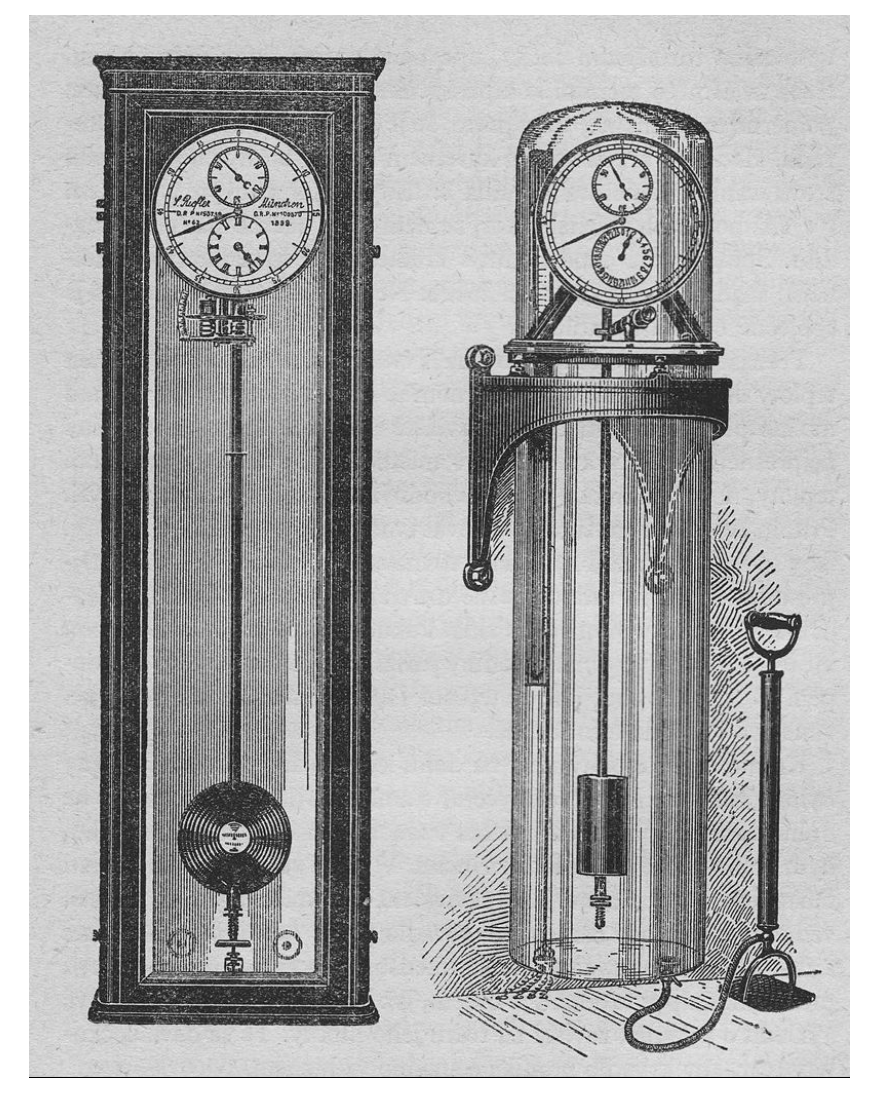
Quelle: Schneider, 1925



Karlsruher Institut für Technologie

Jean Richer (1630 – 1696):
Ungenauigkeit eines in Paris
geeichten Sekundenpendels am
Äquator, Abweichung um 2,5 Minuten
pro Tag aufgrund größerem Abstand
zum Erdmittelpunkt und stärkerer
Zentrifugalkraft

Heute weiß man: am Pol: 9,83 m/s², am Äquator allein wegen größerem Abstand 9,81 m/s², aber mit Zentrifugalkraft sogar nur 9,78 m/s² = "Normalschwere"



Quelle: Schneider, 1925

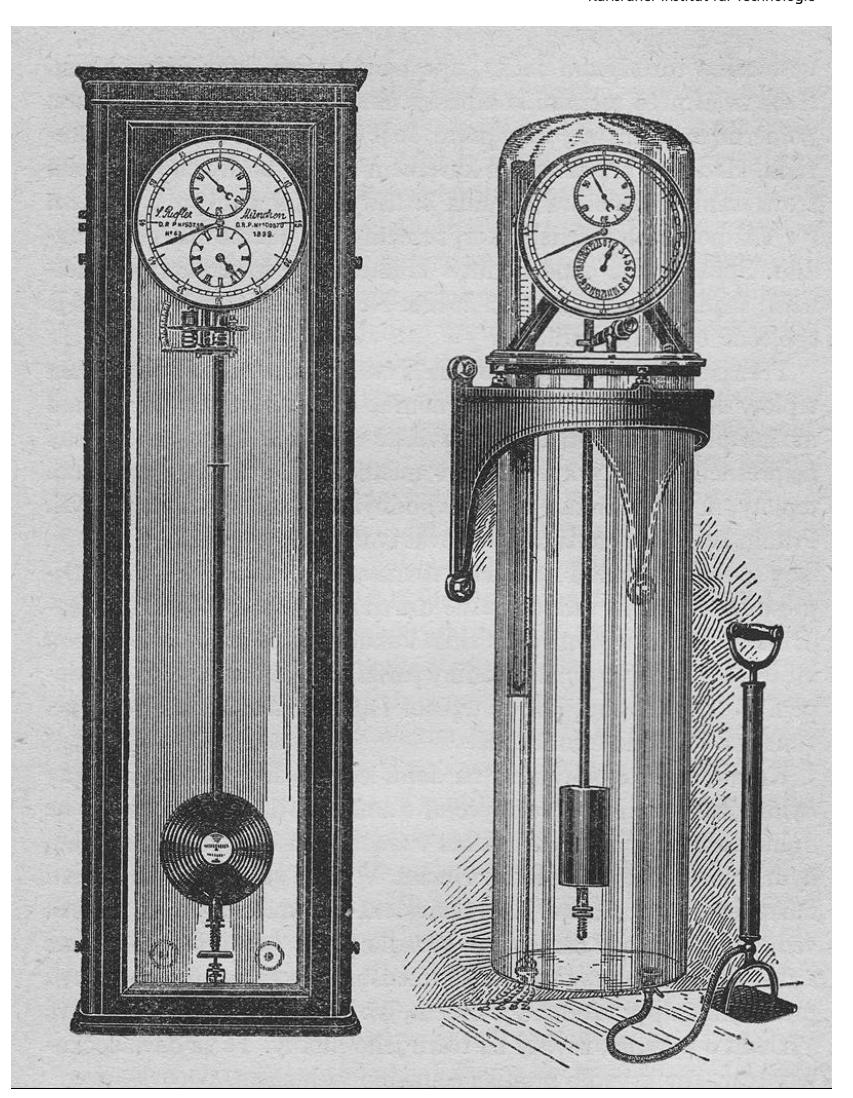
#### Größe und Figur der Erde

Karlsruher Institut für Technologie

Jean Richer (1630 – 1696):
Ungenauigkeit eines in Paris
geeichten Sekundenpendels am
Äquator, Abweichung um 2,5 Minuten
pro Tag aufgrund größerem Abstand
zum Erdmittelpunkt und stärkerer
Zentrifugalkraft

Heute weiß man: am Pol: 9,83 m/s², am Äquator allein wegen größerem Abstand 9,81 m/s², aber mit Zentrifugalkraft sogar nur 9,78 m/s² = "Normalschwere"

 $\Delta$  F = m ·  $\Delta$  g = m · 0,05 m/s<sup>2</sup> m = 100 kg  $\rightarrow$   $\Delta$  F = 5 N ≈ 500 g



Quelle: Schneider, 1925

#### Größe und Figur der Erde



Zweite Näherung: Geoid

Ursachen für Formänderung:

 Inhomogenitäten im Untergrund

Geoid ist Äquipotentialfläche, Schwerefeld des Geoids weicht von Normalschwere ab

Vermessung des Geoids gibt also Informationen über Verteilung der Massen im Untergrund

∆h gegenüber Ellipsoid: +-100 m

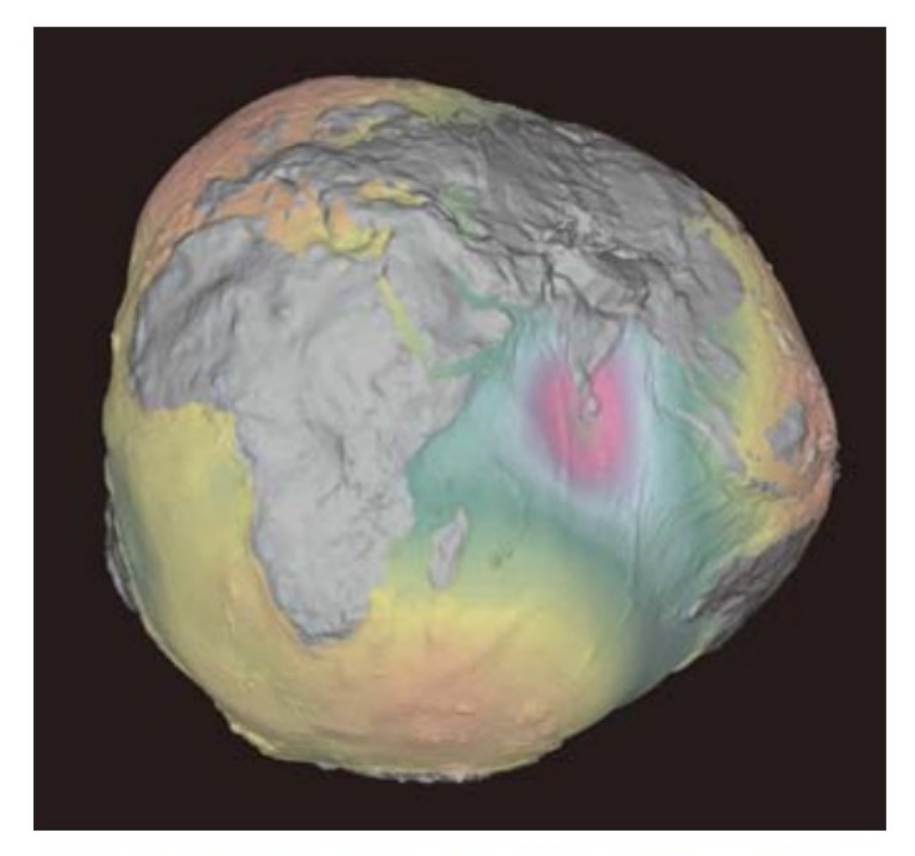
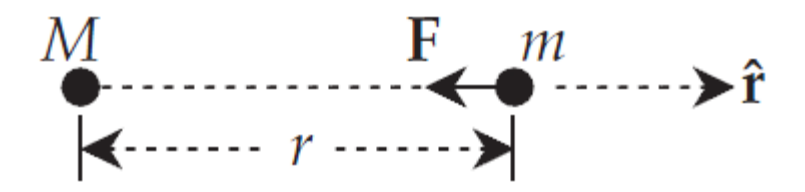


Abb. 1: Das Geoid – die Abweichung der Äquipotentialfläche des Erdschwerefeldes gegenüber dem Rotationsellipsoid in stark überhöhter Darstellung



#### **Schwere**

#### Gravitationsbeschleunigung



Newtons Gravitationsgesetz für zwei Punktmassen M und m im Abstand r:

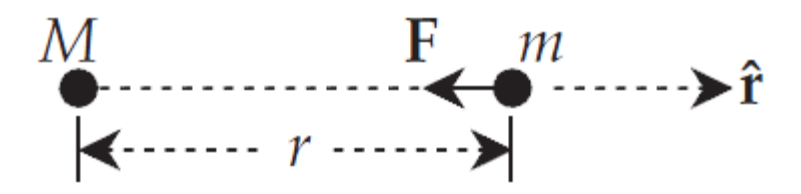
Es wirkt eine Kraft **F** in die entgegengesetzte Richtung von **r**. **r** ist der Einheitsvektor in Richtung steigender r-Achse, die in M ihren Ursprung hat. G ist die Gravitationskonstante.

$$\mathbf{F} = -G \frac{mM}{r^2} \mathbf{\hat{r}}$$

# Karlsruher Institut für Technologie

#### **Schwere**

#### Gravitationsbeschleunigung



Newtons Gravitationsgesetz für zwei Punktmassen M und m im Abstand r:

Es wirkt eine Kraft **F** in die entgegengesetzte Richtung von **r**. **r** ist der Einheitsvektor in Richtung steigender r-Achse, die in M ihren Ursprung hat. G ist die Gravitationskonstante.

$$\mathbf{F} = -G \frac{mM}{r^2} \mathbf{\hat{r}} \qquad \mathbf{a}_{\mathrm{G}} = -G \frac{M}{r^2} \mathbf{\hat{r}}$$
 Gravitationsbeschleunigung  $\mathbf{a}_{\mathrm{G}}$ 



## Gravitationsbeschleunigung a<sub>G</sub>

$$\mathbf{a}_{\mathrm{G}} = -G \frac{M}{r^2} \mathbf{\hat{r}}$$

$$\mathbf{a_g}(\mathbf{r}) = \mathbf{a_g}(\mathbf{r}_E) \left(\frac{\mathbf{r}_E^2}{\mathbf{r}^2}\right) \qquad \mathbf{r} \geq \mathbf{r}_E$$

$$\mathbf{a_g}(\mathbf{r}) = \mathbf{a_g}(\mathbf{r_E}) \frac{\mathbf{r}}{\mathbf{r_F}}$$
  $\mathbf{r} < \mathbf{r_E}$ .

## Gravitationsbeschleunigung a<sub>G</sub>



Springer Spektrur

$$\mathbf{a}_{\mathrm{G}} = -G \frac{M}{r^2} \mathbf{\hat{r}}$$

$$\mathbf{a_g}(\mathbf{r}) = \mathbf{a_g}(\mathbf{r_E}) \left(\frac{\mathbf{r_E}^2}{\mathbf{r}^2}\right)$$

$$\mathbf{a_g}(\mathbf{r}) = \mathbf{a_g}(\mathbf{r_E}) \frac{\mathbf{r}}{\mathbf{r_E}}$$



Außerhalb und auf der Oberfläche einer homogenen Erdkugel ( $r \geq r_E$ ) gleicht das Gravitationspotenzial also dem einer gleich großen Punktmasse im Kugelmittelpunkt. Die zugehörige Gravitationsbeschleunigung  $a_g$  erhält man hieraus durch Ableiten nach r:

$$a_g(r) = -\frac{dU_g}{dr} \boldsymbol{\hat{r}} = -G \frac{M_E}{r^2} \boldsymbol{\hat{r}} = a_g(r_E) \left(\frac{r_E^2}{r^2}\right); \quad r \geq r_E \; , \eqno(4.13)$$

mit der Gravitationsbeschleunigung an der Erdoberfläche:

$$a_{\rm g}(r_{\rm E}) = -G \frac{M_{\rm E}}{r_{\rm E}^2} \hat{\bf r} \ .$$
 (4.14)

Zur Berechnung des Gravitationspotenzials für innere Aufpunkte ( $r < r_E$ ) unterteilt man die Kugel in eine innere mit Radius r und eine Kugelschale zwischen r und  $r_E$ . Für die innere Kugel kann das Ergebnis aus (4.12) verwendet werden, wobei  $r_E$  durch r und  $\rho$  durch  $\rho_E$  ersetzt werden muss:

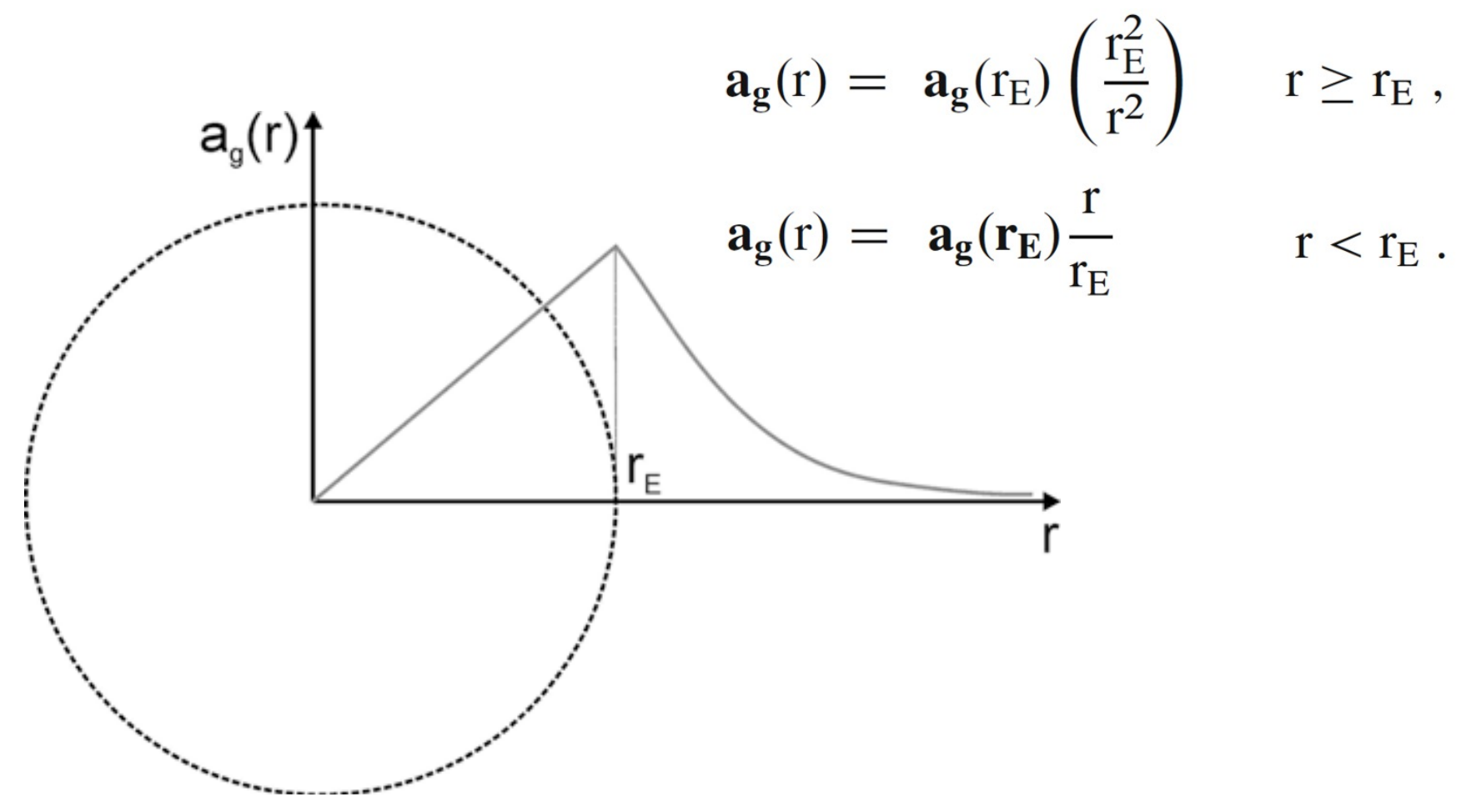
$$\begin{split} U_g(r) &= -G \rho_E \left( \frac{4\pi r^2}{3} + \frac{2\pi}{r} \left( \int\limits_r^{r_E} r_M \int\limits_{r_M - r}^{r_M + r} dr' \right) dr_M \right) \\ &= -2\pi G \rho_E \left( r_E^2 - \frac{r^2}{3} \right) \; ; \quad r < r_E \; . \end{split} \tag{4.15}$$

Hieraus erhält man die zugehörige Gravitationsbeschleunigung  $a_{\rm g}$ :

$$a_g(r) = -\frac{dU_g}{dr}\hat{\mathbf{r}} = -\frac{4\pi}{3}\rho Gr\hat{\mathbf{r}} = \underbrace{-G\frac{M_E}{r_E^3}r\hat{\mathbf{r}}}_{\text{mit }V=4\pi r_E^3/3} = a_g(\mathbf{r}_E)\frac{r}{r_E} \;. \label{eq:ag}$$



## Gravitationsbeschleunigung a<sub>G</sub>





Betrachtet wird bisher nur Gravitation, ohne Rotation!

Was passiert mit einem Körper der Masse m, der durch das

Innere der Erde fällt? (Übungsaufgabe)

Gravitationsfeld im Inneren der Erde (konstante Dichte):

$$g(r) = g_o \cdot \begin{cases} \frac{r}{R_E} & r \leq R_E \\ \frac{R_E^2}{r^2} & r \geq R_E \end{cases}$$

R<sub>F</sub>: Erdradius

R: Abstand des Körpers zum

Mittelpunkt

g<sub>0</sub>: Gravitationsbeschleunigung



Der Körper erfährt eine beschleunigende Kraft F<sub>B</sub> zum Mittelpunkt:

$$F_B = -m g(r) = -m g_0 r / R_{E}$$

Außerdem wirkt auf den Körper die Newtonsche Trägheitskraft

$$F_T = m r''$$



Gleichgewicht beider Kräfte → Gleichsetzen beider Formeln

$$r'' + g_0 r / R_E = 0.$$

Schwingungsgleichung mit der Kreisfrequenz  $\omega = 2 \pi / T$ , wobei T die Periode der Schwingung ist:

$$r'' + \omega^2 r = 0$$



Gleichgewicht beider Kräfte → Gleichsetzen beider Formeln

$$r'' + g_0 r / R_E = 0.$$

Schwingungsgleichung mit der Kreisfrequenz  $\omega = 2 \pi / T$ , wobei T die Periode der Schwingung ist:

$$r'' + \omega^2 r = 0$$

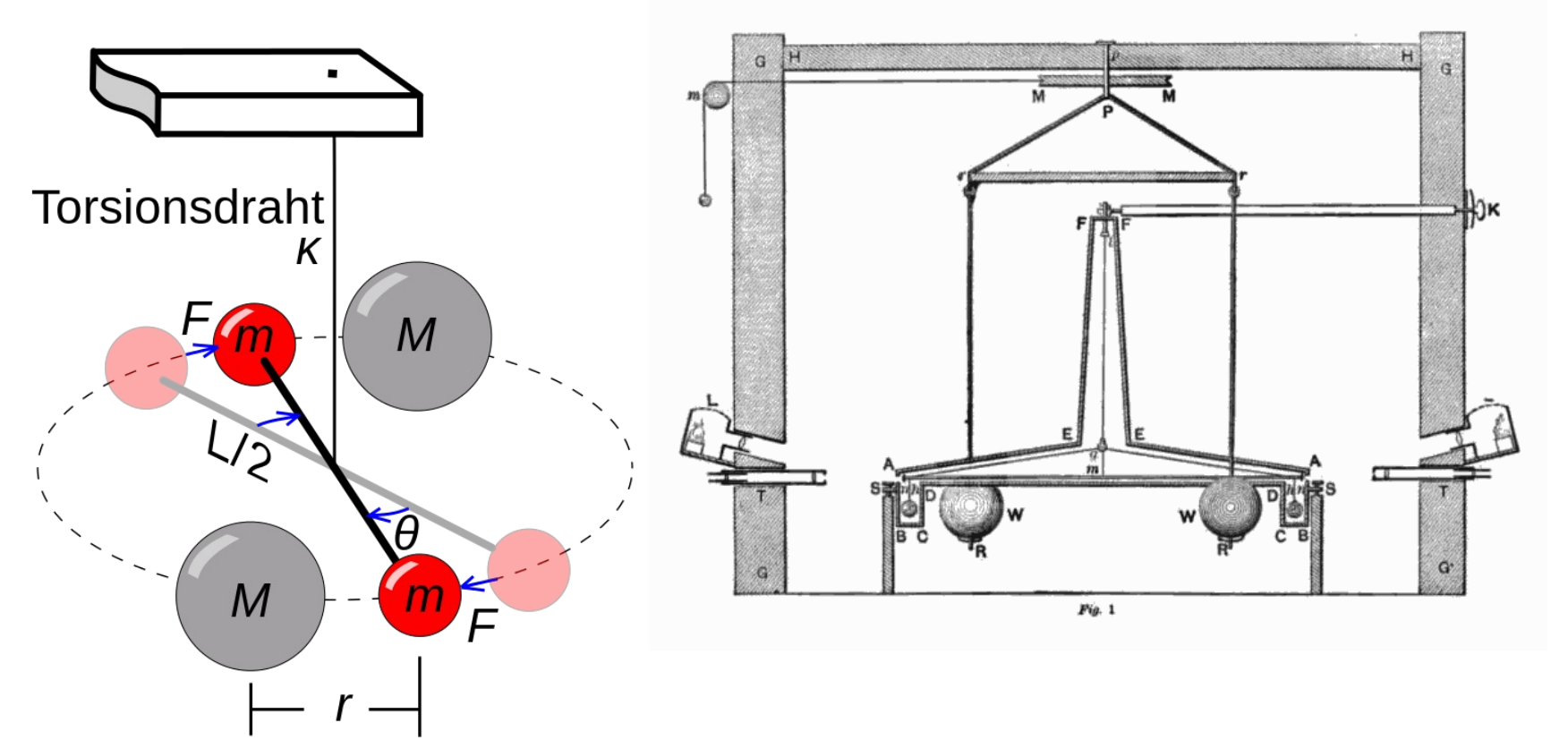
Lösen durch Einsetzen der Randbedingungen

$$r(0) = R_E \text{ und } v(R_E) = 0$$
  $\rightarrow$  periodische Lösung



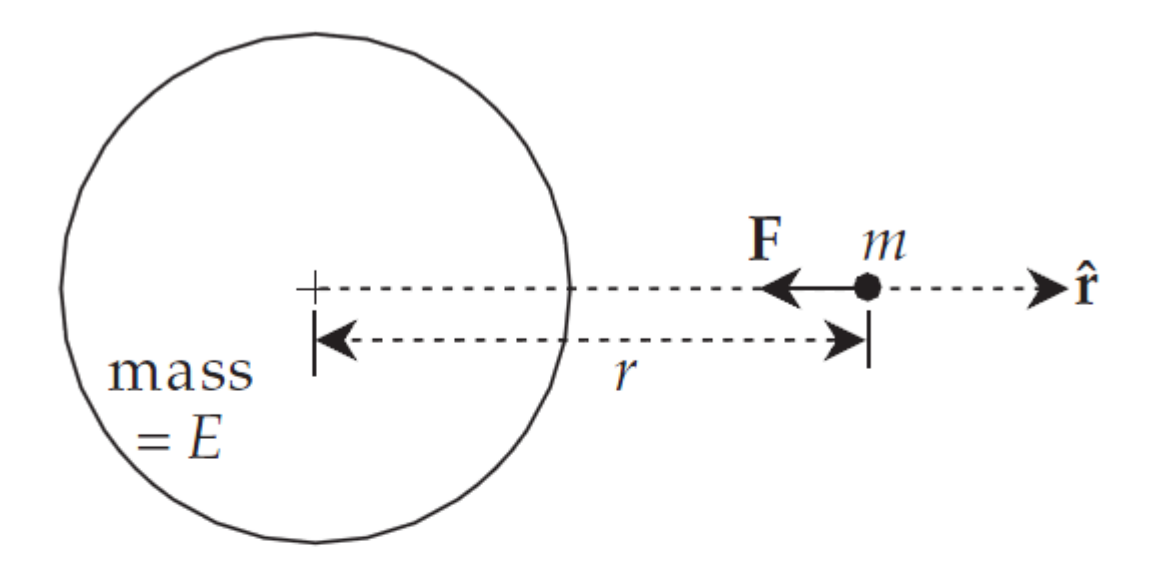
Gravitationskonstante G: Konnte erst von Charles Cavendish (1731 – 1810)

bestimmt werden



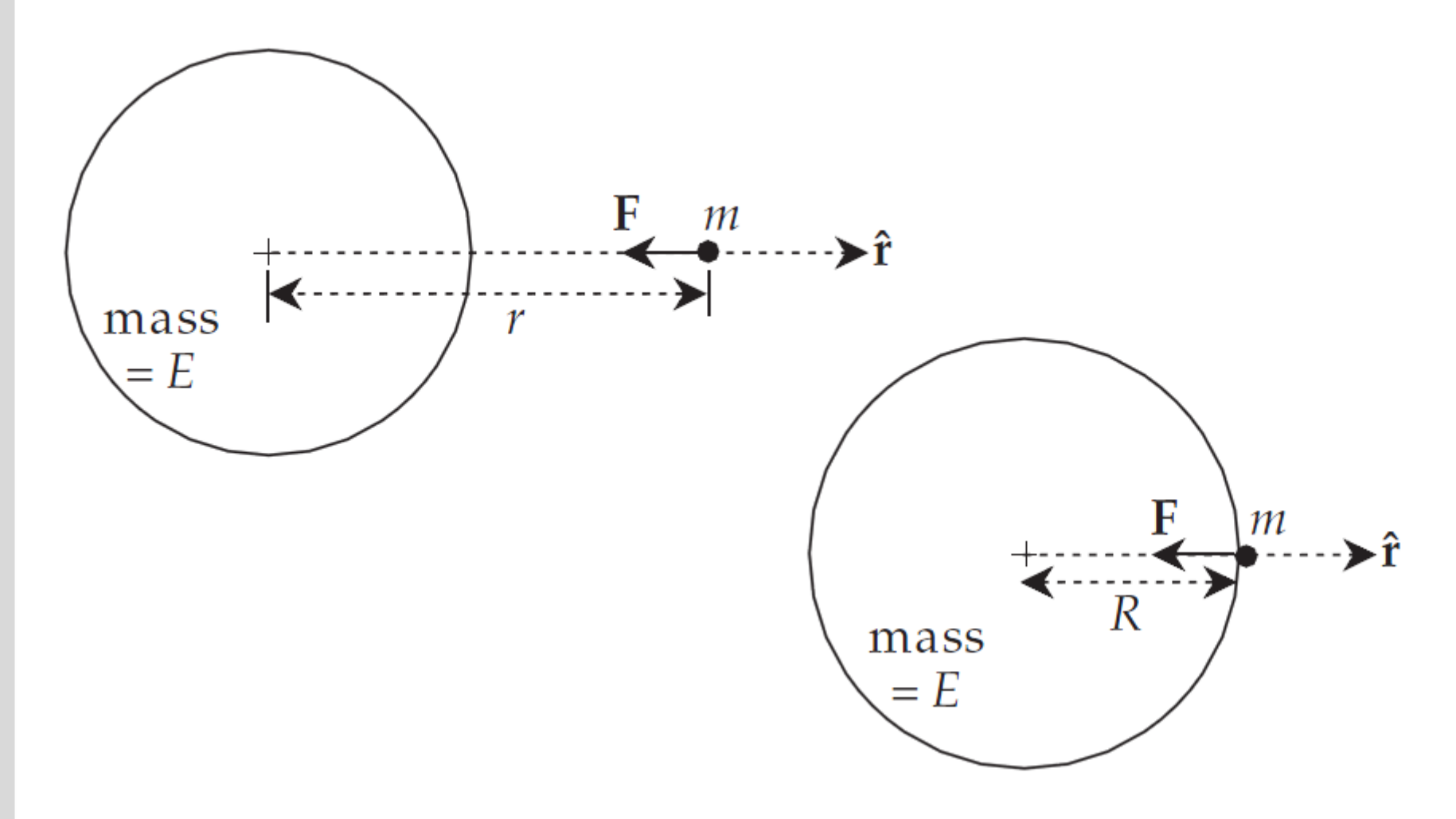


## **Gravitation** Erde: Ausgedehnte Masse

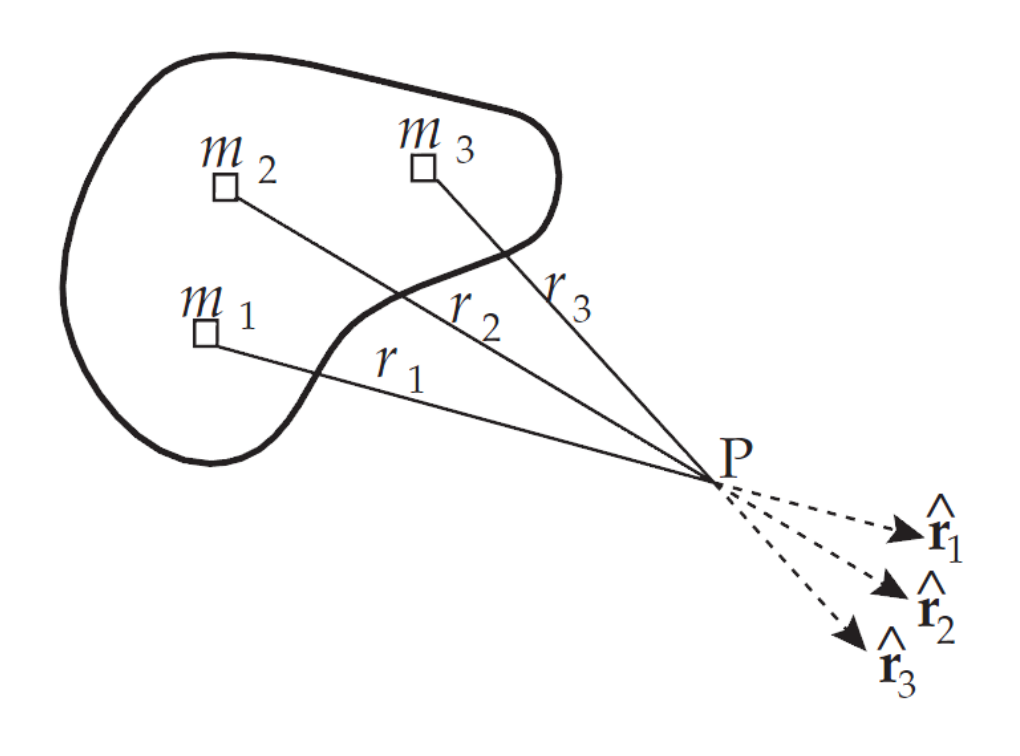




## **Gravitation** Erde: Ausgedehnte Masse



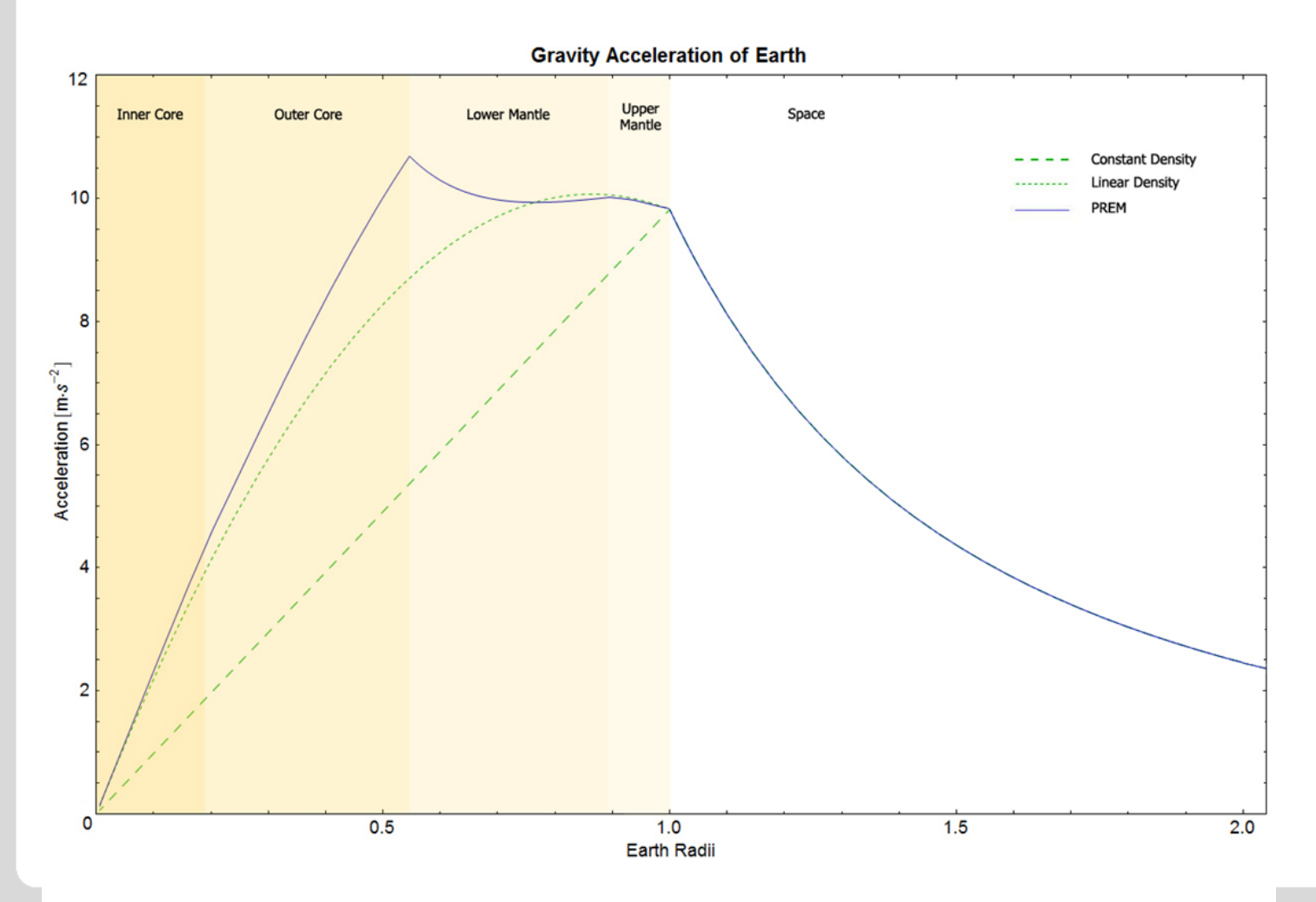
## **Gravitation** Erde: Ausgedehnte Masse



$$\mathbf{a}_{G} = -G \frac{m_{1}}{r_{1}^{2}} \mathbf{\hat{r}}_{1} - G \frac{m_{2}}{r_{2}^{2}} \mathbf{\hat{r}}_{2} - G \frac{m_{3}}{r_{3}^{2}} \mathbf{\hat{r}}_{3} - \cdots$$

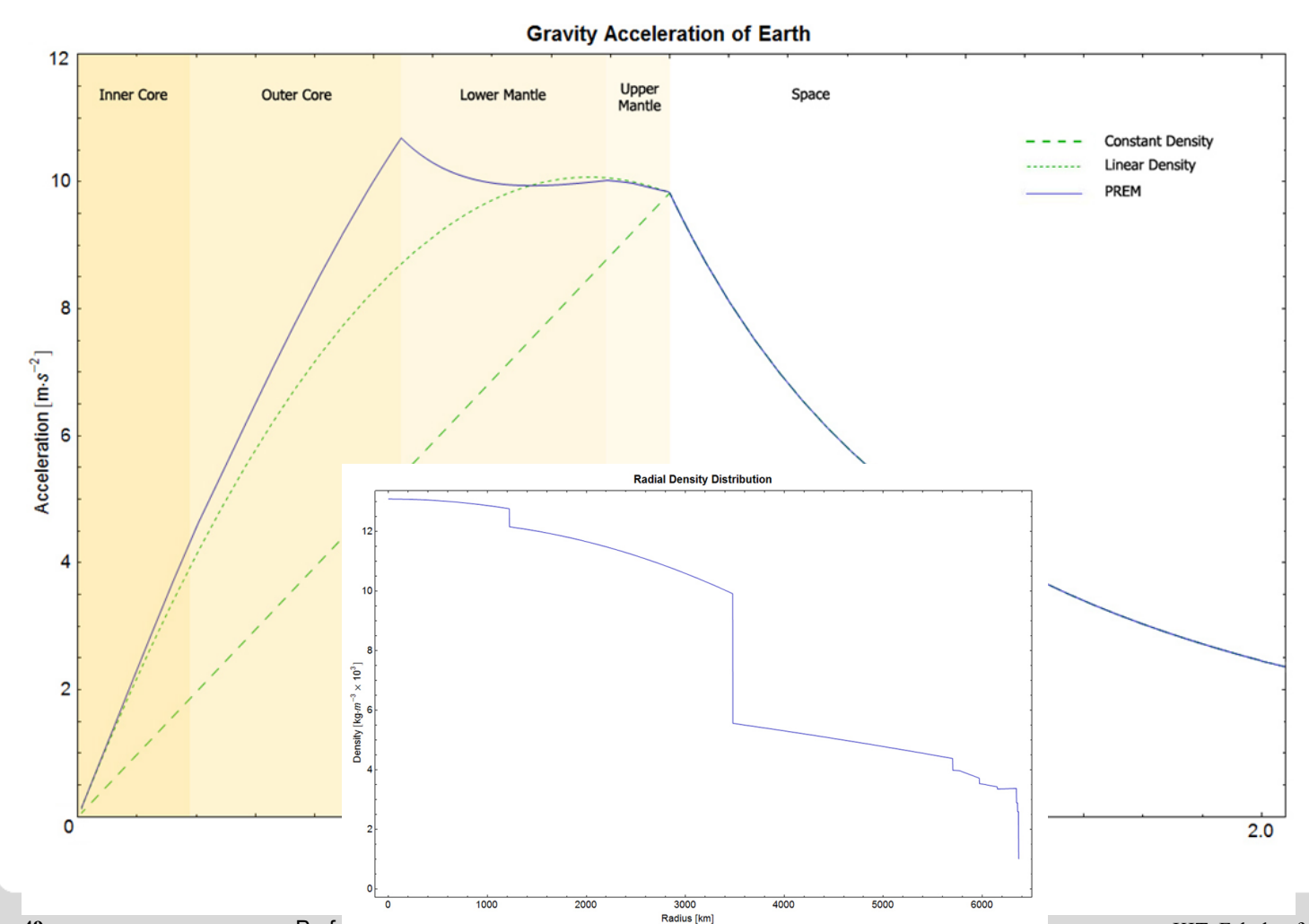


## Erde: Effekt der inhomogenen Dichteverteilung



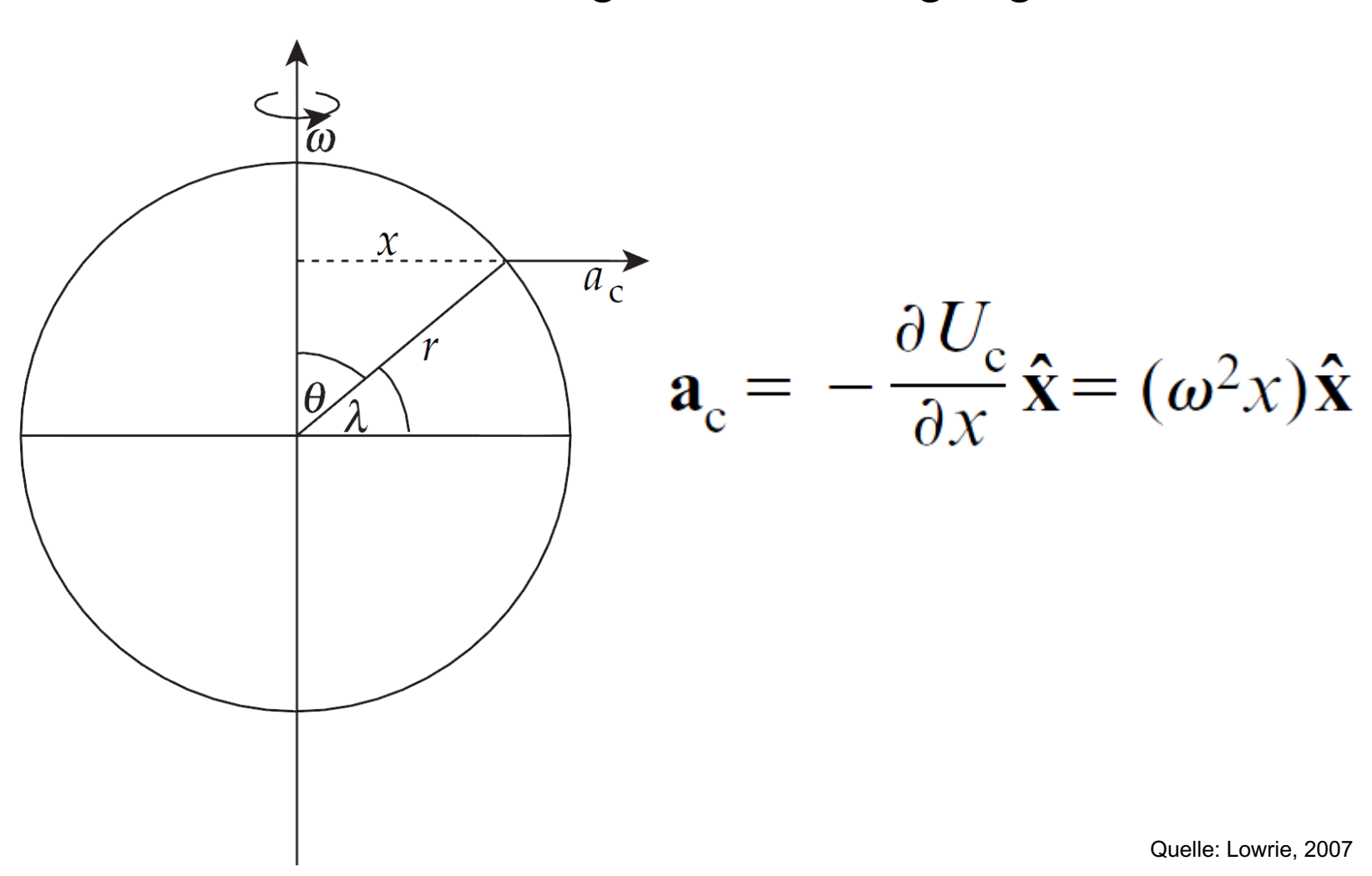


## Erde: Effekt der inhomogenen Dichteverteilung



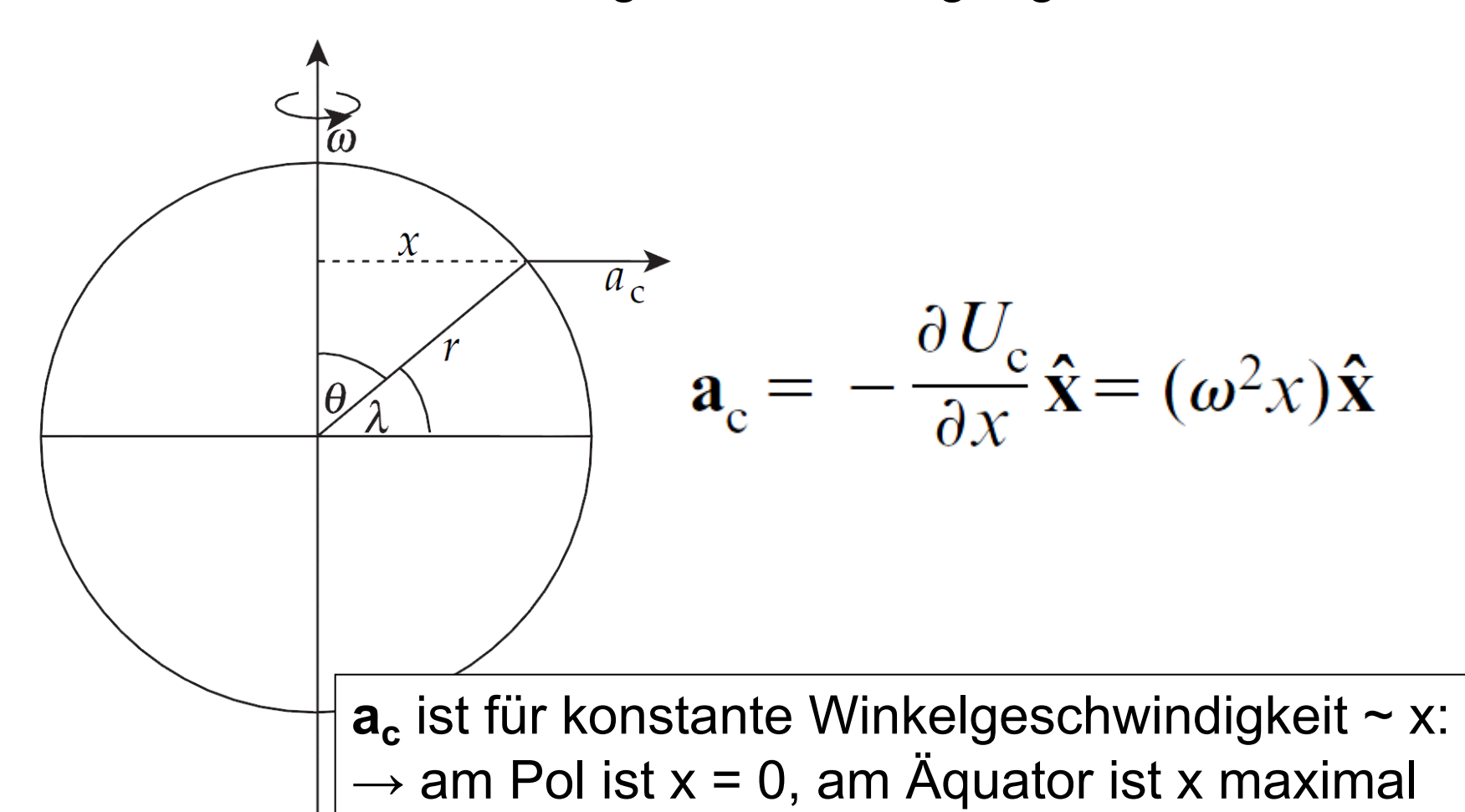
#### **Schwere**

## Rotation der Erde: Zentrifugalbeschleunigung



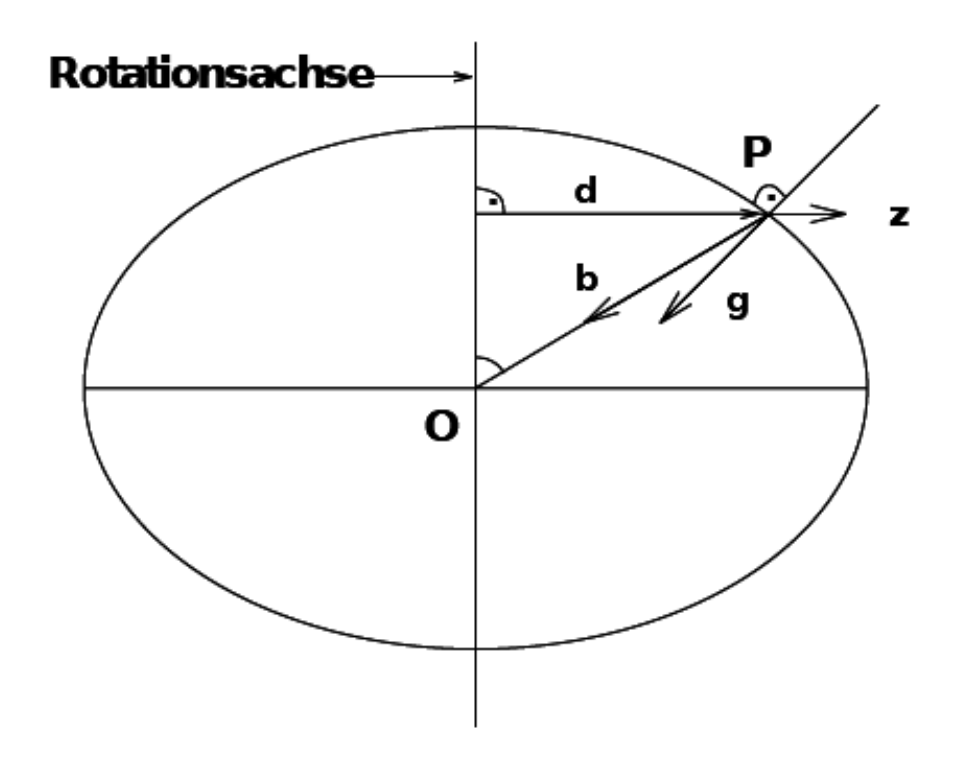


#### Rotation der Erde: Zentrifugalbeschleunigung



#### **Schwere**

Zusammensetzung des Schwerevektors **g** aus Addition der Zentrifugalbeschleunigung (hier **z** und der Gravitations-beschleunigung (hier **b**)





#### Schwere-Werte:

An den Polen :  $g_{pol} = 983,221 \ gal$ 

Am Äquator :  $g_{\text{äqu}} = 978,049 \ gal$ 

$$g_{\rm pol} - g_{\rm \ddot{a}qu} = 5,172 \ gal$$

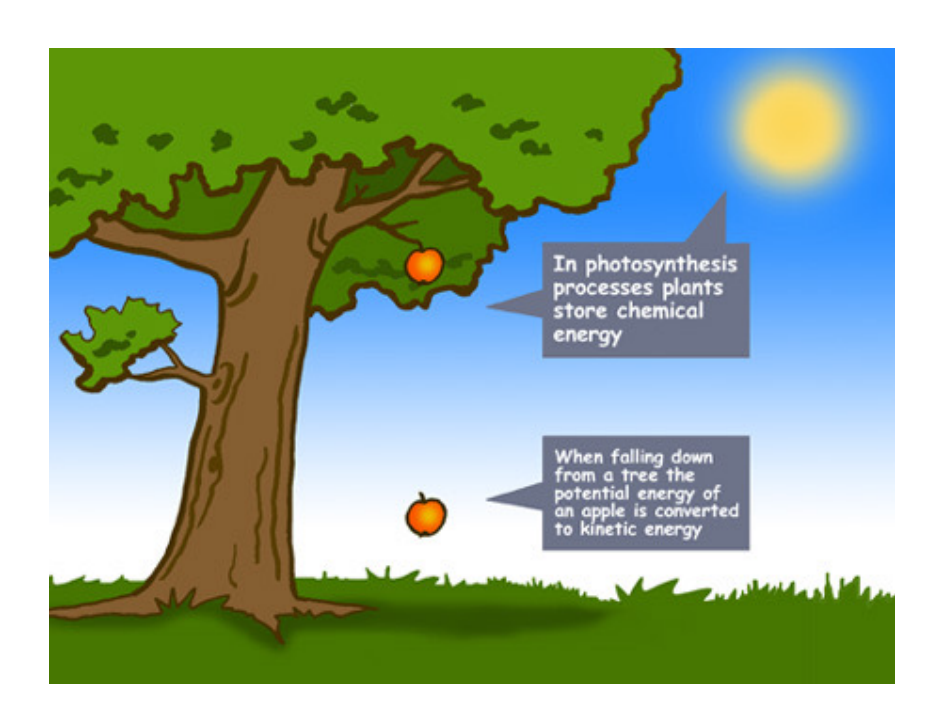
Einheiten: 1  $cm/s^2 = 0,01$   $m/s^2 = 1$  gal = 1000 mgal (cgs-Einheit, benannt nach Galileo Galilei)

Quelle: Wenzel



#### **Gravitationspotential**

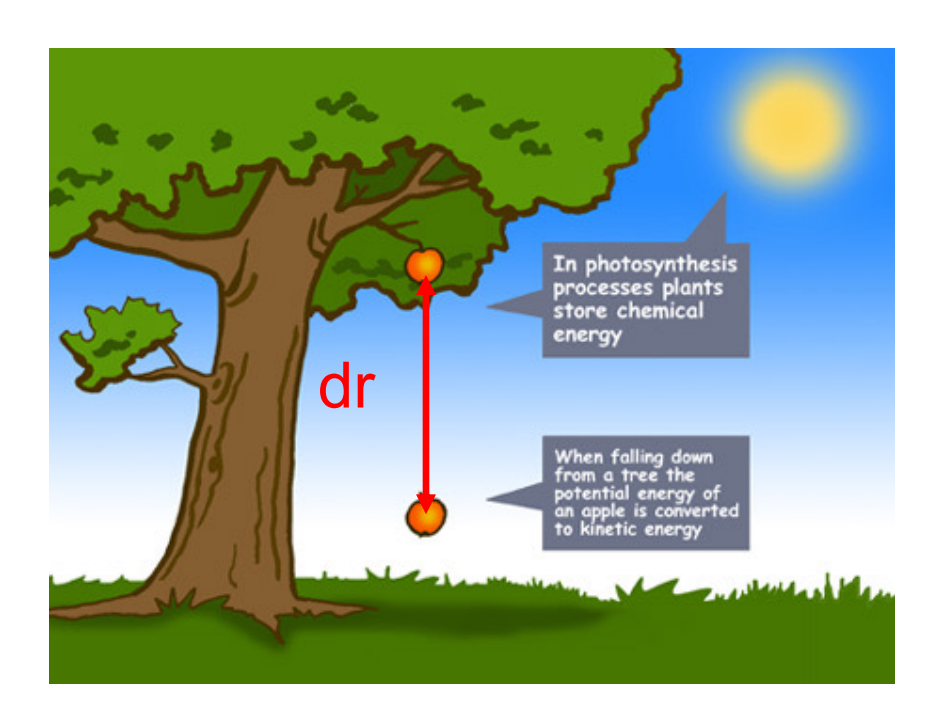
## Betrachtung der Potentiale



$$dE_p = -dW = -Fdr$$

#### Gravitationspotential

#### Betrachtung der Potentiale

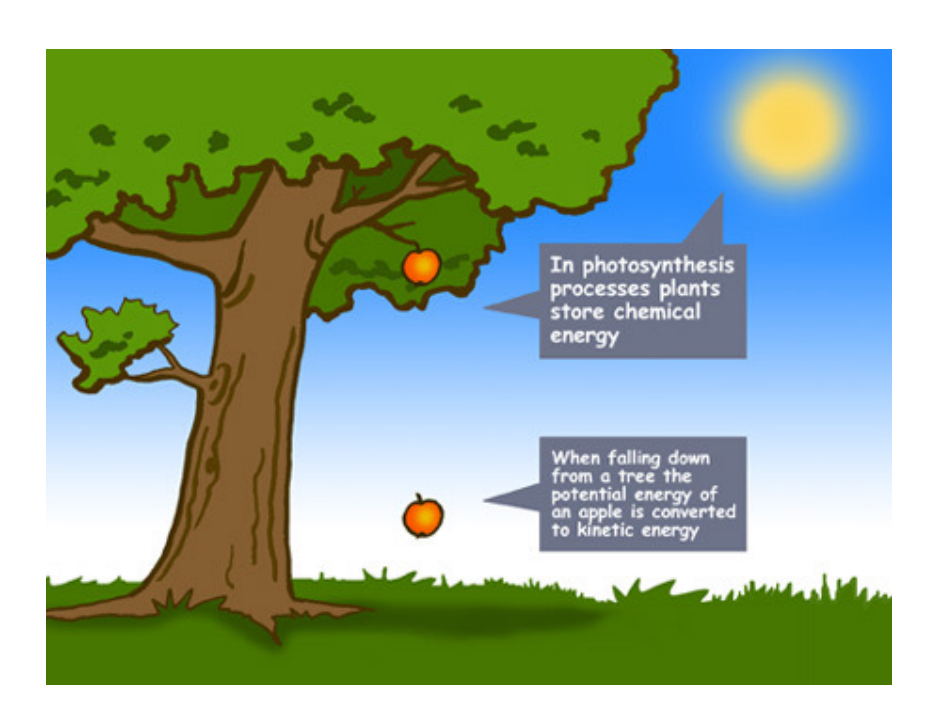


$$dE_{p} = -dW = -Fdr$$

Um eine kleine Änderung der potentiellen Energie E<sub>P</sub> hervorzurufen ("Apfel zurück auf Baum"), muss kleine Arbeit dW geleistet werden, zum Beispiel in Form einer Kraftausübung F entlang eines kleinen Wegs dr

#### Gravitationspotential

#### Betrachtung der Potentiale



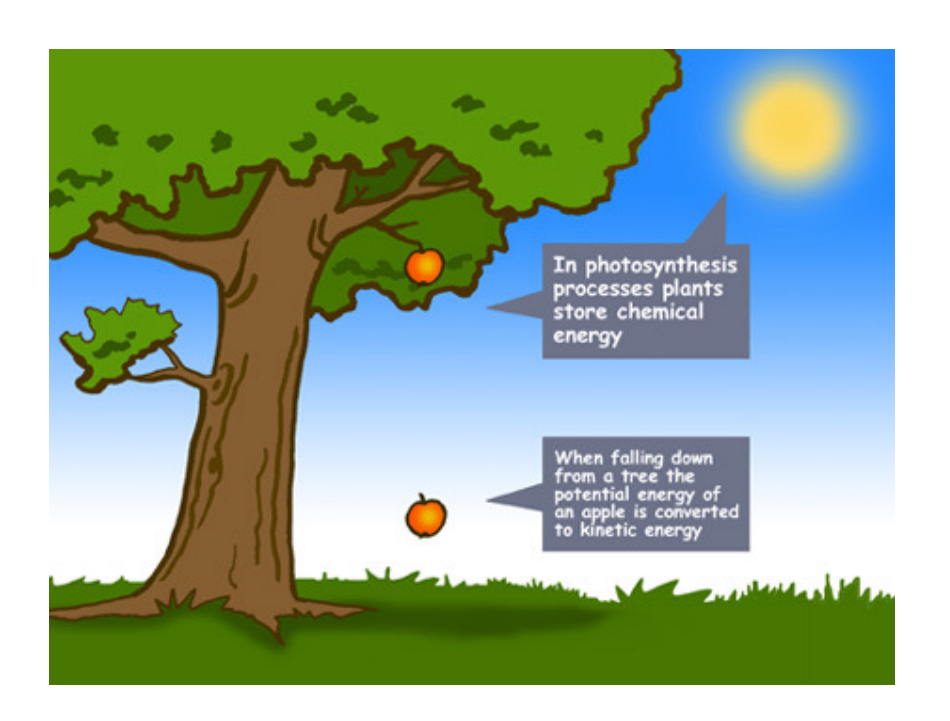
$$dE_{p} = -dW = -Fdr$$

$$E_{\rm p} = m U_{\rm G}$$

Die Energie  $E_P$ , die erforderlich ist, lässt sich durch das Potential  $U_G$  der Masse m ausdrücken ("die Masse hat anschließend eine andere potentielle Energie")

#### Gravitationspotential

#### Betrachtung der Potentiale



$$dE_{p} = -dW = -Fdr$$

$$E_{p} = m U_{G}$$

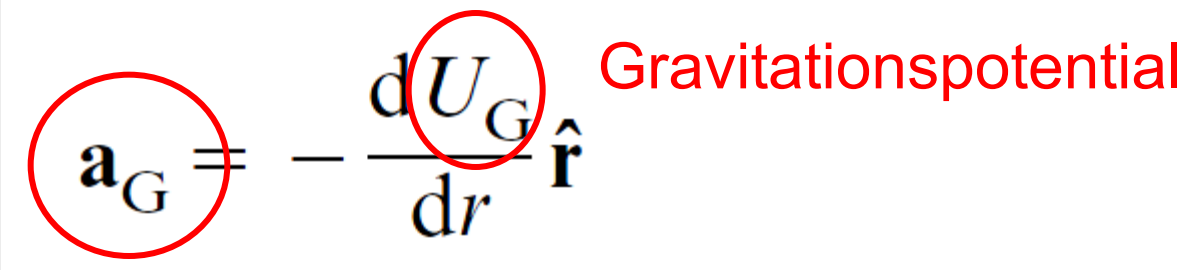
Einsetzen führt zu:

$$m dU_G = F dr = -ma_G dr$$

#### **Gravitationspotential**



Daraus folgt der Zusammenhang:

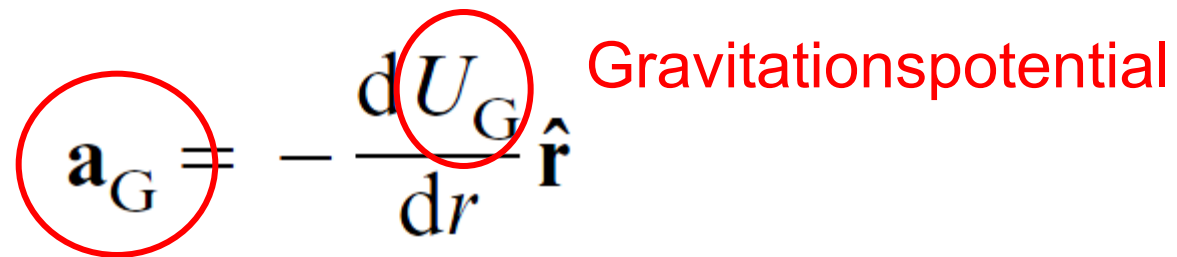


Gravitationsbeschleunigung





Daraus folgt der Zusammenhang:



## Gravitationsbeschleunigung

In kartesische Komponenten zerlegt:

$$a_{x} = -\frac{\partial U_{G}}{\partial x}$$
  $a_{y} = -\frac{\partial U_{G}}{\partial y}$ 

$$a_z = -\frac{\partial U_G}{\partial z}$$





Und mit dem Gravitationsgesetz lässt sich das Gravitationspotential einer Punktmasse schreiben als

$$U_{\rm G} = -G\frac{M}{r}$$





Ausgedehnte Masse:

$$U_{G} = -G\frac{m_{1}}{r_{1}} - G\frac{m_{2}}{r_{2}} - G\frac{m_{3}}{r_{3}} - \cdots$$

## Gravitationspotential

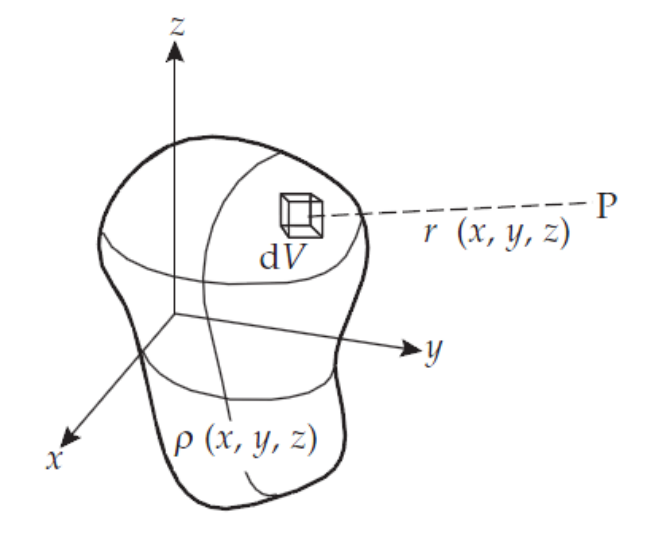


Ausgedehnte Masse:

$$U_{G} = -G\frac{m_{1}}{r_{1}} - G\frac{m_{2}}{r_{2}} - G\frac{m_{3}}{r_{3}} - \cdots$$

Für einen Punkt P in Entfernung r vom ausgedehnten Körper gilt:

$$U_{G} = -G \int_{x} \int_{y} \int_{z} \frac{\rho(x,y,z)}{r(x,y,z)} dx dy dz$$



## Gravitationspotential



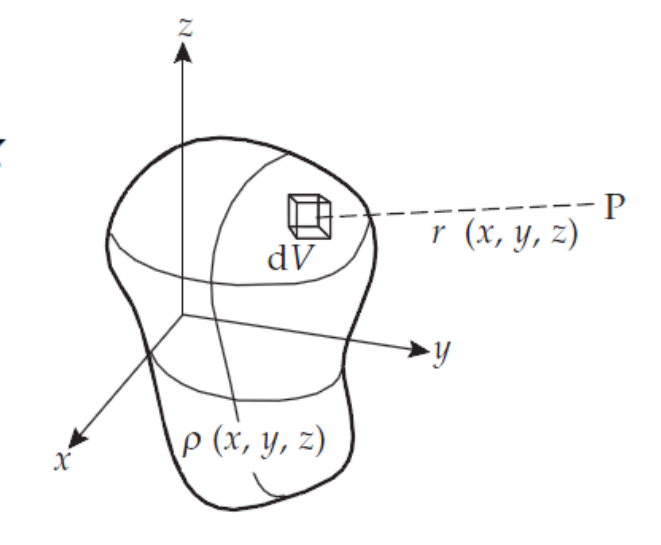
Ausgedehnte Masse:

$$U_{G} = -G\frac{m_{1}}{r_{1}} - G\frac{m_{2}}{r_{2}} - G\frac{m_{3}}{r_{3}} - \cdots$$

Für einen Punkt P in Entfernung r vom ausgedehnten Körper gilt:

$$U_{G} = -G \int_{x} \int_{y} \int_{z} \frac{\rho(x,y,z)}{r(x,y,z)} dx dy dz$$

ortsabhängige (!) Dichte des Körpers



## Zentrifugalpotential

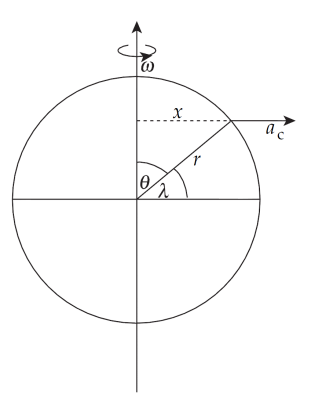


Glücklicherweise lässt sich auch für die Zentrifugalbeschleunigung ein Potential finden:

$$\mathbf{a}_{c} = -\frac{\partial U_{c}}{\partial x} \,\hat{\mathbf{x}} = (\omega^{2} x) \hat{\mathbf{x}}$$

Integration ergibt

$$U_{c} = -\frac{1}{2}\omega^{2}x^{2} = -\frac{1}{2}\omega^{2}r^{2}\cos^{2}\lambda = -\frac{1}{2}\omega^{2}r^{2}\sin^{2}\theta$$





## Schwerepotential U<sub>Gesamt</sub>

Vorteil: Potentiale lassen sich skalar addieren

$$U_{Gesamt} = U_G + U_C$$
$$= -G\frac{M}{r} - \frac{1}{2}\omega^2 x^2$$



Größenordnungen – erforderliche Messgenauigkeit:

 Betrag des Schwerevektors variiert global zwischen 987 gal und 983,3 gal (etwa 5%) → Genauigkeit von einigen mgal ist ausreichend für globale Untersuchungen



Größenordnungen – erforderliche Messgenauigkeit:

- Betrag des Schwerevektors variiert global zwischen 987 gal und 983,3 gal (etwa 5%) → Genauigkeit von einigen mgal ist ausreichend für globale Untersuchungen
- Untersuchung auf regionaler Skala, z. B. Rheingraben und Alpen: Messgenauigkeit 0,1 – 1 mgal



Größenordnungen – erforderliche Messgenauigkeit:

- Betrag des Schwerevektors variiert global zwischen 987 gal und 983,3 gal (etwa 5%) → Genauigkeit von einigen mgal ist ausreichend für globale Untersuchungen
- Untersuchung auf regionaler Skala, z. B. Rheingraben und Alpen: Messgenauigkeit 0,1 – 1 mgal
- Kleinräumige Untersuchungen wie z. B. Salzstöcke, andere Lagerstätten oder tektonische Störungen: 0,01 mgal



Größenordnungen – erforderliche Messgenauigkeit:

- Betrag des Schwerevektors variiert global zwischen 987 gal und 983,3 gal (etwa 5%) → Genauigkeit von einigen mgal ist ausreichend für globale Untersuchungen
- Untersuchung auf regionaler Skala, z. B. Rheingraben und Alpen: Messgenauigkeit 0,1 – 1 mgal
- Kleinräumige Untersuchungen wie z. B. Salzstöcke, andere Lagerstätten oder tektonische Störungen: 0,01 mgal
- Untersuchung zeitlicher Variationen: 0,001 mgal



Größenordnungen – erforderliche Messgenauigkeit:

- Betrag des Schwerevektors variiert global zwischen 987 gal und 983,3 gal (etwa 5%) → Genauigkeit von einigen mgal ist ausreichend für globale Untersuchungen
- Untersuchung auf regionaler Skala, z. B. Rheingraben und Alpen: Messgenauigkeit 0,1 – 1 mgal
- Kleinräumige Untersuchungen wie z. B. Salzstöcke, andere Lagerstätten oder tektonische Störungen: 0,01 mgal
- Untersuchung zeitlicher Variationen: 0,001 mgal

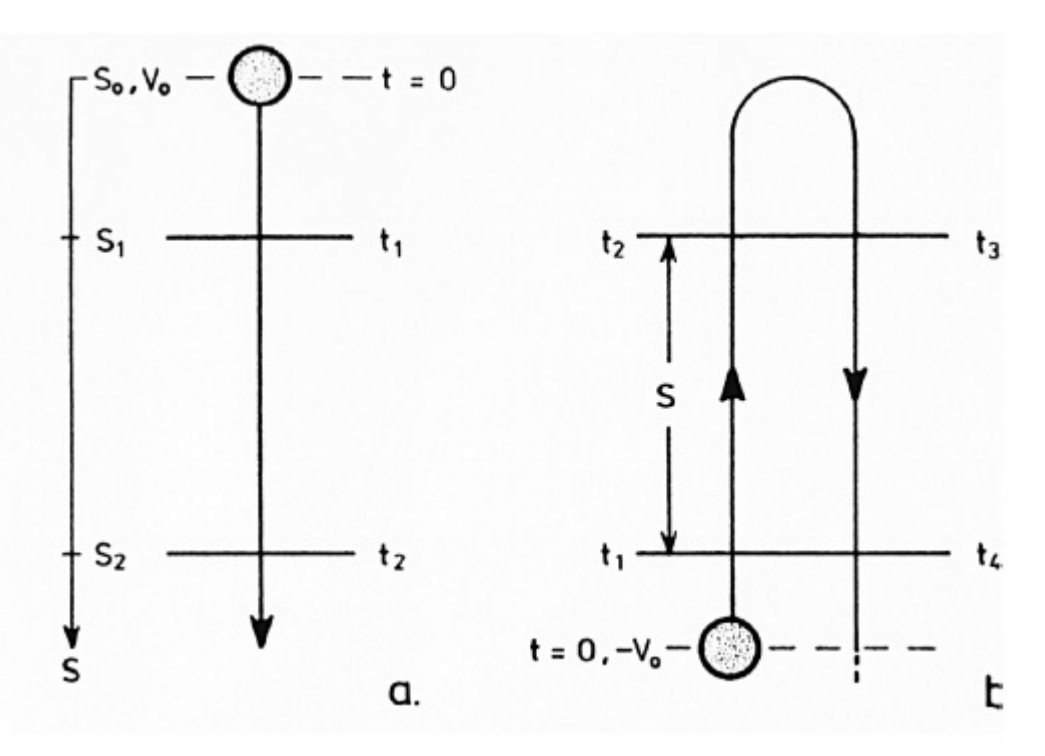
Aus Vorlesung Einführung in die Geophysik 1:

Messwerte müssen reduziert werden, d.h. Einflussfaktoren geographischer Breite, von großräumigen Gebirgen und Tälern etc. entfernt werden, um lokale Anomalie zu erhalten.

## Schweremessungen - Absolutmessungen

Neuere Absolutmessungen von g beruhen auf dem freien Fall eines Objektivs:

- a) Freifall-Methode,
- b) Freiwurf- und Freifall-Methode

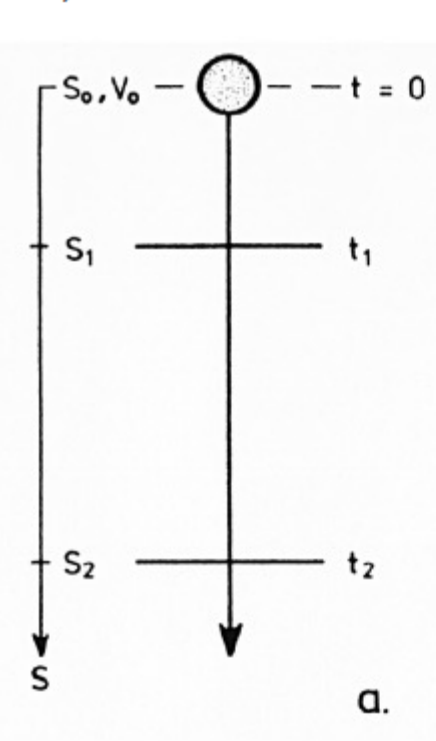


Quelle: Wenzel

## Schweremessungen - Absolutmessungen

Neuere Absolutmessungen von g beruhen auf dem freien Fall eines Objektivs:

- a) Freifall-Methode,
- b) Freiwurf- und Freifall-Methode



Für die beim freien Fall in der Zeit  $t_i$  zurückgelegte Strecke  $s_i$  gilt:

$$s_i = \frac{1}{2}gt_i^2$$

Hieraus folgt direkt:

$$g = 2 \cdot \frac{s_2 - s_1}{t_2^2 - t_1^2}$$

Neu: Quantengravimeter!

Quelle: Wenzel

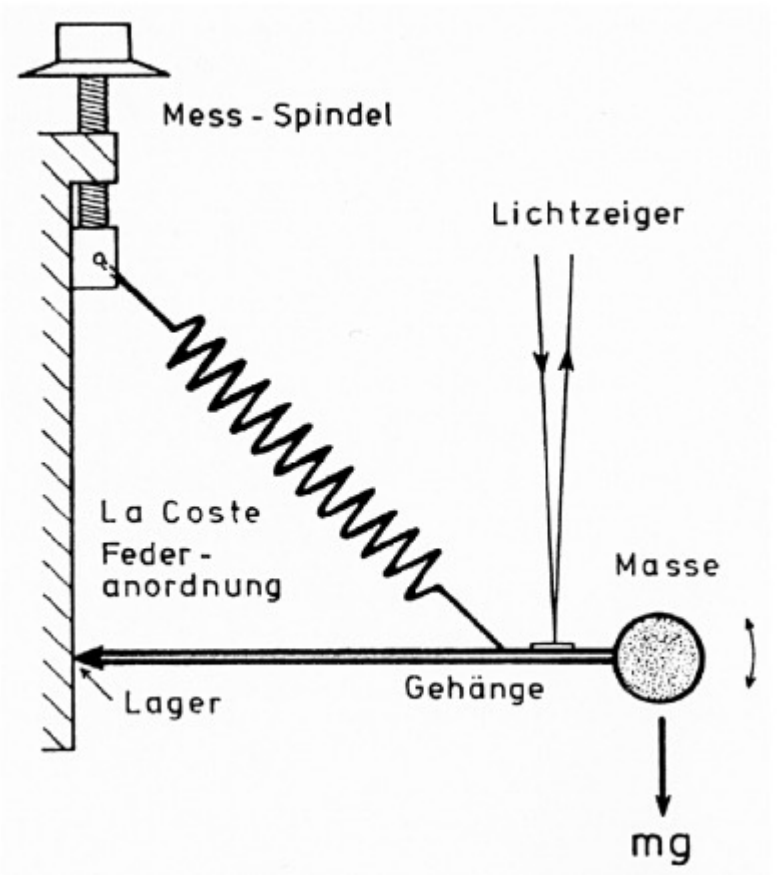


# Schweremessungen - Relativmessungen

Messung von Schweredifferenzen erfordert weniger Aufwand und ist etwa um

zwei Größenordnungen genauer!

Prinzip eines Gravimeters (Federwaage):



Quelle: Wenzel

## Schweremessungen - Satellitenmessungen

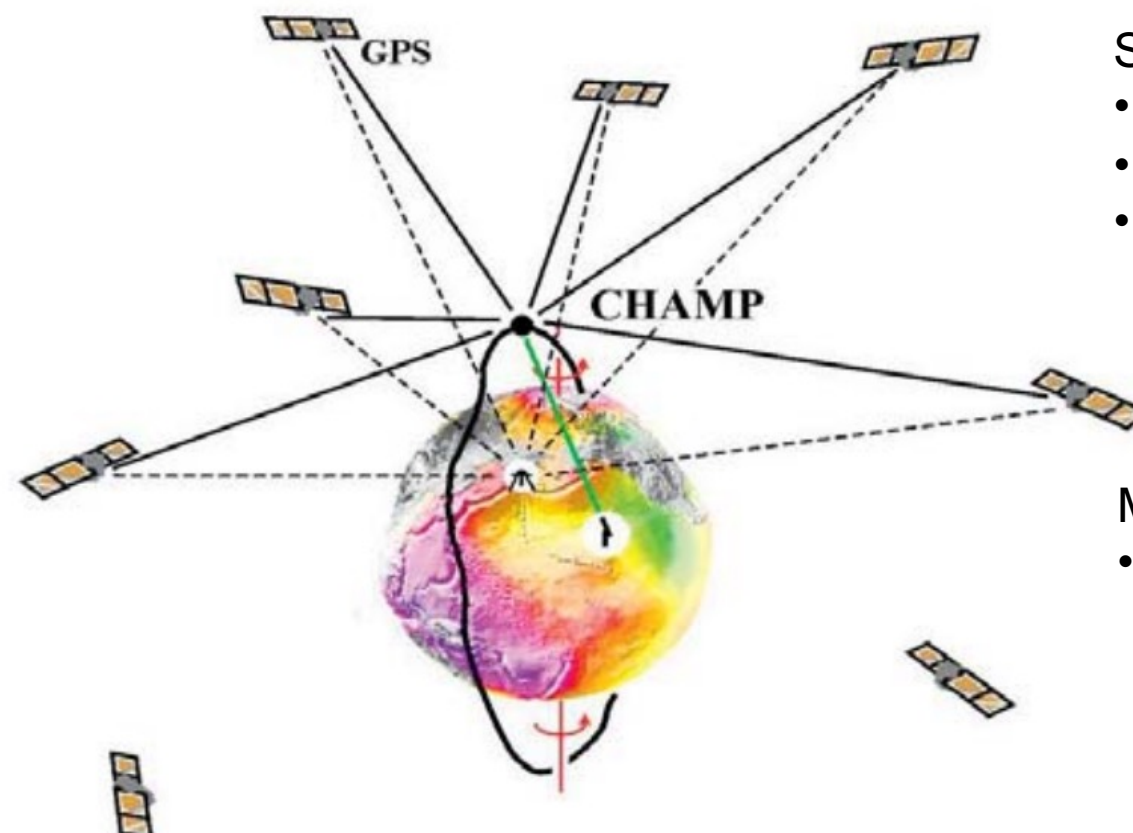


Abb. 2: Prinzip der Ausmessung der Bahn des Satelliten CHAMP mit den Signalen der GPS-Satelliten und mit bodengestütztem Laserradar.

Quelle: Foerste, 2010

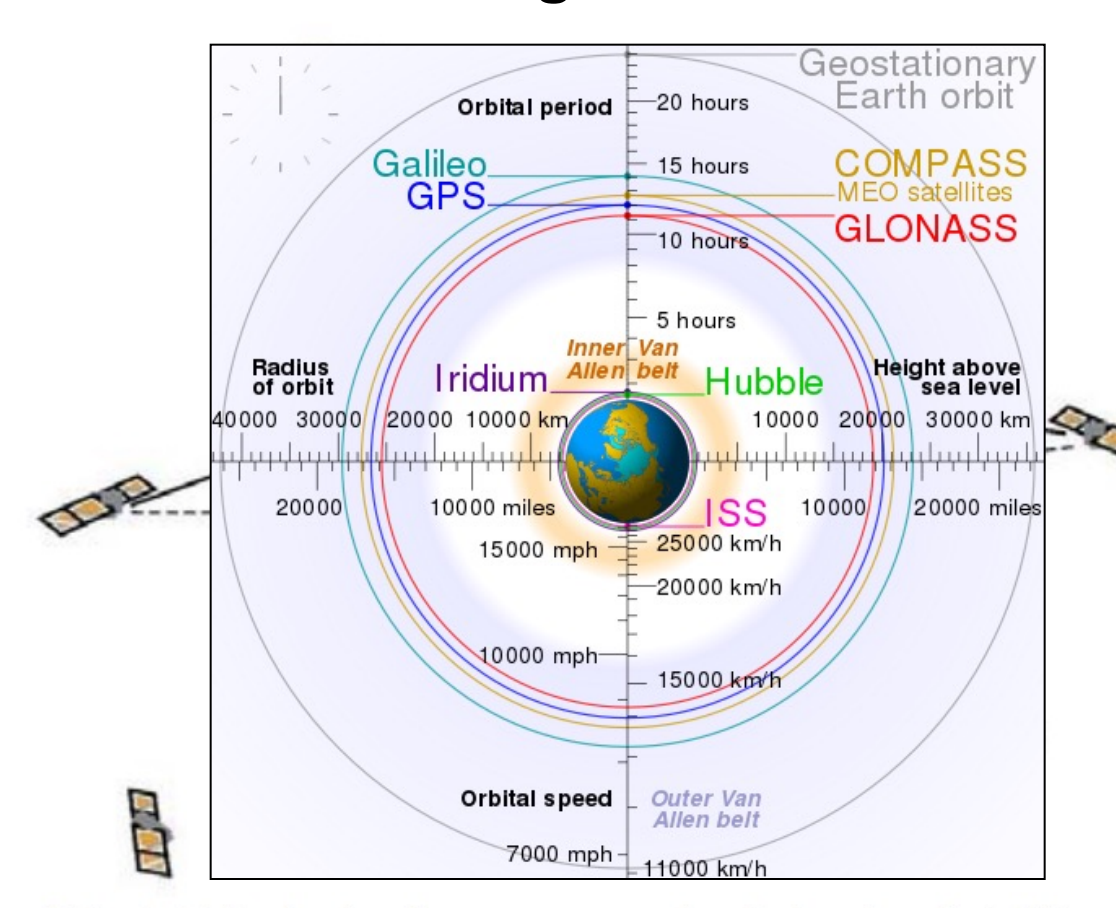
#### Satellit CHAMP

- Einsatzzeit: 2000 2010
- Überflughöhe 450 km
- ca. 15 Erdumläufe pro 24 h

#### Messidee

 Bahnschwankungen des Satelliten wird durch bodengestützte und satellitenbasierte GPS-Systeme überwacht

## Schweremessungen - Satellitenmessungen



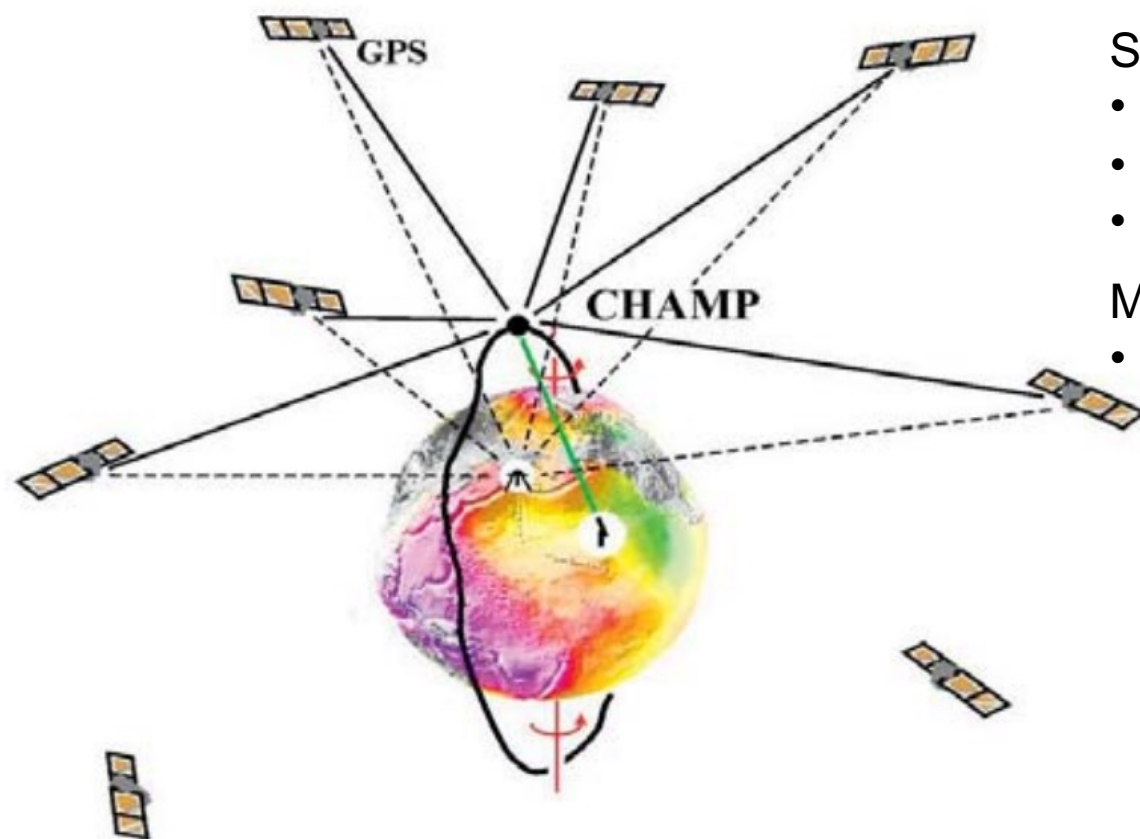
Satellit CHAMP

- Einsatzzeit: 2000 2010
- Überflughöhe 450 km
- ca. 15 Erdumläufe pro 24 h

 $R = (G M_E \cdot T^2/4 \pi^2)^{1/3}$ 

Abb. 2: Prinzip der Ausmessung der Bahn des Satelliten CHAMP mit den Signalen der GPS-Satelliten und mit bodengestütztem Laserradar.

# Schweremessungen - Satellitenmessungen



#### Satellit CHAMP

- Einsatzzeit: 2000 2010
- Überflughöhe 450 km
- ca. 15 Erdumläufe pro 24 h

#### Messidee

Bahnschwankungen des Satelliten wird durch bodengestützte und satellitenbasierte GPS-Systeme überwacht

Abb. 2: Prinzip der Ausmessung der Bahn des Satelliten CHAMP mit den Signalen der GPS-Satelliten und mit bodengestütztem Laserradar.

## Schweremessungen - Satellitenmessungen

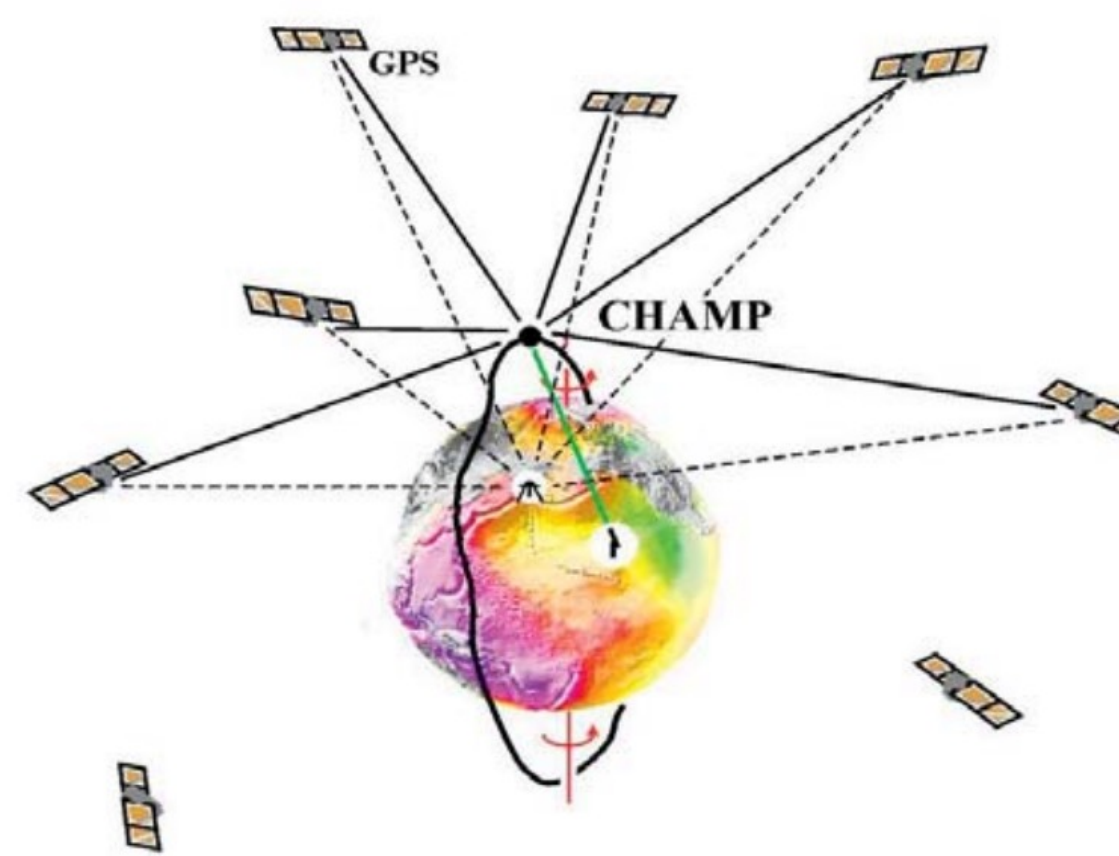


Abb. 2: Prinzip der Ausmessung der Bahn des Satelliten CHAMP mit den Signalen der GPS-Satelliten und mit bodengestütztem Laserradar.

Quelle: Foerste, 2010

#### Satellit CHAMP

- Einsatzzeit: 2000 2010
- Überflughöhe 450 km
- ca. 15 Erdumläufe pro 24 h

#### Messidee

 Bahnschwankungen des
 Satelliten wird durch bodengestützte und satellitenbasierte GPS-Systeme überwacht

Messsensor im schwerelosen Massenschwerpunkt des Satelliten angebracht

## Schweremessungen - Satellitenmessungen

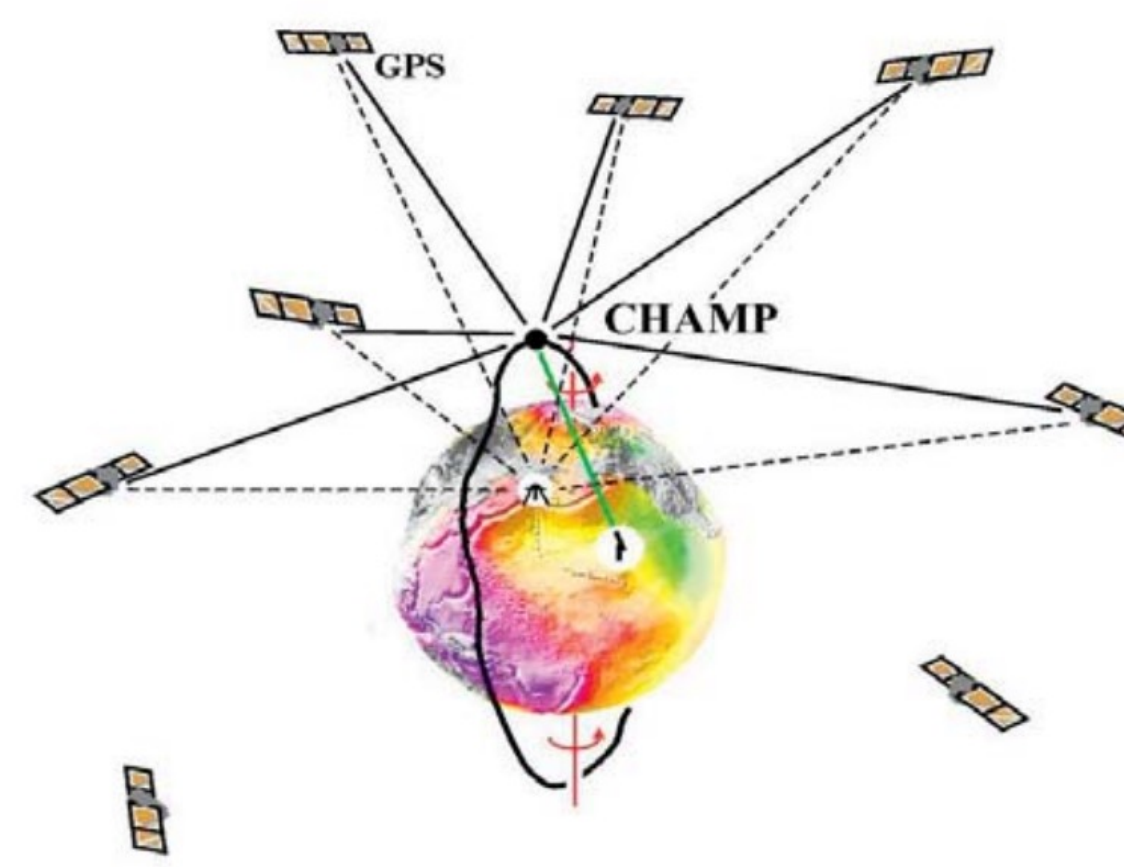


Abb. 2: Prinzip der Ausmessung der Bahn des Satelliten CHAMP mit den Signalen der GPS-Satelliten und mit bodengestütztem Laserradar.

Quelle: Foerste, 2010

#### Satellit CHAMP

- Einsatzzeit: 2000 2010
- Überflughöhe 450 km
- ca. 15 Erdumläufe pro 24 h

#### Messidee

 Bahnschwankungen des
 Satelliten wird durch bodengestützte und satellitenbasierte GPS-Systeme überwacht

Messsensor im schwerelosen Massenschwerpunkt des Satelliten angebracht

Störeinfluss durch niedrige Flughöhe, dort hohe Atmosphärenreibung



#### Satellitenpaar GRACE

- Einsatzzeit: seit 2002
- Überflughöhe 450 -500 km
- ca. 15 Erdumläufe pro 24 h

#### Messidee:

Abstandsmessung zwischen zwei Satelliten, die bei Überflug über Gebirge unterschiedlich starke Beschleunigung / Abbremsung erfahren

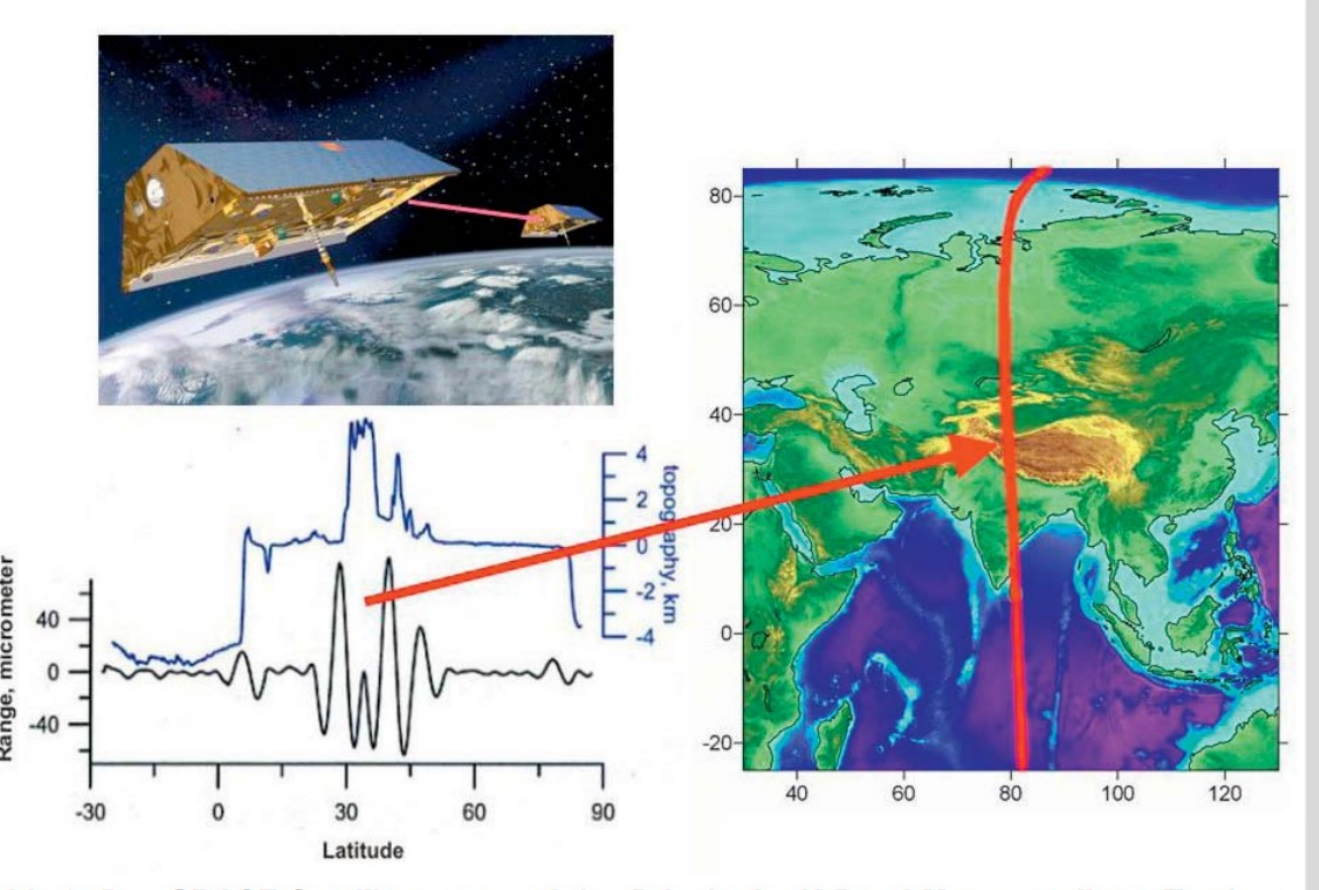


Abb. 3: Das GRACE-Satellitenpaar und das Prinzip der K-Band-Messung dieser Tandem-Satellitenmission

# Schweremessungen - Satellitenmessungen

#### Satellit GOCE

- Einsatzzeit: 2009 -2013
- Überflughöhe 250 km
- Bessere Auflösung als GRACE und CHAMP, aber durch stärkere Reibung stärkere Abbremsung, kürzere Laufzeit



Abb. 4: Künstlerische Animation des Satelliten GOCE (Quelle: ESA - AOES Medialab)

## Schweremessungen - Satellitenmessungen

#### Satellit GOCE

- Einsatzzeit: 2009 -2013
- Überflughöhe 250 km
- Bessere Auflösung als GRACE und CHAMP, aber durch stärkere Reibung stärkere Abbremsung, kürzere Laufzeit

Messprinzip:
Keine
Bahnschwankungen,
sondern direkte
Messung des Gradienten
des Erdschwerefelds



Abb. 4: Künstlerische Animation des Satelliten GOCE (Quelle: ESA - AOES Medialab)



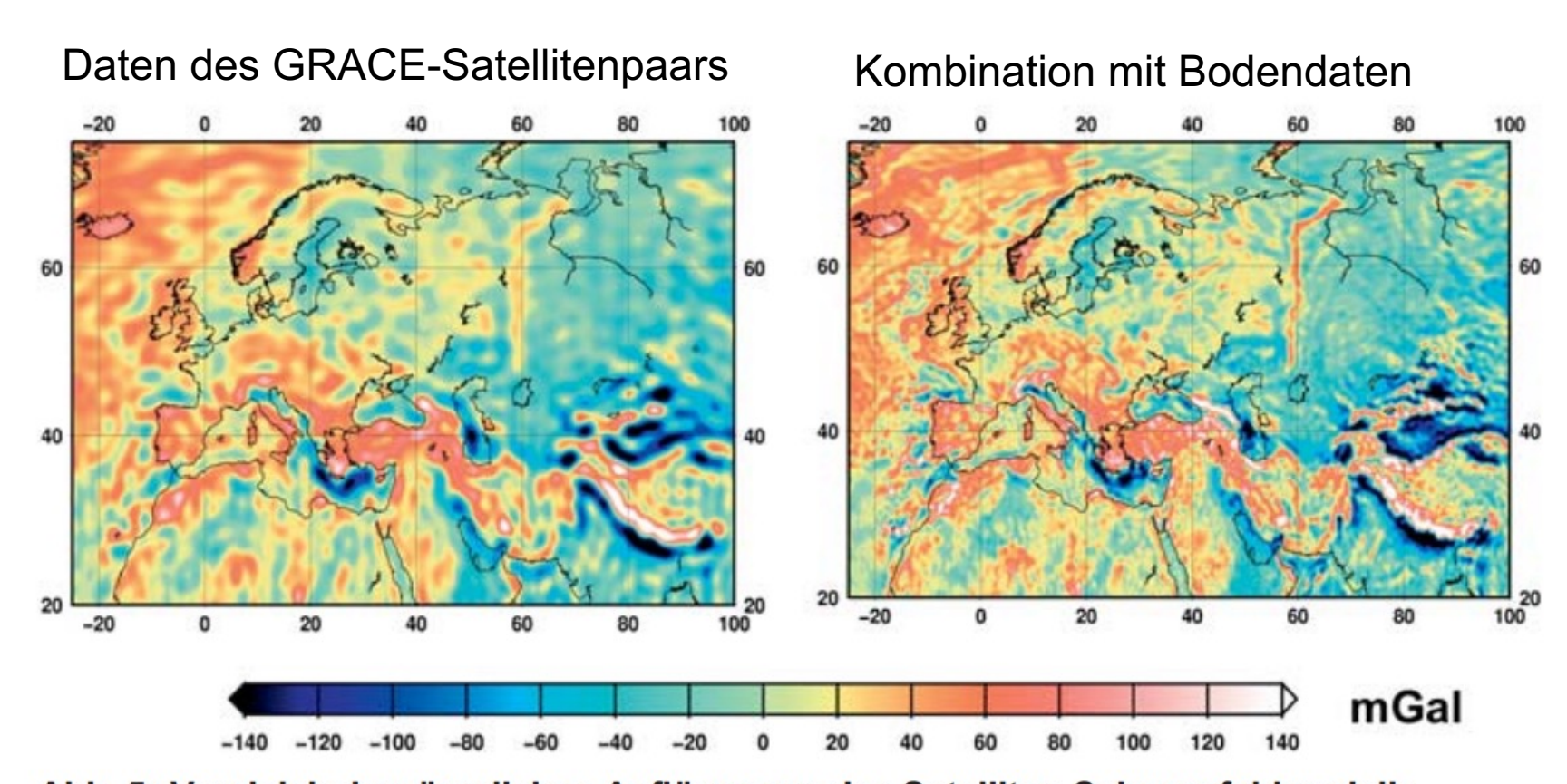


Abb. 5: Vergleich der räumlichen Auflösungen des Satelliten-Schwerefeldmodells EIGEN-5S (links) mit dem kombinierten Schwerefeldmodell EIGEN-5C (rechts) anhand der Schwereanomalien für Europa



Kurzwellige Schwerefeldanomalie: krustale Effekte, Gebirgsstrukturen

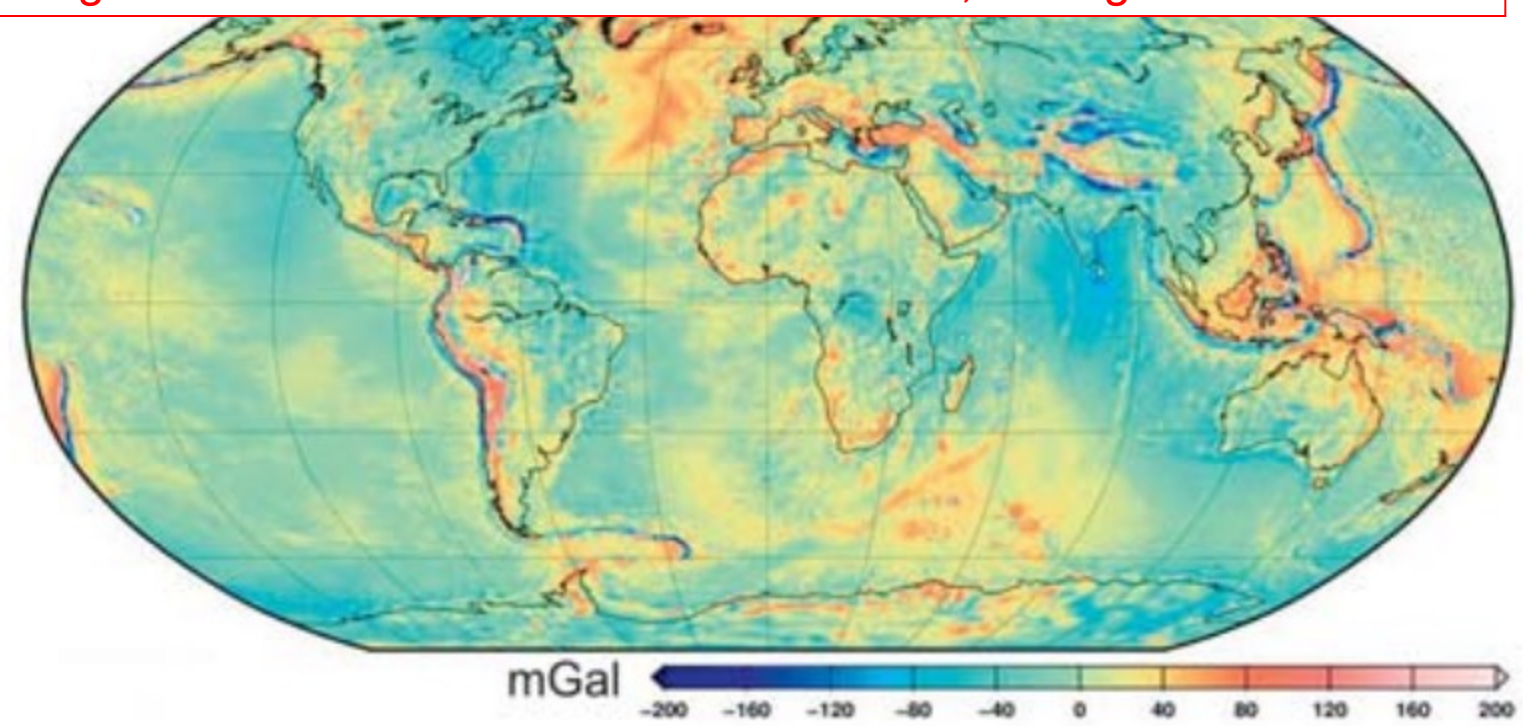


Abb. 6: Zweidimensionale Darstellungen des aktuellen Schwerefeldmodells EIGEN-5C des GFZ, als Schwereanomalien (Milligal).



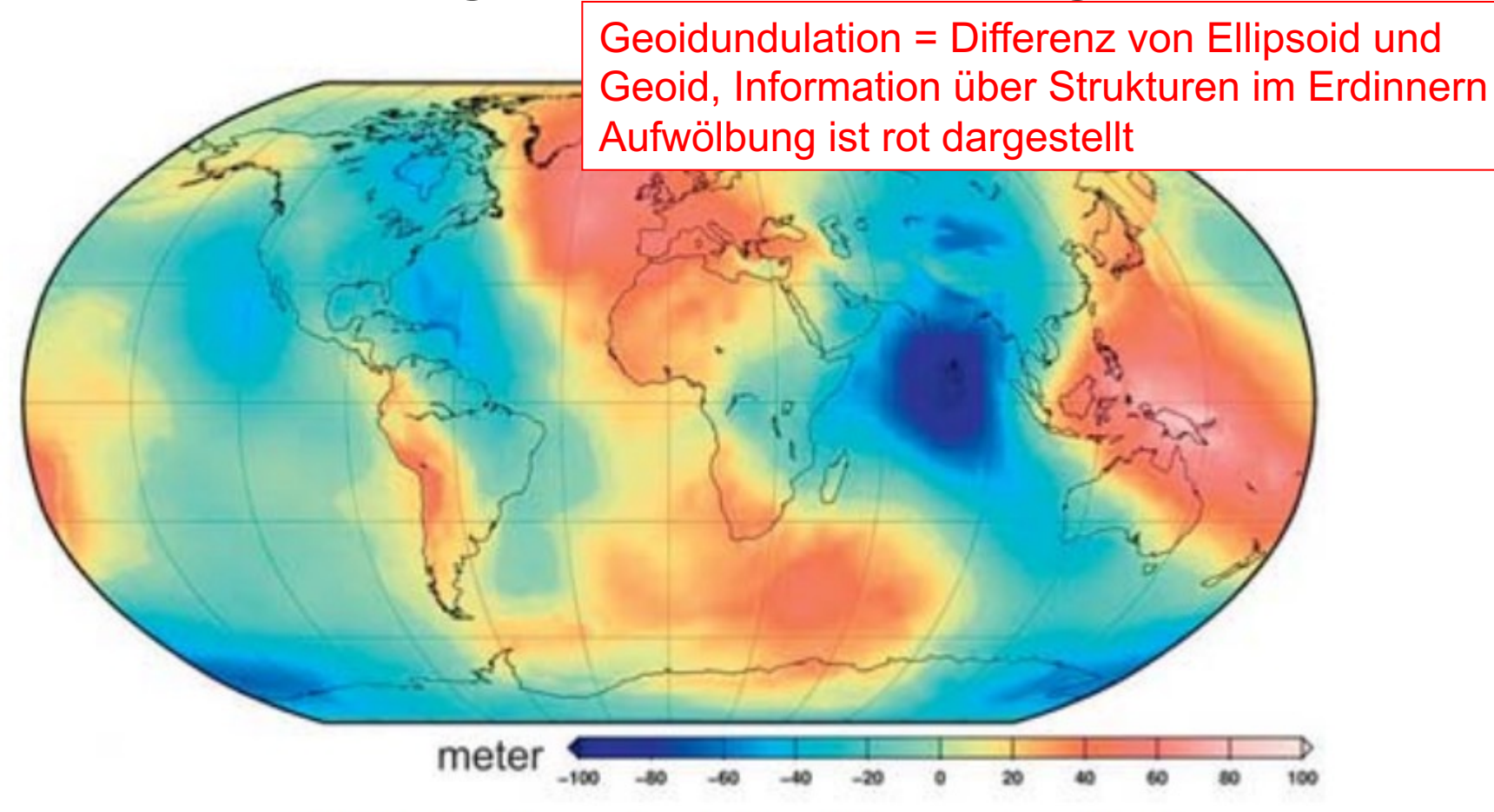


Abb. 6: Zweidimensionale Darstellungen des aktuellen Schwerefeldmodells EIGEN-5C des GFZ, als Geoidundulationen (Meter)



Geoidundulation = Differenz von Ellipsoid und Kanadisches Tief (blau) durch Geoid, Information über Strukturen im Erdinnern ehemalige Vereisung Aufwölbung ist rot dargestellt Südlich von Indien: Ausdünnung mete der Lithosphäre durch Nordwärts-Aufwölben an Subduktionszonen und in bewegung der Platte tellund Gebieten starken Mantelkonvektion (MOR)

Quelle: Foerste, 2010

Prof. Andreas Rietbrock— Vorlesung zur Einführung in die Geophysik II

Geoidundulationen (Meter)

GEN-5C des GFZ, als

## Schweremessungen - Satellitenmessungen

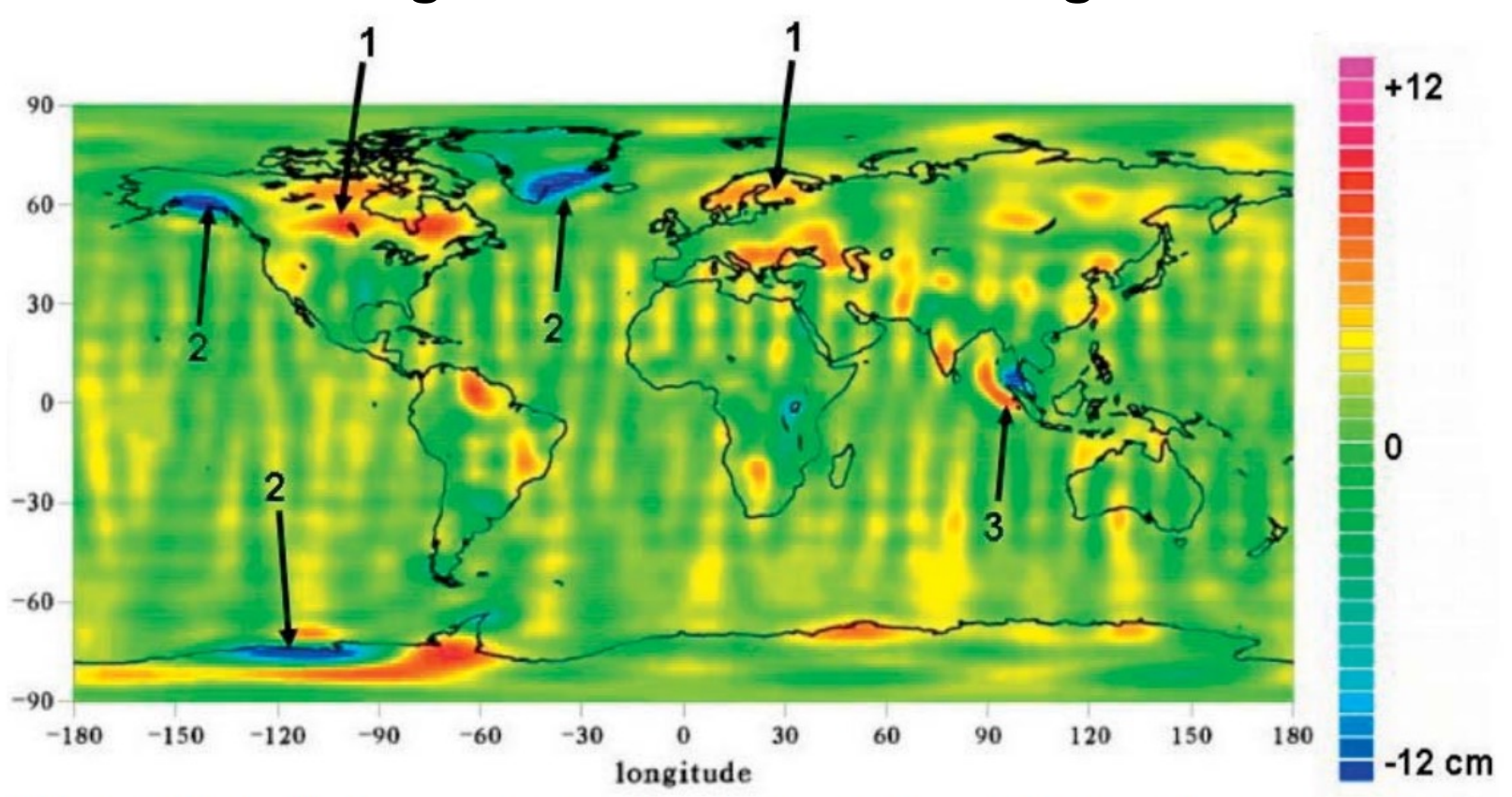


Abb. 8: Zeitliche Änderungen im Geoid zwischen 2002 und 2006, bestimmt aus GRACE-Beobachtungen, ausgedrückt als cm Wassersäulenäquivalent (Quelle: CNES/ GRGS)

Quelle: Foerste, 2010

1= Landhebungen, 2 = Eismassenverluste, 3 = Sumatra-Beben

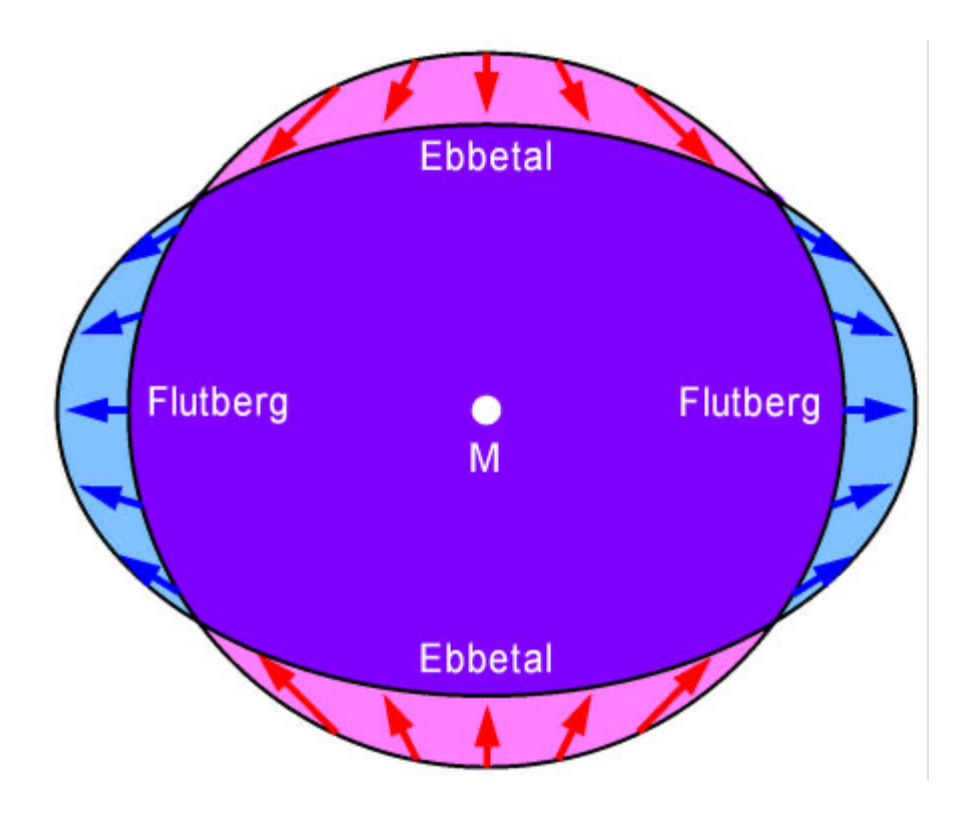




## Meeresgezeiten

Erdgezeiten: periodische Bewegungen der festen Erde



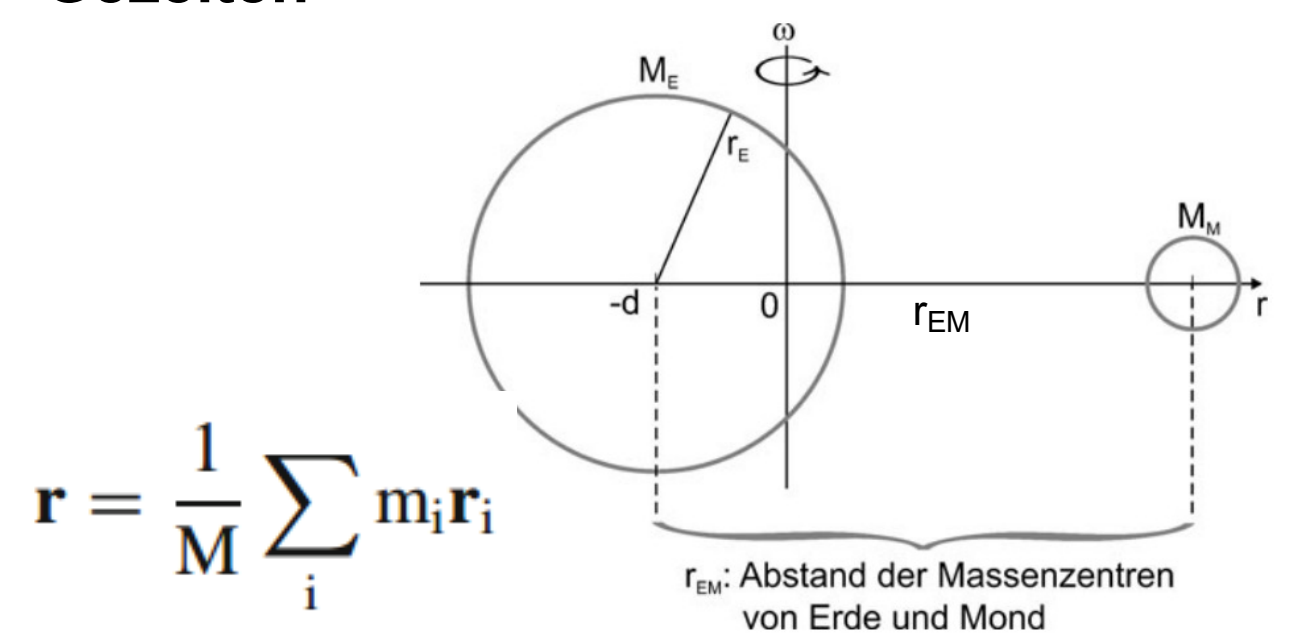




Erde und Mond rotieren mit der Winkelgeschwindigkeit  $\omega$  um einen gemeinsamen Schwerpunkt. Die Lage des Schwerpunktes eines rotierenden Systems wird durch den Radiusvektor **r** angegeben:

$$\mathbf{r} = \frac{1}{M} \sum_{i} m_i \mathbf{r}_i \ . \tag{4.23}$$

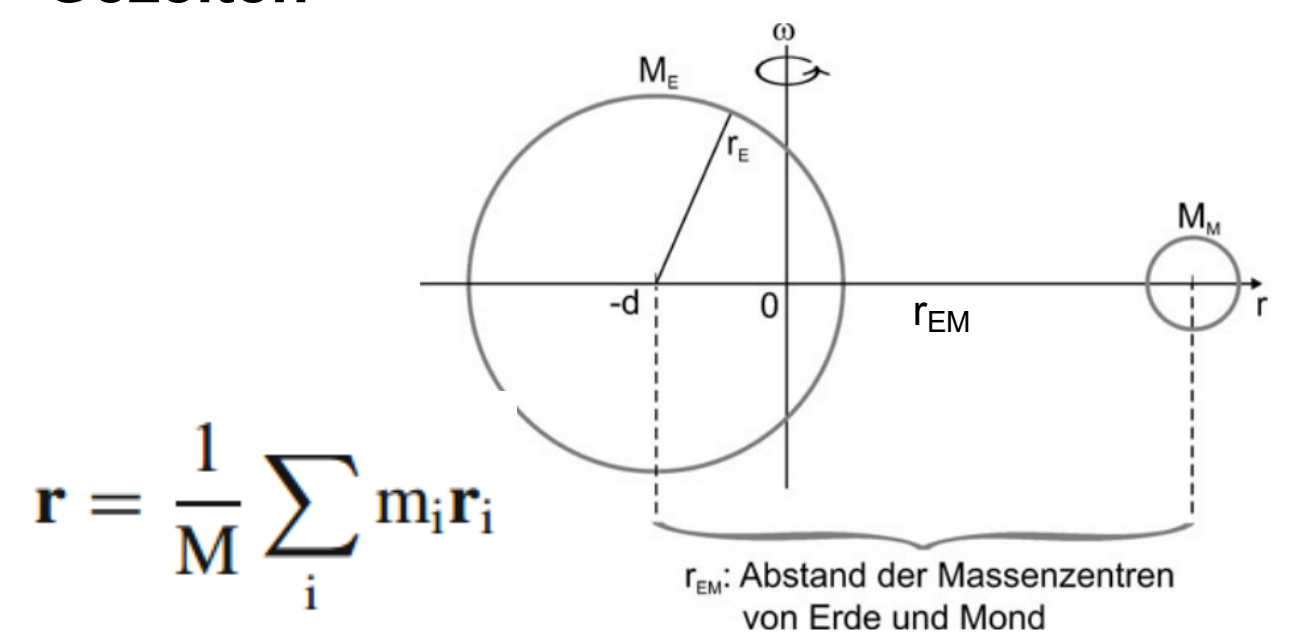
### Gezeiten



**Abb. 4.10** Umlauf von Erde und Mond um einen gemeinsamen Schwerpunkt

Quelle: Clauser, 2015

### Gezeiten



Quelle: Clauser, 2015

**Abb. 4.10** Umlauf von Erde und Mond um einen gemeinsamen Schwerpunkt

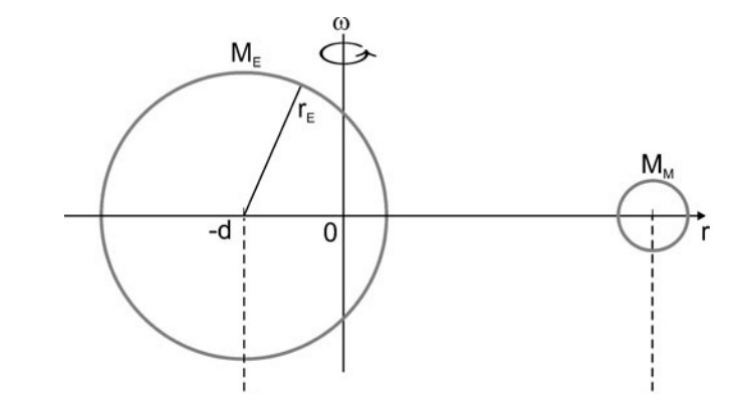
Abstand der Massenschwerpunkte von Erde und Mond

$$0 = r = (-M_E d + M_M (r_{EM} - d))/(M_E + M_M)$$

Abstand von gemeinsamem Schwerpunkt zu Mittelpunkt der Erde



$$d = r_{EM} \frac{M_M}{M_E + M_M}$$

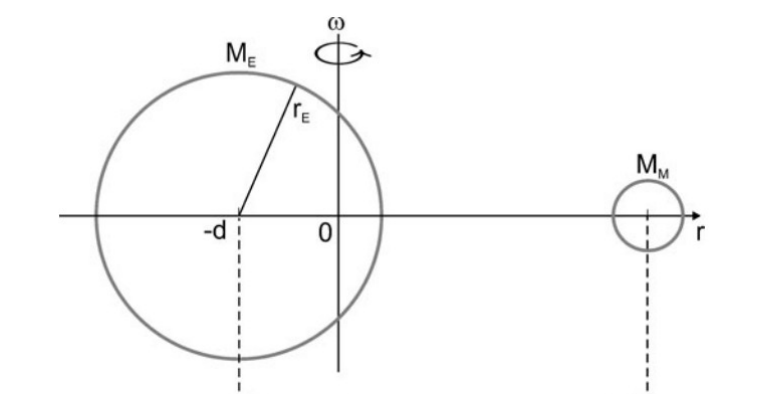


Die Masse des Mondes beträgt 1,23 % der Erdmasse, der Abstand zwischen Erd- und Mondmittelpunkt ist 382 000 km. Hieraus erhält man:

$$d = 382\,000\,\mathrm{km} \frac{0,0123}{1.0123} \approx 4642\,\mathrm{km} \ . \tag{4.25}$$



$$d = r_{EM} \frac{M_M}{M_E + M_M}$$



Die Masse des Mondes beträgt 1,23 % der Erdmasse, der Abstand zwischen Erd- und Mondmittelpunkt ist 382 000 km. Hieraus erhält man:

$$d = 382\,000\,\mathrm{km} \frac{0,0123}{1,0123} \approx 4642\,\mathrm{km} \ . \tag{4.25}$$

Somit befindet sich der gemeinsame Schwerpunkt des rotierenden Systems Erde–Mond im unteren Erdmantel in etwa 1729 km Tiefe unter der Erdoberfläche.

- Der Schwerpunkt des Systems läuft auf einer elliptischen Bahn (schwarze dicke Linie).
- Der Mittelpunkt der Erde "eiert" darum mit kleiner Amplitude.
- Der Mittelpunkt des Mondes läuft auf einer Schlangenlinie größerer Amplitude

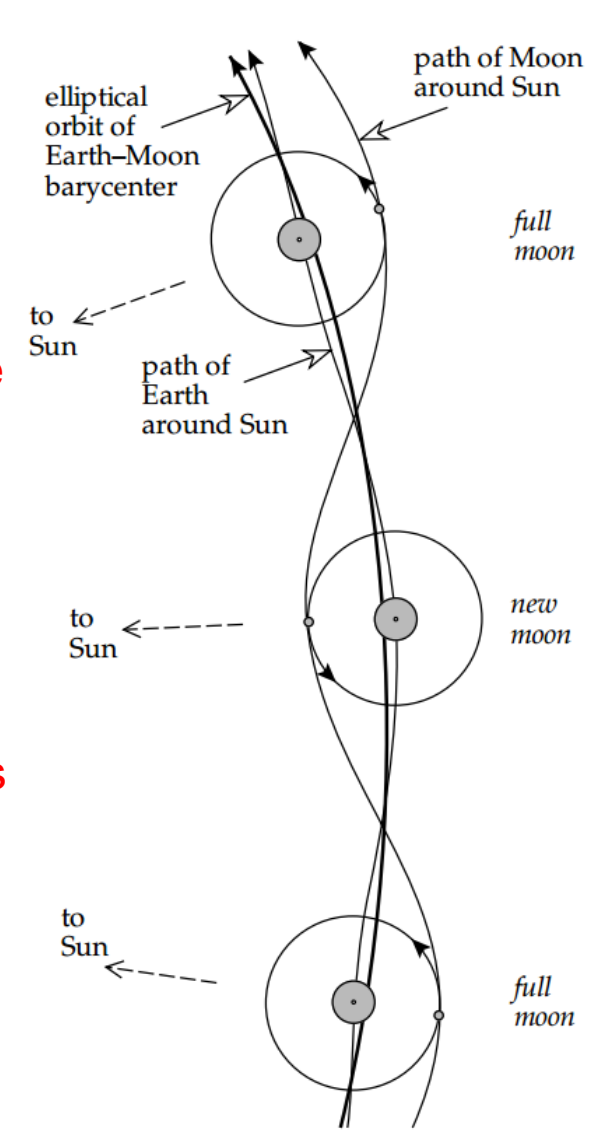
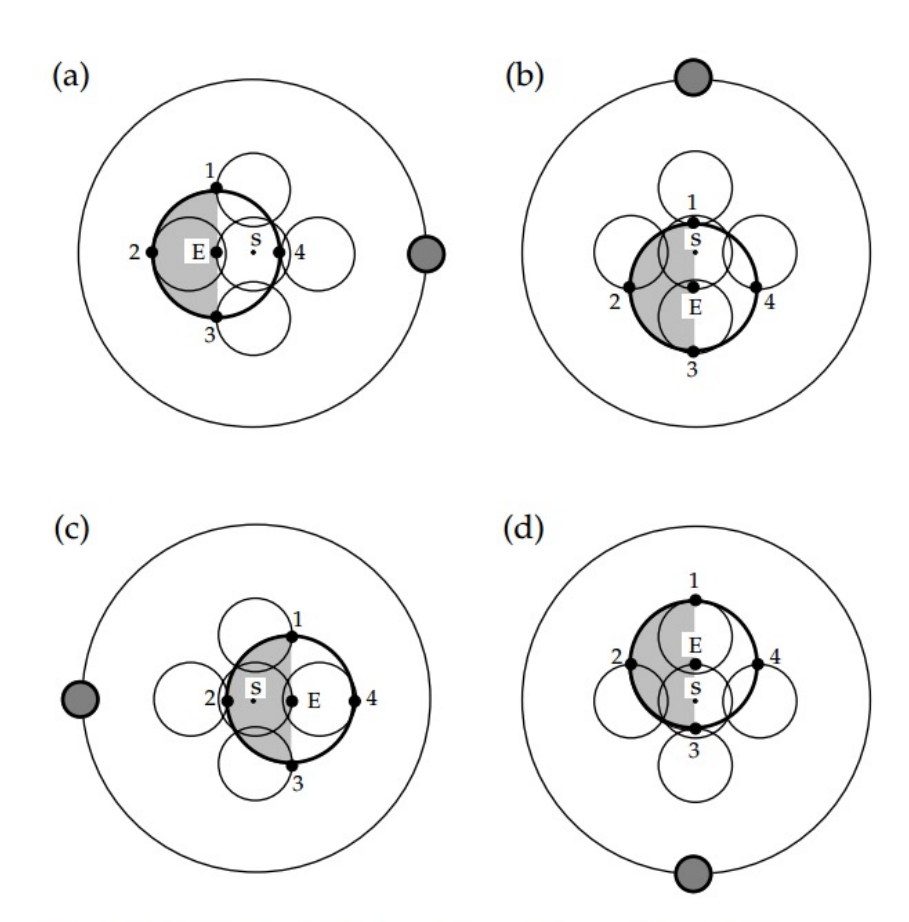


Fig. 2.9 Paths of the Earth and Moon, and their barycenter, around the Sun.





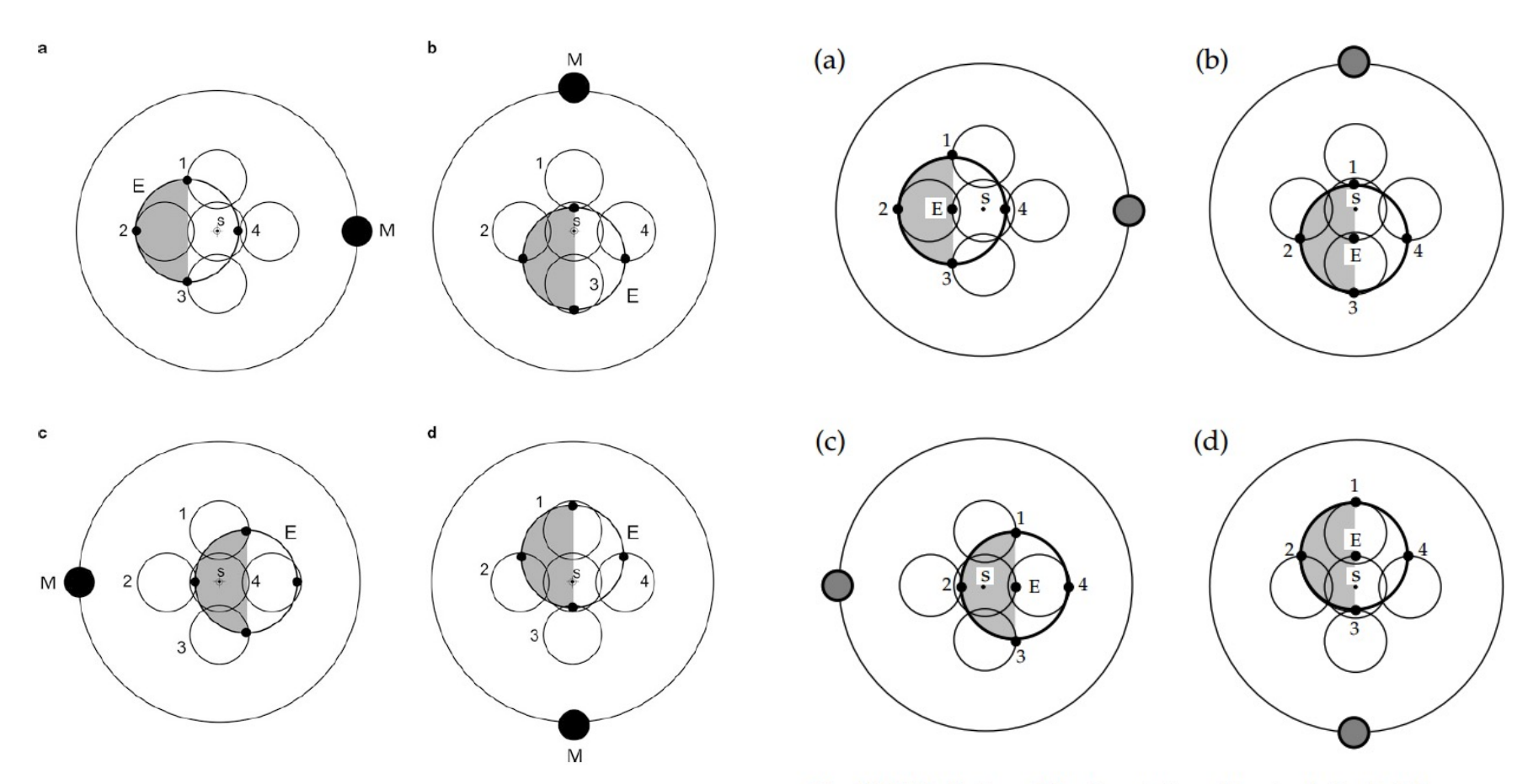
- S: gemeinsamer Schwerpunkt des Systems Erde – Mond
- Äußere Bahn: Mondbahn
- Mittlerer Kreis: Erde mit vier Punkten
   1 4 an ihrer Oberfläche
- Punkte 1 4 bewegen sich auf kleinen Kreisen



**Fig. 2.10** Illustration of the "revolution without rotation" of the Earth–Moon pair about their common center of mass at S.

Quelle: Lowrie, 2007

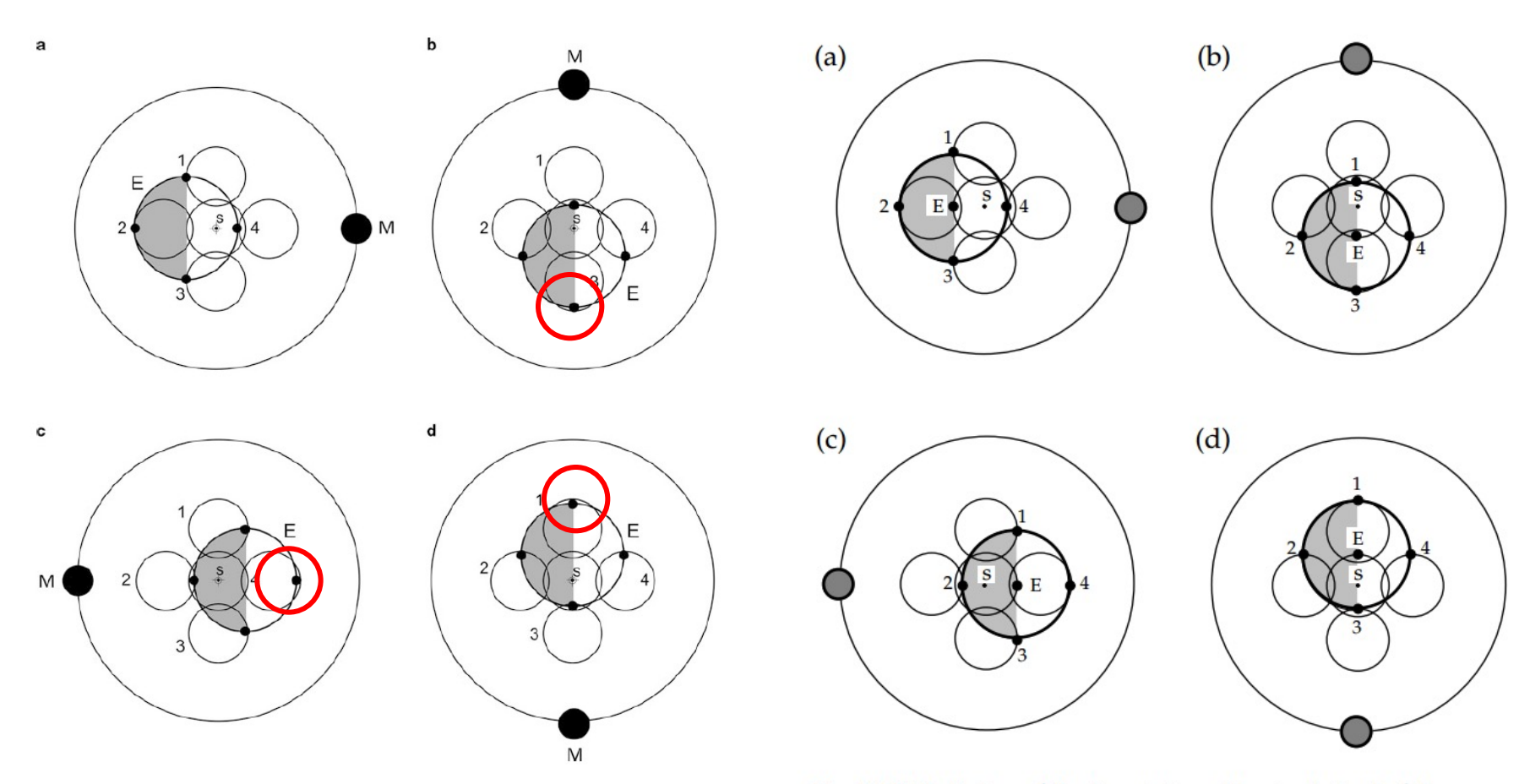




**Fig. 2.10** Illustration of the "revolution without rotation" of the Earth–Moon pair about their common center of mass at S.

Quelle: Lowrie, 2007

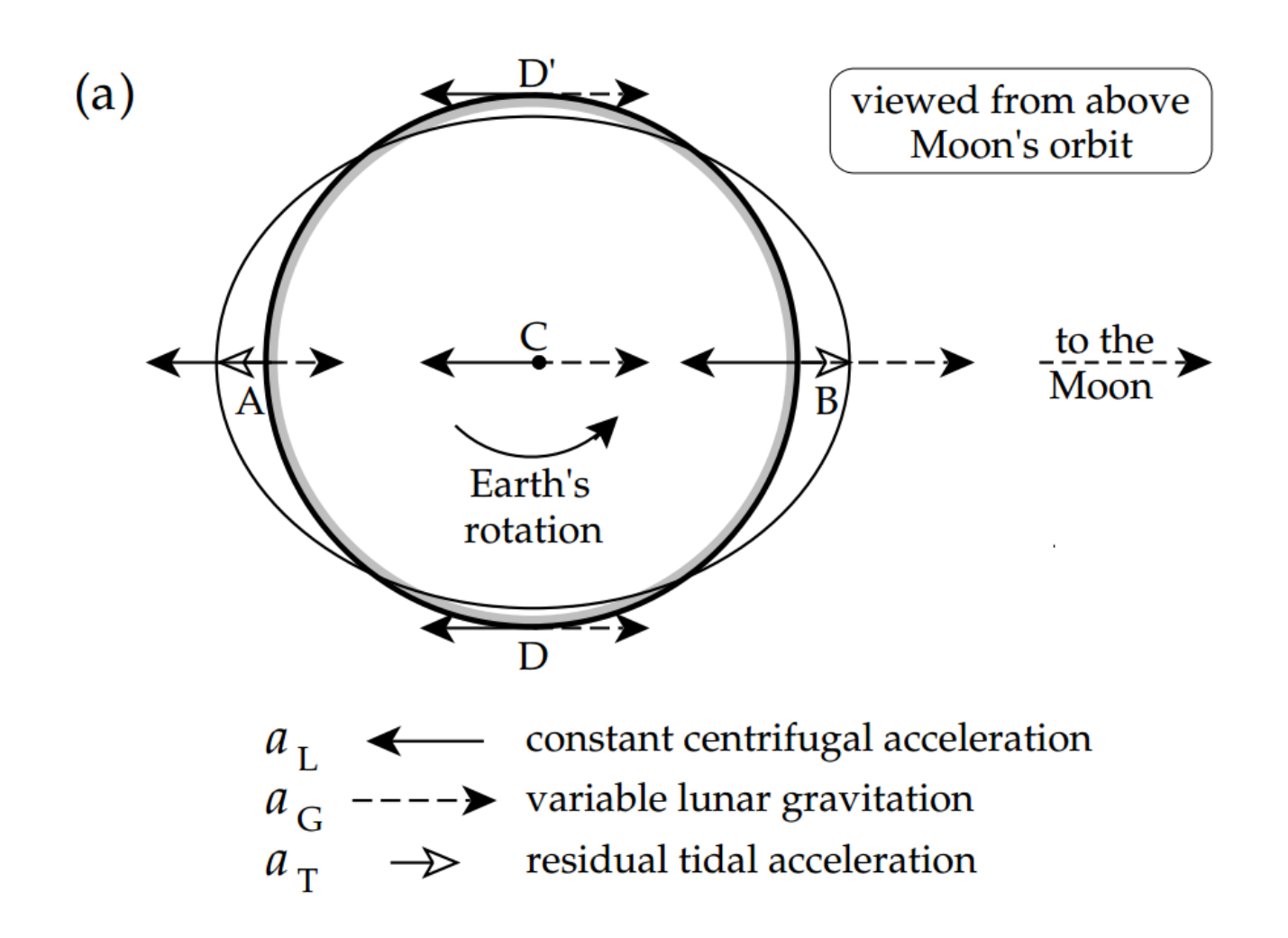




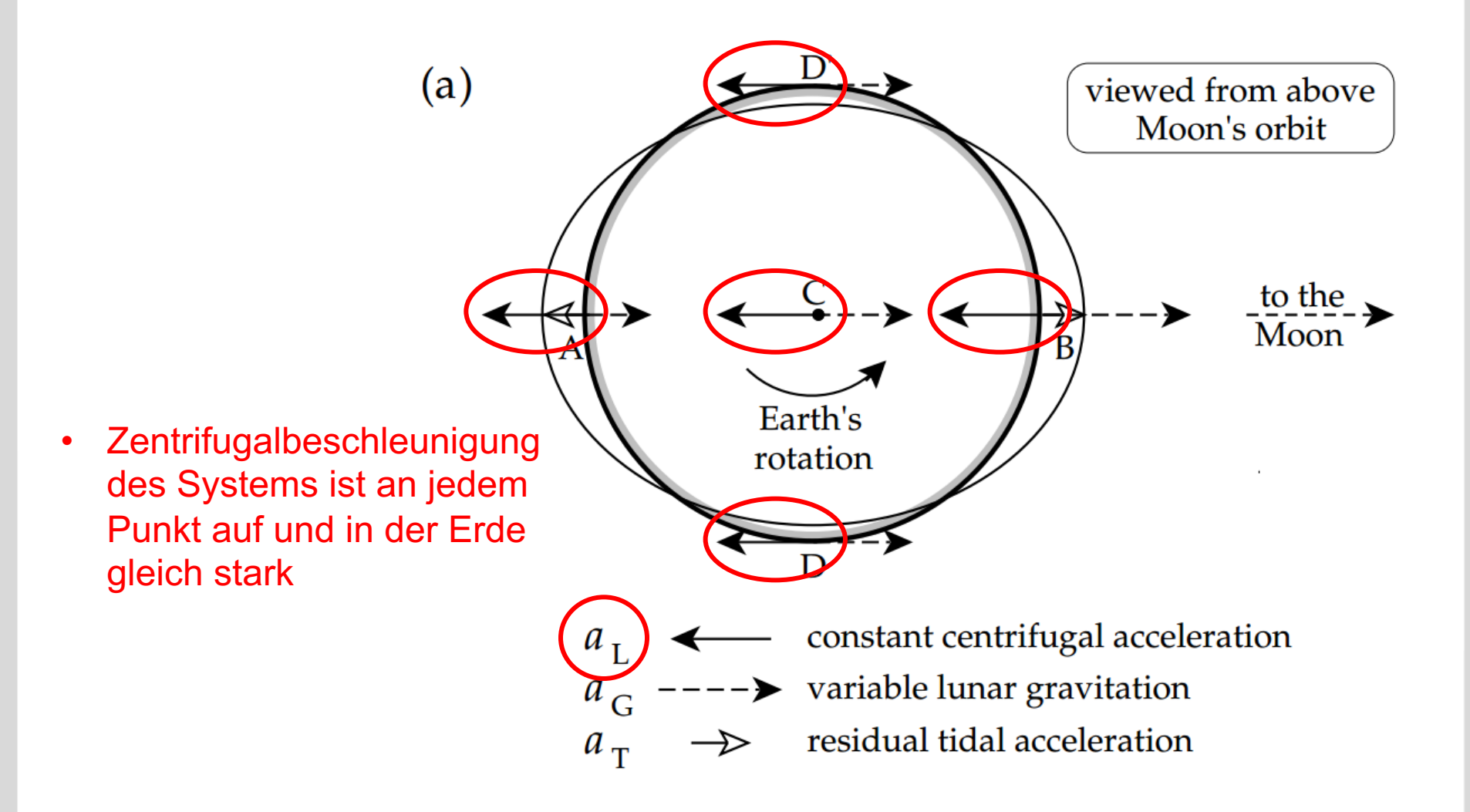
**Fig. 2.10** Illustration of the "revolution without rotation" of the Earth–Moon pair about their common center of mass at S.

Quelle: Lowrie, 2007

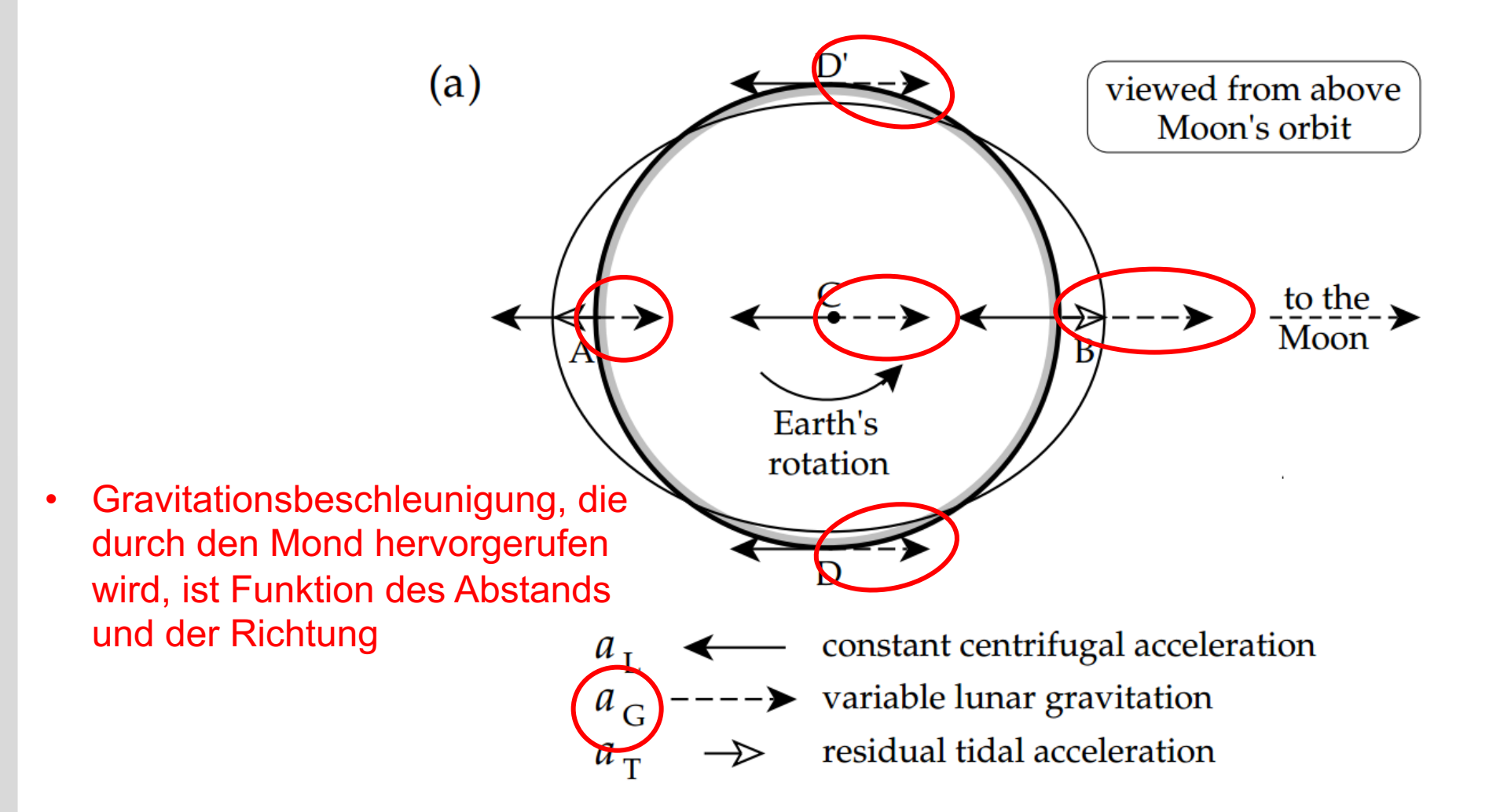




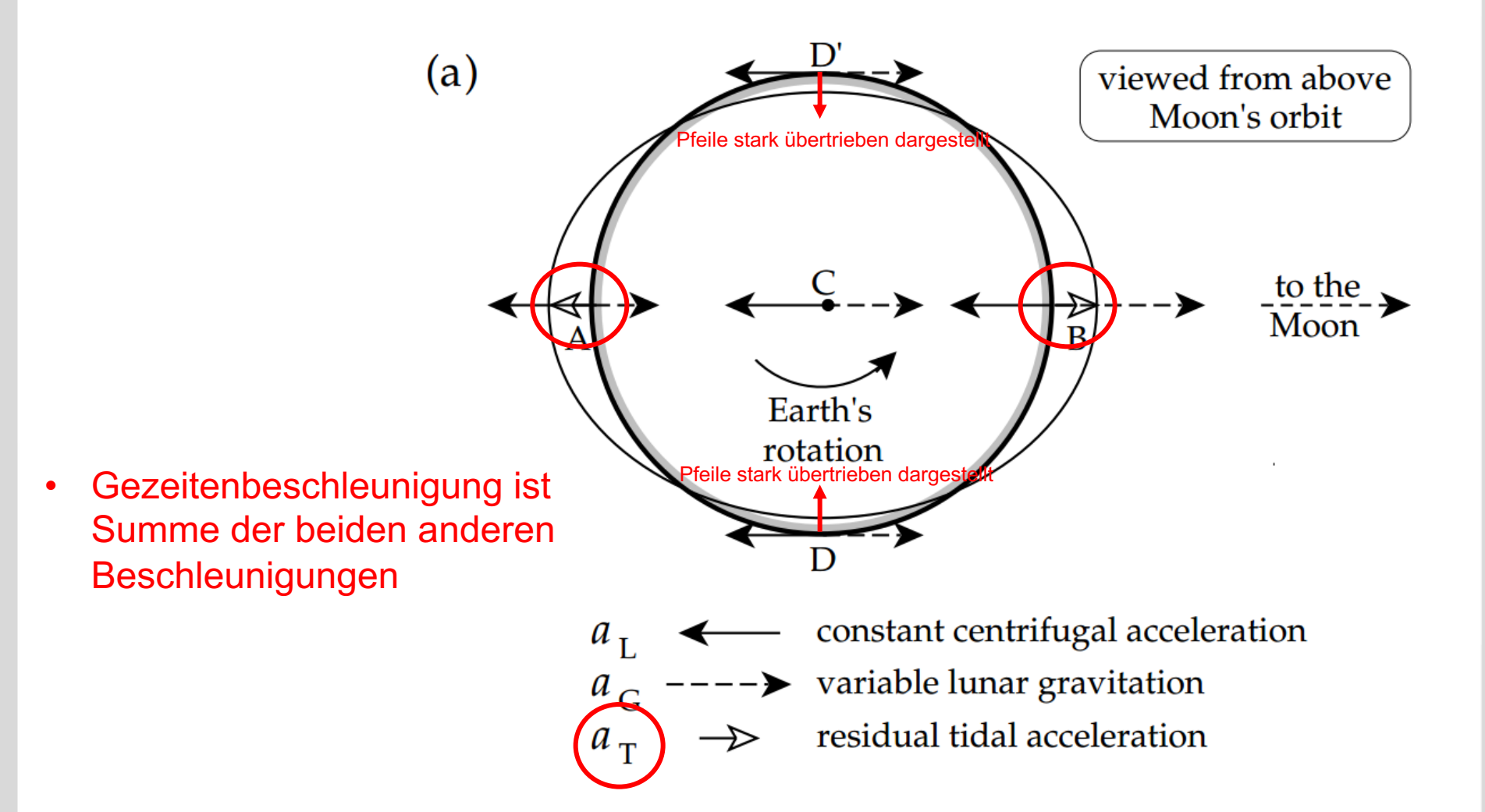






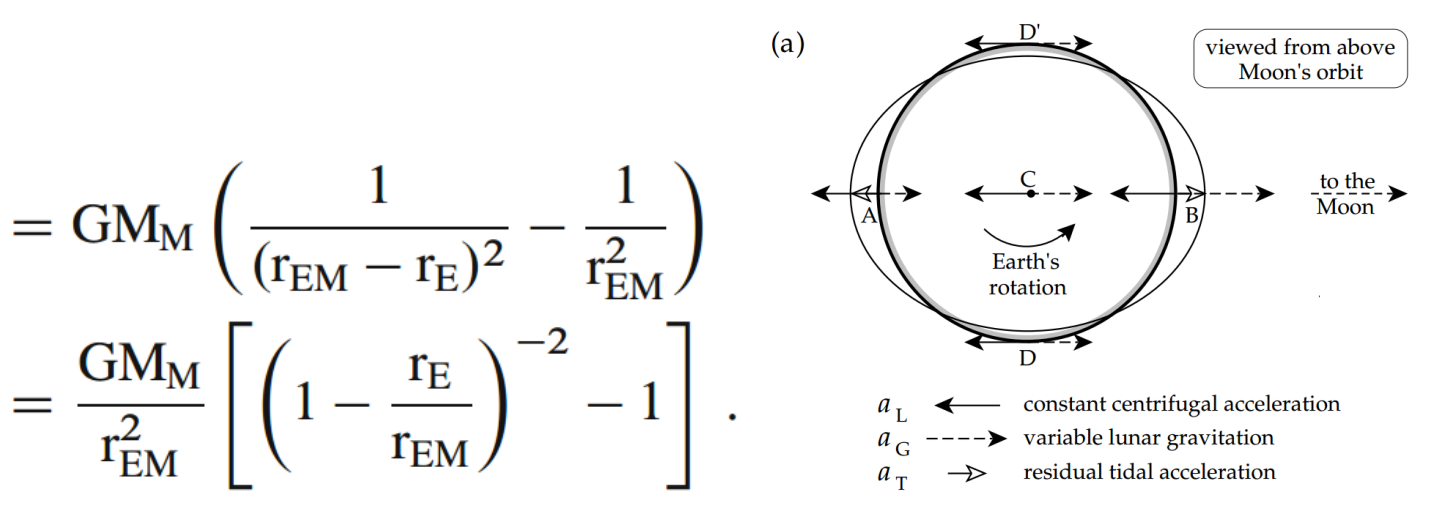








In B gilt: 
$$a_T = GM_M \left( \frac{1}{(r_{EM} - r_E)^2} - \frac{1}{r_{EM}^2} \right)$$
$$= \frac{GM_M}{r^2} \left[ \left( 1 - \frac{r_E}{r} \right)^{-2} - 1 \right]$$





viewed from above

In B gilt: 
$$a_{T} = GM_{M} \left( \frac{1}{(r_{EM} - r_{E})^{2}} - \frac{1}{r_{EM}^{2}} \right)$$

$$= \frac{GM_{M}}{r_{EM}^{2}} \left[ \left( 1 - \frac{r_{E}}{r_{EM}} \right)^{-2} - 1 \right] . \qquad a_{L} \leftarrow \text{constant centrifugal acceleration} \\ a_{G} \leftarrow \text{variable lunar gravitation} \\ a_{T} \rightarrow \text{residual tidal acceleration}$$

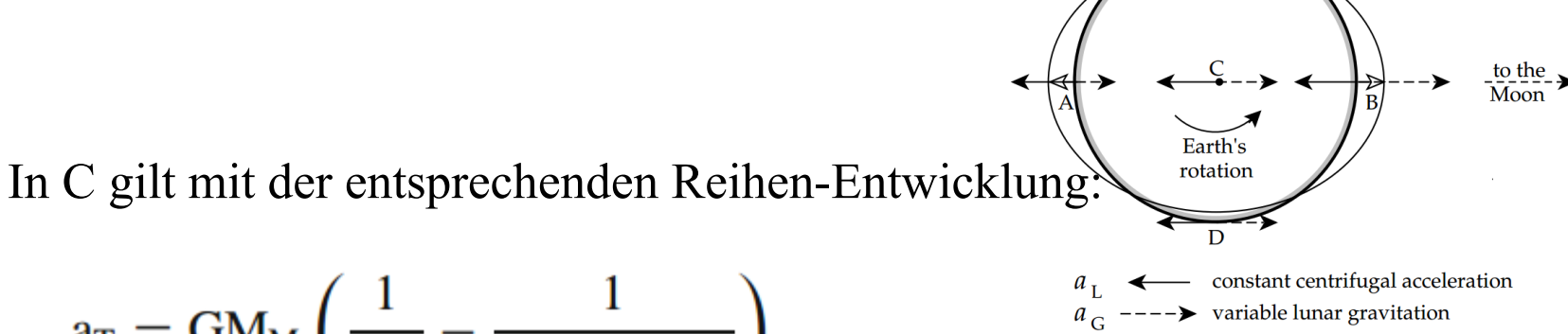
(a)

Der quadratische Ausdruck in der Klammer kann für x < 1 mit Hilfe des binomischen Lehrsatzes in eine Potenzreihe entwickelt werden:  $(1 - x)^{-2} = 1 + 2x + 3x^2 + 4x^3 + \dots$  Damit folgt:

$$a_{\rm T} \approx \frac{GM_{\rm M}}{r_{\rm EM}^2} \left[ 2\left(\frac{r_{\rm E}}{r_{\rm EM}}\right) + 3\left(\frac{r_{\rm E}}{r_{\rm EM}}\right)^2 + \dots \right].$$
 (4.27)



viewed from above Moon's orbit



(a)

$$a_{T} = GM_{M} \left( \frac{1}{r_{EM}^{2}} - \frac{1}{(r_{EM} + r_{E})^{2}} \right)$$

$$= \frac{GM_M}{r_{EM}^2} \left\lceil 1 - \left(1 + \frac{r_E}{r_{EM}}\right)^{-2} \right\rceil$$

$$\approx \frac{GM_{\rm M}}{r_{\rm EM}^2} \left[ 2 \left( \frac{r_{\rm E}}{r_{\rm EM}} \right) - 3 \left( \frac{r_{\rm E}}{r_{\rm EM}} \right)^2 + \dots \right] . \tag{4.28}$$

residual tidal acceleration



In C gilt mit der entsprechenden Reihen-Entwicklung:

 $a_1$  **\leftarrow** constant centrifugal acceleration

---> variable lunar gravitation
→ residual tidal acceleration

$$a_T = GM_M \left(\frac{1}{r_{EM}^2} - \frac{1}{(r_{EM}+r_E)^2}\right)$$

$$= \frac{GM_M}{r_{EM}^2} \left\lceil 1 - \left(1 + \frac{r_E}{r_{EM}}\right)^{-2} \right\rceil$$

$$\approx \frac{GM_{\rm M}}{r_{\rm EM}^2} \left[ 2 \left( \frac{r_{\rm E}}{r_{\rm EM}} \right) - 3 \left( \frac{r_{\rm E}}{r_{\rm EM}} \right)^2 + \dots \right] . \tag{4.28}$$



In C gilt mit der entsprechenden Reihen-Entwicklung:

$$a_{T} = GM_{M} \left( \frac{1}{r_{EM}^{2}} - \frac{1}{(r_{EM} + r_{E})^{2}} \right)$$

$$= \frac{GM_{M}}{r_{EM}^{2}} \left[ 1 - \left( 1 + \frac{r_{E}}{r_{EM}} \right)^{-2} \right]$$

$$\approx \frac{GM_{M}}{r_{EM}^{2}} \left[ 2 \left( \frac{r_{E}}{r_{EM}} \right)^{-3} \left( \frac{r_{E}}{r_{EM}} \right)^{2} + \dots \right] . \quad (4.28)$$
(a)
$$viewed from above Moon's orbit

viewed from above Moon's orbit

$$a_{L} \leftarrow constant centrifugal acceleration$$

$$a_{R} \rightarrow variable lunar gravitation$$
residual tidal acceleration

(4.28)$$

Die Gezeitenbeschleunigungen auf der dem Mond zu- bzw. abgewandten Seite unterscheiden sich somit um ca. 5,6 %

Quelle: Clauser, 2015



Vergleich der Gezeitenbeschleunigung a<sub>T</sub> mit der Gravitationsbeschleunigung a<sub>g</sub>

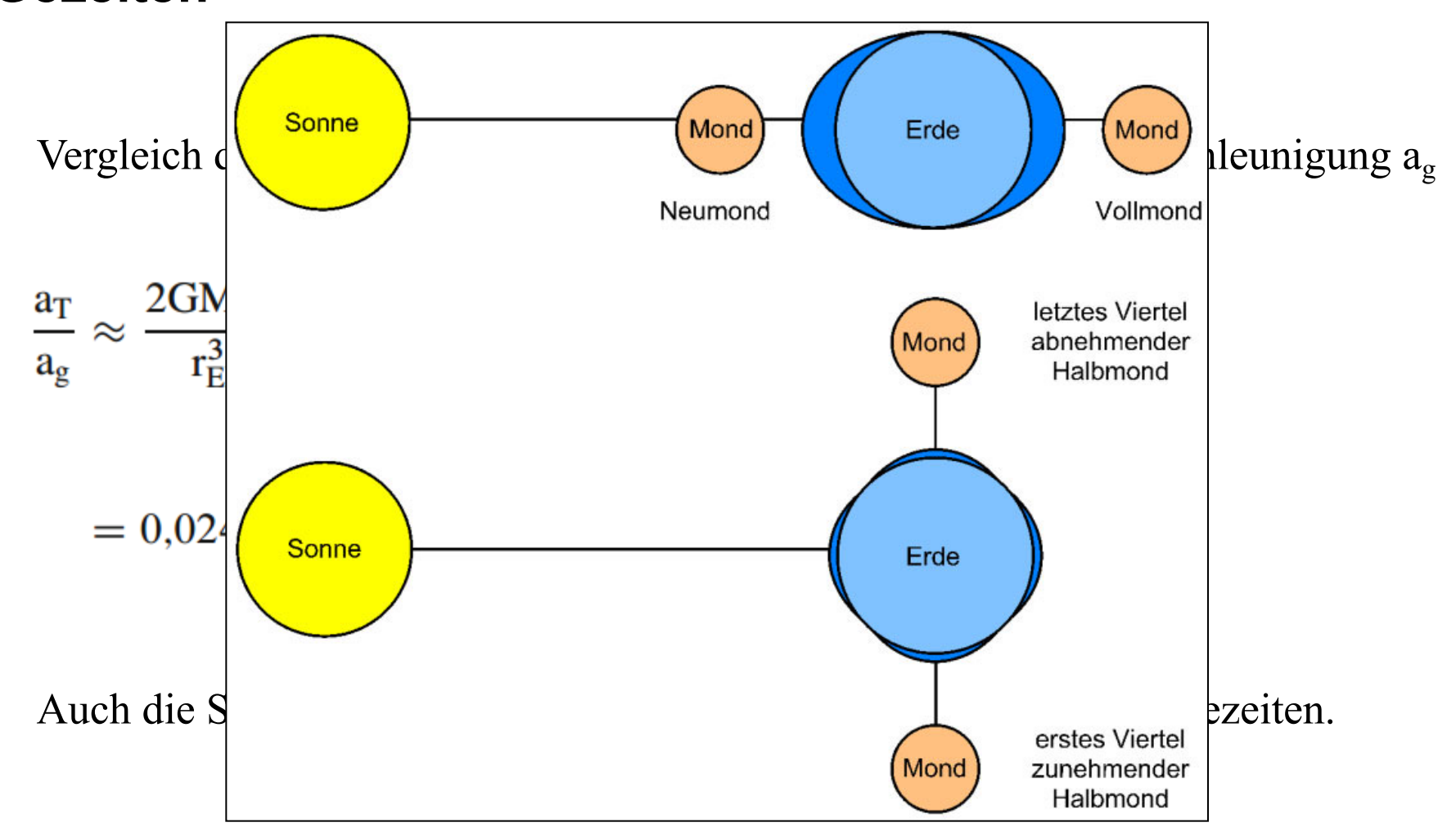
$$\frac{a_{\rm T}}{a_{\rm g}} \approx \frac{2GM_{\rm M}r_{\rm E}}{r_{\rm EM}^3} \frac{r_{\rm E}^2}{GM_{\rm E}} = 2 \underbrace{\frac{M_{\rm M}}{M_{\rm E}}}_{0,0123} \left(\frac{r_{\rm E}}{r_{\rm EM}}\right)^3$$
$$= 0.0246 \left(\frac{6.37 \times 10^6 \text{ m}}{3.82 \times 10^8 \text{ m}}\right)^3 \approx 10^{-7} .$$



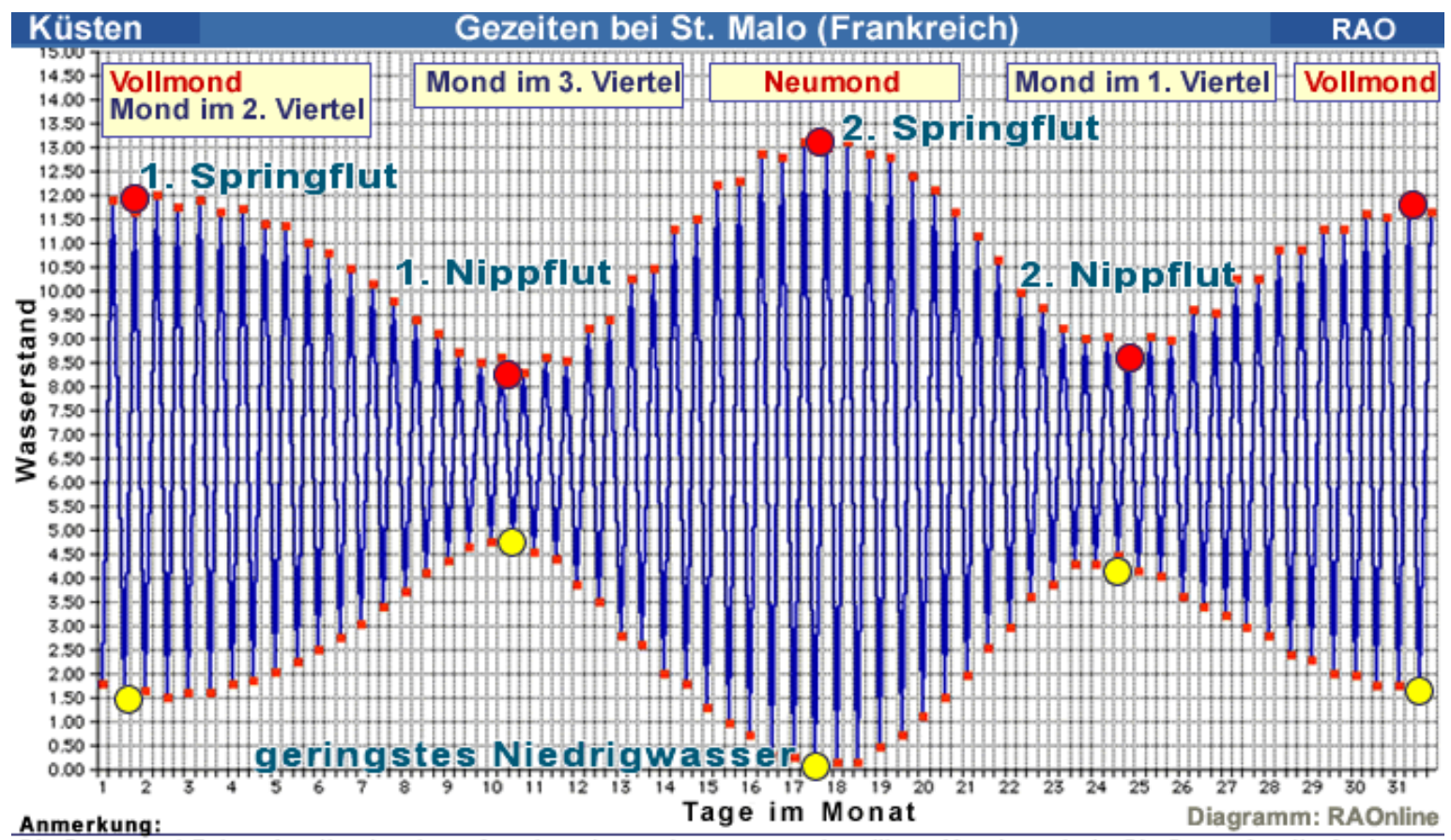
Vergleich der Gezeitenbeschleunigung a<sub>T</sub> mit der Gravitationsbeschleunigung a<sub>g</sub>

$$\begin{split} \frac{a_T}{a_g} &\approx \frac{2GM_M r_E}{r_{EM}^3} \frac{r_E^2}{GM_E} = 2 \underbrace{\frac{M_M}{M_E}}_{0,0123} \left(\frac{r_E}{r_{EM}}\right)^3 \\ &= 0,0246 \left(\frac{6,37 \times 10^6 \text{ m}}{3,82 \times 10^8 \text{ m}}\right)^3 \approx 10^{-7} \; . \end{split}$$

Auch die Sonne ruft Gezeiten hervor: Stärke etwa 46% der Mondgezeiten.

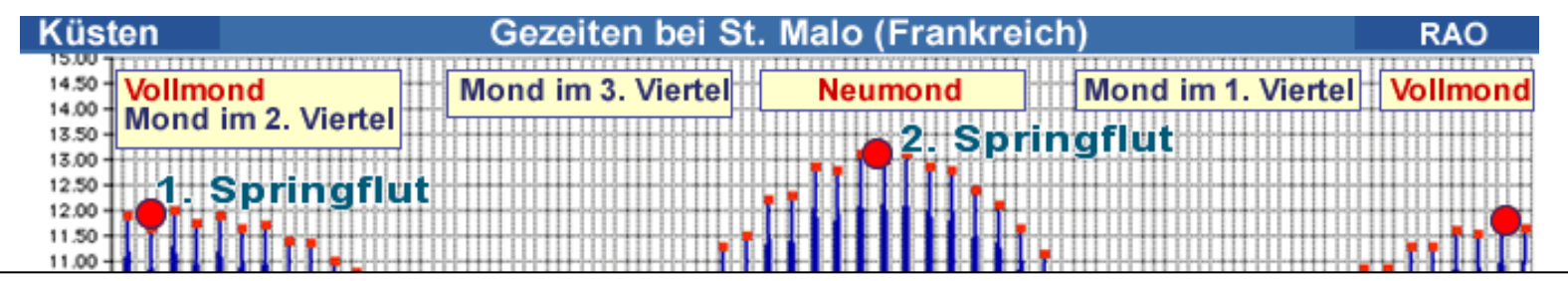




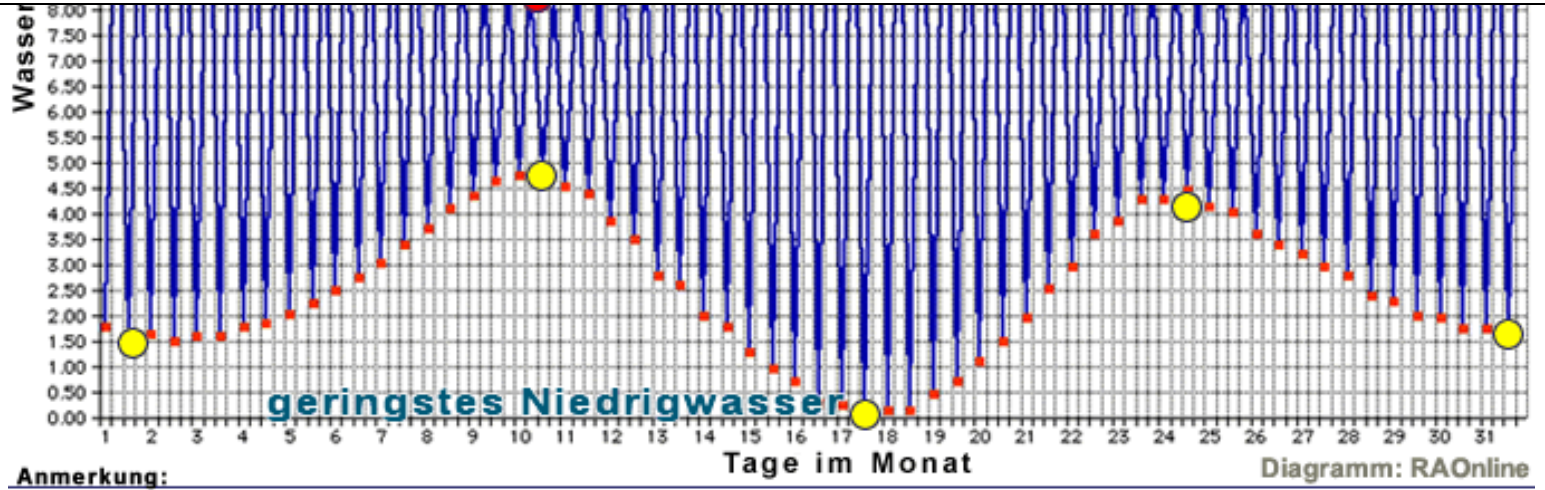


Die Daten und Zeiten für die einzelnen Gezeitenphasen hängen vom jeweiligen Mondstand ab. Die Daten für die Springund Nippflutenverändern sich von Monat zu Monat. Das oben dargestellte Beispiel kann daher nicht auf andere Monate übertragen werden.

### Gezeiten



- Mittlerer Gezeitenhub der Wasseroberfläche: +- 21 cm
- Mittlerer Gezeitenhub der "festen" Erde: +- 9 cm (bei Springflut bis zu 21 cm)



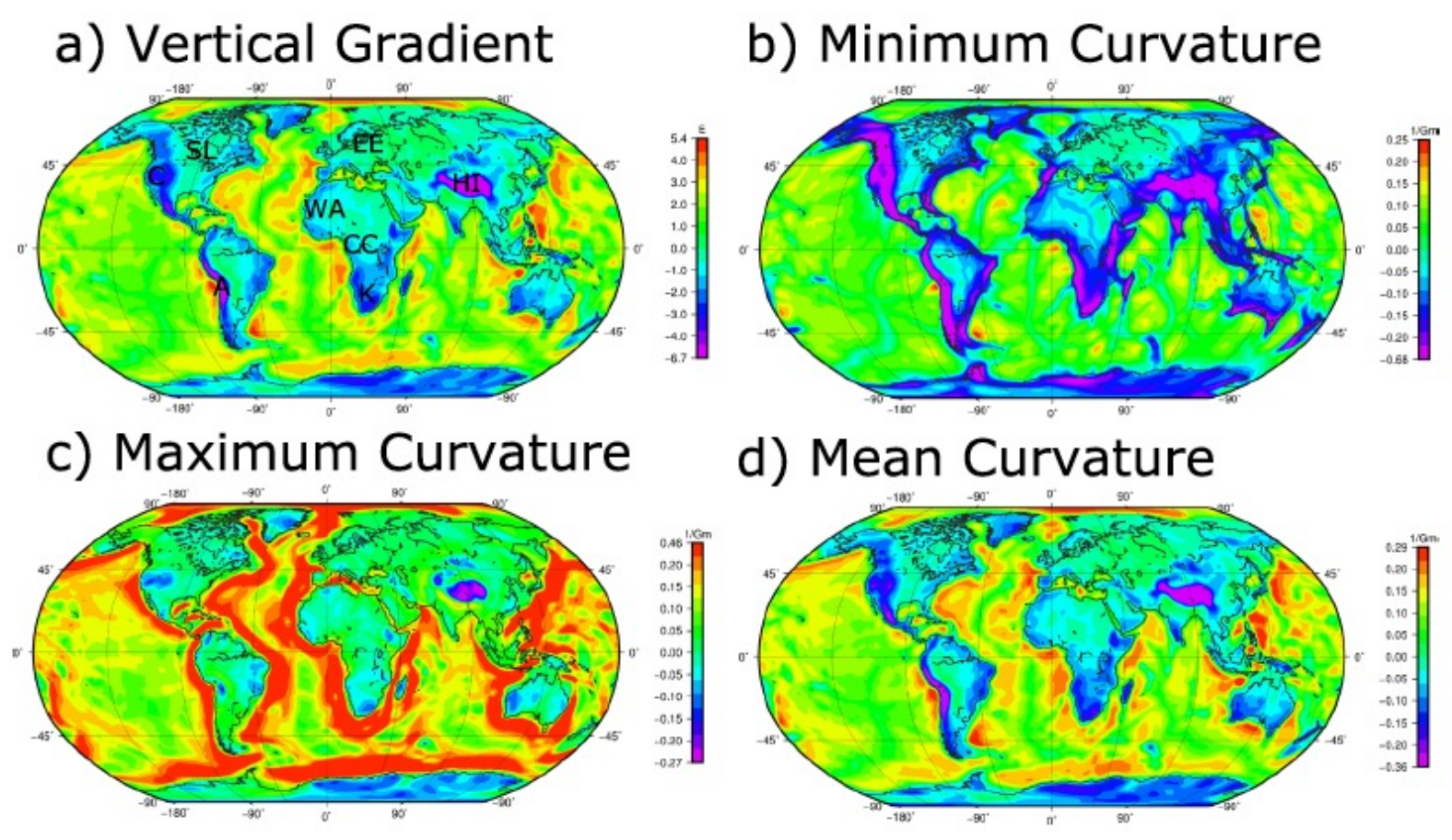
Die Daten und Zeiten für die einzelnen Gezeitenphasen hängen vom jeweiligen Mondstand ab. Die Daten für die Springund Nippflutenverändern sich von Monat zu Monat. Das oben dargestellte Beispiel kann daher nicht auf andere Monate übertragen werden.

Quelle: Clauser, 2015

## **GOCE: Neuauswertung**





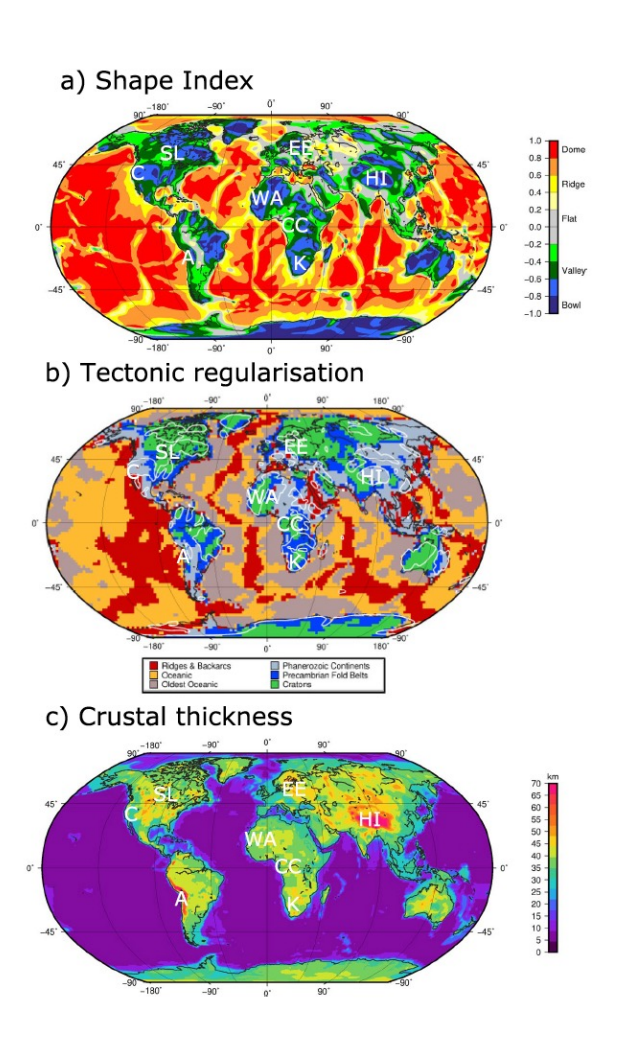


Ebbing et al. 2018

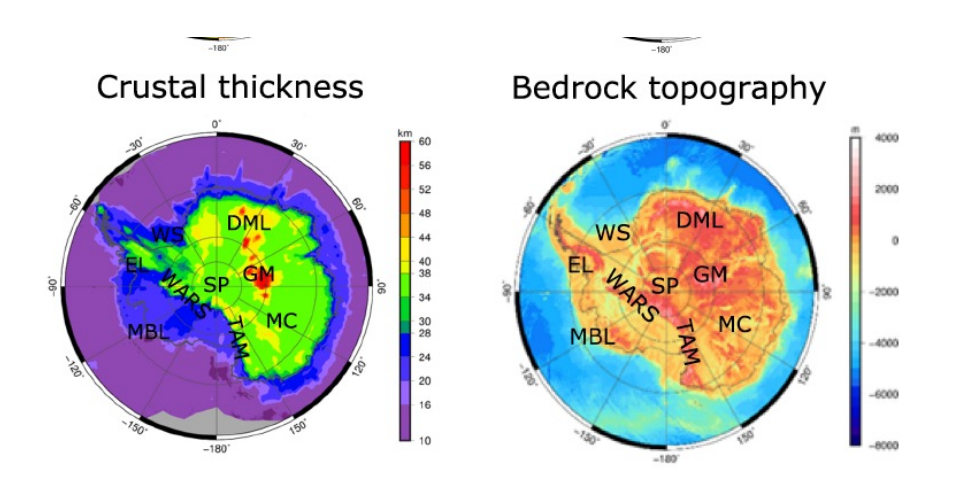
27.01.11

# **GOCE: Neuauswertung**





### **Antarctica**



Ebbing et al. 2018



27.01.11





# Zusammenfassung – Take-home-message

 Wie lässt sich die Gestalt der Erde (Größe, Form) beschreiben und messen?

Kugel, Ellipsoid, Geoid/ Messung heute mit Satellitenverfahren

 Wie lässt sich die Schwere physikalisch erklären und mathematisch beschreiben?

Aufteilung in Gravitations- und Zentrifugalbeschleunigung, Beschreibung als Potential, Addition der Potentiale

- Wie lässt sich die Schwere messen (= Gravimetrie)?
   siehe oben, Messung der Gestalt der Erde
- Welchen Einfluss haben die Gezeiten auf die Schweremessungen?
   Größenordnung 10<sup>-7</sup> diese Genauigkeit ist erforderlich, um Gezeiten zu messen